



СОДЕРЖАНИЕ

ОТ АВТОРОВ		xiii
ПРЕДИСЛОВИЕ		xv
Глава 1	ВВЕДЕНИЕ	1
Глава 2	ТОРГОВЛЯ НА КОЛЕБАНИЯХ	5
Глава 3	УПРАВЛЕНИЕ КАПИТАЛОМ	9
ЧАСТЬ ПЕРВАЯ ПРОБЫ		15
Глава 4	TURTLE SOUP™	17
Глава 5	TURTLE SOUP PLUS ONE™	29
Глава 6	80–20's™	39
Глава 7	МОМЕНТУМ ПИНБОЛЛ™	45
Глава 8	ДВУХПЕРИОДИЧНЫЙ ROC	53
ЧАСТЬ ВТОРАЯ ВОССТАНОВЛЕНИЯ		61
Глава 9	«АНТИ»™	63
Глава 10	СВЯТОЙ ГРААЛЬ	73
Глава 11	РАЗРЫВ ADX	81
ЧАСТЬ ТРЕТЬЯ КУЛЬМИНАЦИОННЫЕ МОДЕЛИ		91
Глава 12	ХЛЫСТ	93

Глава 13	ТРЕХДНЕВНЫЕ НЕЗАПОЛНЕННЫЕ РАЗВОРОТЫ НА РАЗРЫВАХ	97
Глава 14	ЛУЧШЕ ОДИН РАЗ УВИДЕТЬ, ЧЕМ СТО РАЗ УСЛЫШАТЬ	103
Глава 15	ВОЛНЫ ВУЛФА	115
Глава 16	НОВОСТИ	125
Глава 17	РАЗВОРОТЫ НА УТРЕННИХ НОВОСТЯХ	129
Глава 18	РАЗВОРОТЫ НА ВАЖНЫХ НОВОСТЯХ	135
ЧАСТЬ ЧЕТВЕРТАЯ РЕЖИМ ПРОРЫВА		143
Глава 19	СОКРАЩЕНИЕ ДИАПАЗОНА	145
Глава 20	ИСТОРИЧЕСКАЯ ВОЛАТИЛЬНОСТЬ ВСТРЕЧАЕТСЯ С ТОБИ КРЭЙБЕЛОМ	153
ЧАСТЬ ПЯТАЯ РАЗМЫШЛЕНИЯ О РЫНКЕ		163
Глава 21	ИНДИКАТОРЫ ПРОФЕССИОНАЛОВ	165
Глава 22	ЕЩЕ НЕМНОГО ОБ УПРАВЛЕНИИ СДЕЛКОЙ	175
Глава 23	БУДЬТЕ ГОТОВЫ!	179
Глава 24	ЗАКЛЮЧИТЕЛЬНЫЕ СООБРАЖЕНИЯ	183
Глава 25	СЕКРЕТЫ УСПЕШНОЙ ТОРГОВЛИ	185
ПРИЛОЖЕНИЕ		191
РАСЧЕТЫ ИСТОРИЧЕСКОЙ ВОЛАТИЛЬНОСТИ		191
MOORE RESEARCH CENTER — СТАТИСТИЧЕСКИЕ ИССЛЕДОВАНИЯ		193
ПРИМЕР А 1	Историческая статистика для верхних 90%	196
ПРИМЕР А 2	Историческая статистика для верхних 80%	197
ПРИМЕР А 3	Историческая статистика для нижних 10%	198
ПРИМЕР А 4	Историческая статистика для нижних 20%	199
ПРИМЕР А 5	Историческая статистика WR7 с закрытием вверх	200
ПРИМЕР А 6	Историческая статистика WR 7 с закрытием вниз	201
ПРИМЕР А 7	Исторический отчет ROCRSI — покупка	203
ПРИМЕР А 8	Исторический отчет ROCRSI — продажа	204
ПРИМЕР А 9	Исторический отчет Fresh ROC — покупка	206

ПРИМЕР А.10	Исторический отчет ROC — пролажа	207
ПРИМЕР А.11	Статистика 14-периодичного ADX — фьючерсов	209
ПРИМЕР А.12	Исторический отчет «Упс», покупка	211
ПРИМЕР А.13	Исторический отчет «Упс», продажа	212
ПРИМЕР А.14	Исторический отчет «Упс» (разрыв ADX), покупка	213
ПРИМЕР А.15	Исторический отчет «Упс» (разрыв ADX), продажа	214
ПРИМЕР А.16	Исторический отчет Fresh ADX, покупка	216
ПРИМЕР А.17	Исторический отчет Fresh ADX, продажа	217
ПРИМЕР А.18	Исторический отчет по неудавшимся разрывам, покупка на 50%	219
ПРИМЕР А.19	Исторический отчет по неудавшимся разрывам, продажа на 50%	219
ПРИМЕР А.20	Исторический отчет по каналу (2-периодичный максимум/минимум)	221
	Примеры ежедневных рабочих листов	222
	ТОРГОВЫЕ МАРКИ	224

.....

»,

«

!

(swing trading).

100

S&P.

90

20

(tests),

(retracements)

(climax reversals).

», «80—20» « ADX.
« »
(— Commodity Trading Advisor,
).

Moore Research Center

2



1908
» (swing trading).

— drawdowns).

(trailing stops)

(smart money)

jMonnoHdjibHbie

2.1. «



« »

2.2 «

»



«

»

!

» (resting orders)

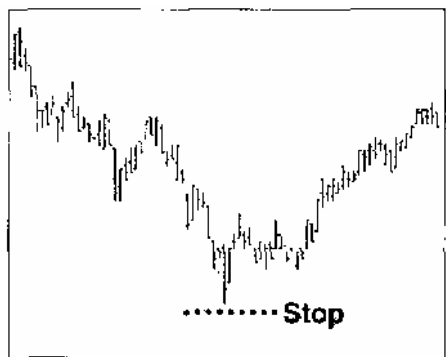
)

!

(

2.3. «

».



•

!

•

!

«

»

!

1. !

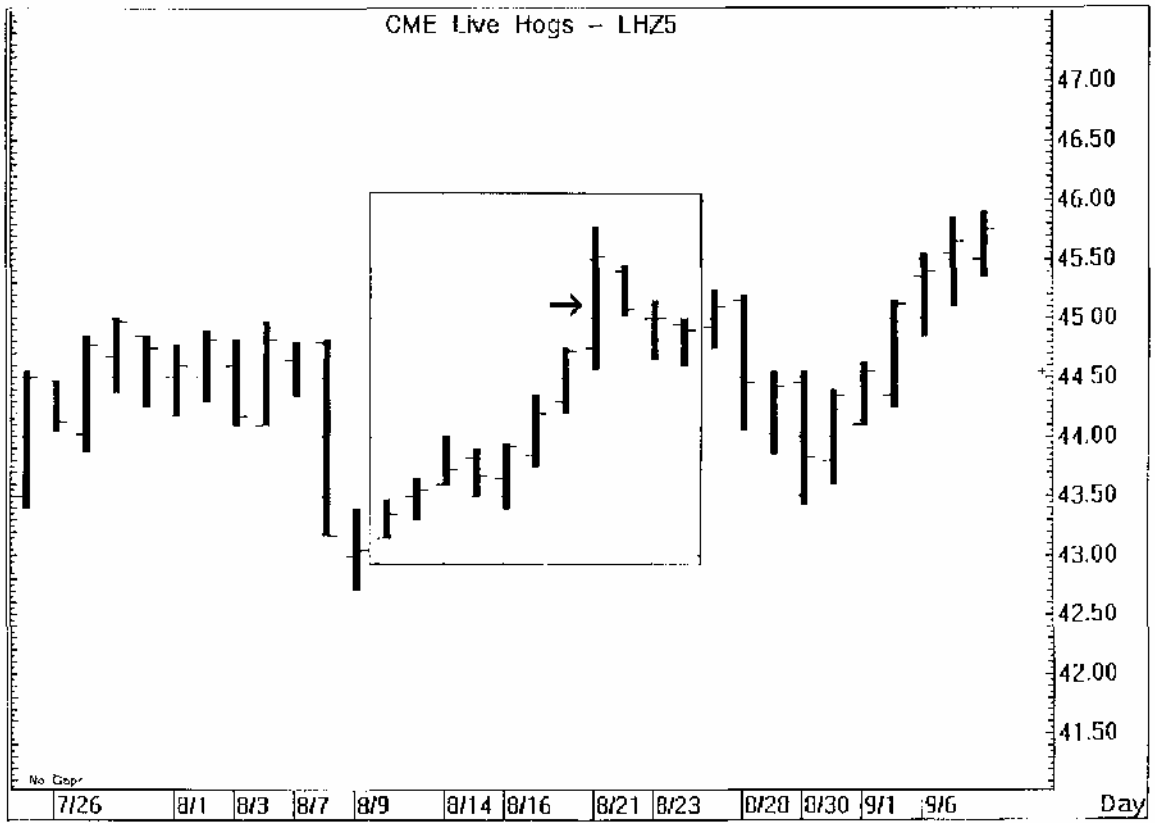
2.

3.

4.

(range-expansion move)

3.1.



100

20

!

« »

1987

« ».

1987

1984—1987

(2700),

700—800

ypy

800 (

) 8 (

100 100 .()

10 000

10 000

—

30

(

) 15

(?)

50

100?

()

52

... ?

:

:

()

!

« — ».

28-

:

:

:

:

?

35

(« ».)

.()

:

:

1. 20-

2. 20-

3. 5—10 20- 20-

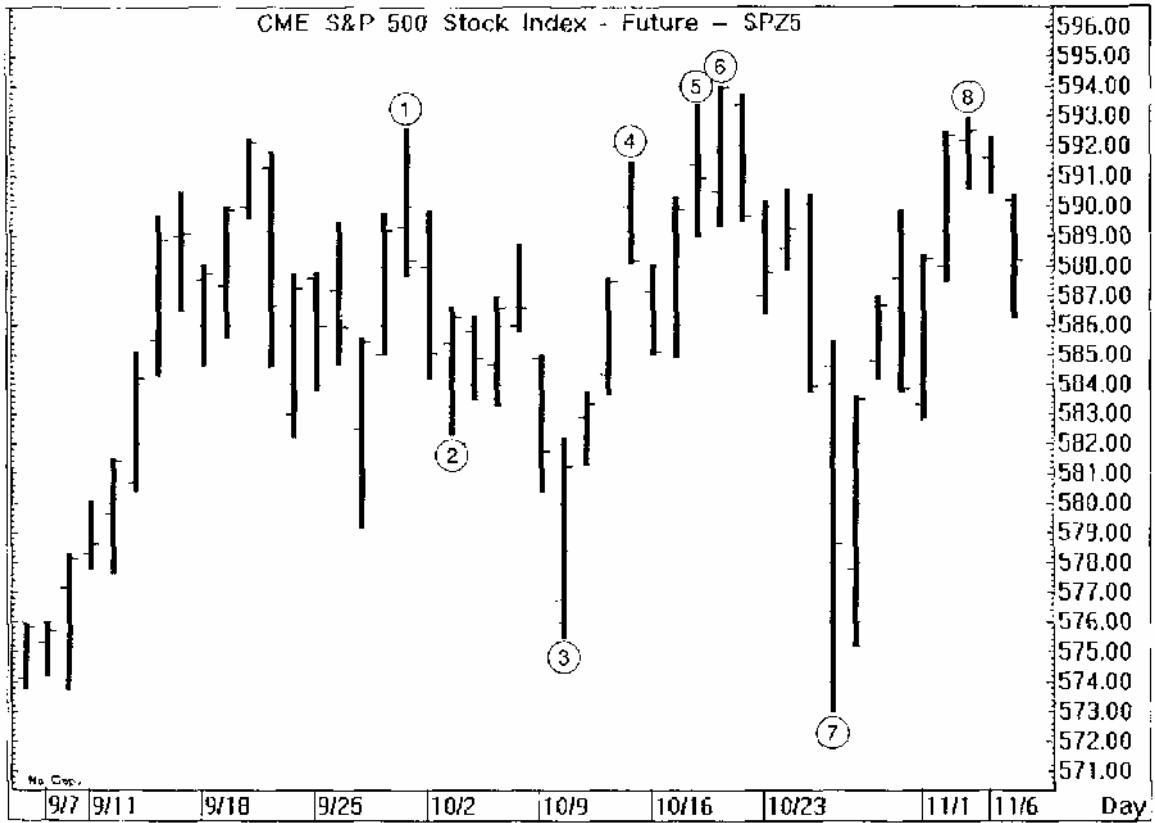
4.

5. 20-

6. ()

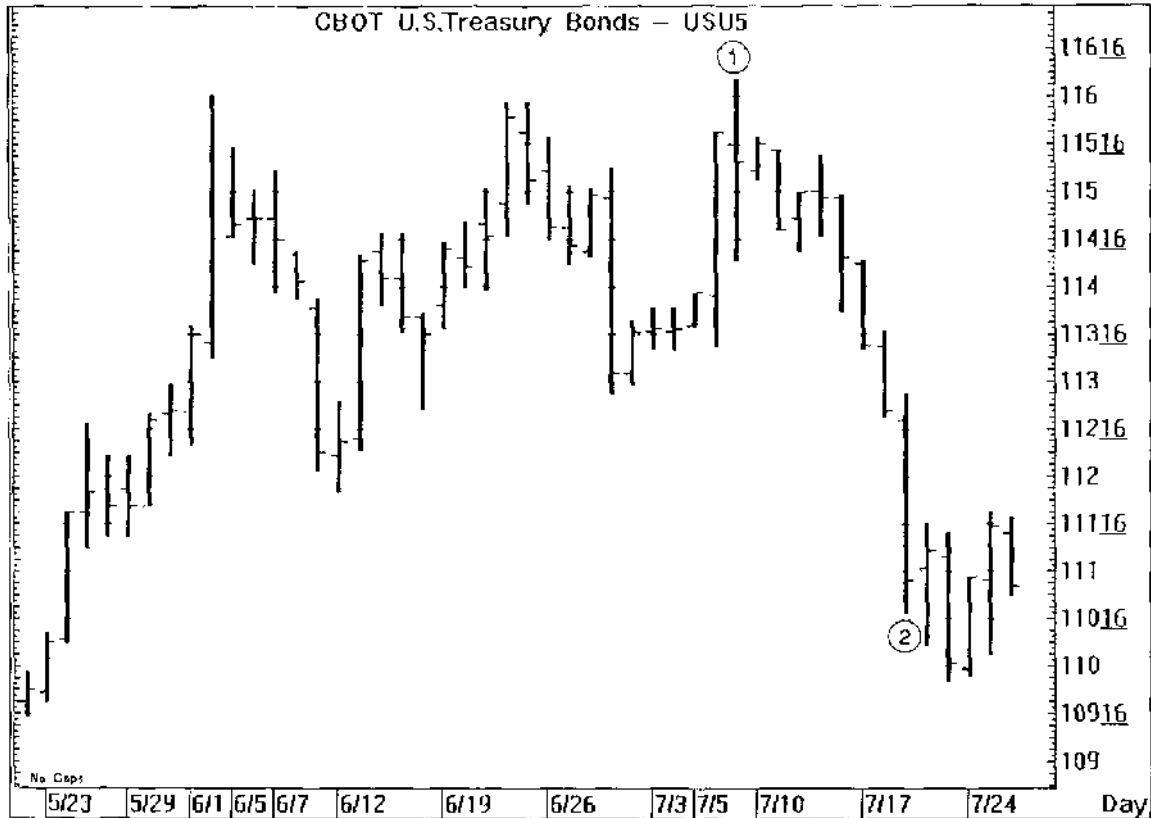
1995

ПРИМЕР 4.1. S&P — декабрь 1995 года.



1. 29 20- 20- 592,25 20

592,00, 20
 2. 592,65, 582,00
 3. 10 20-
 20- 27 579,20.
 27
 575,45,
 4.
 5. 591, 12 20-
 29 592,35, 20- 593,40.
 6. 1,05 (
 7. 20-)
 10
 8. 16 !
 4.2. — 1995



1. 7 1995 20-
 20-

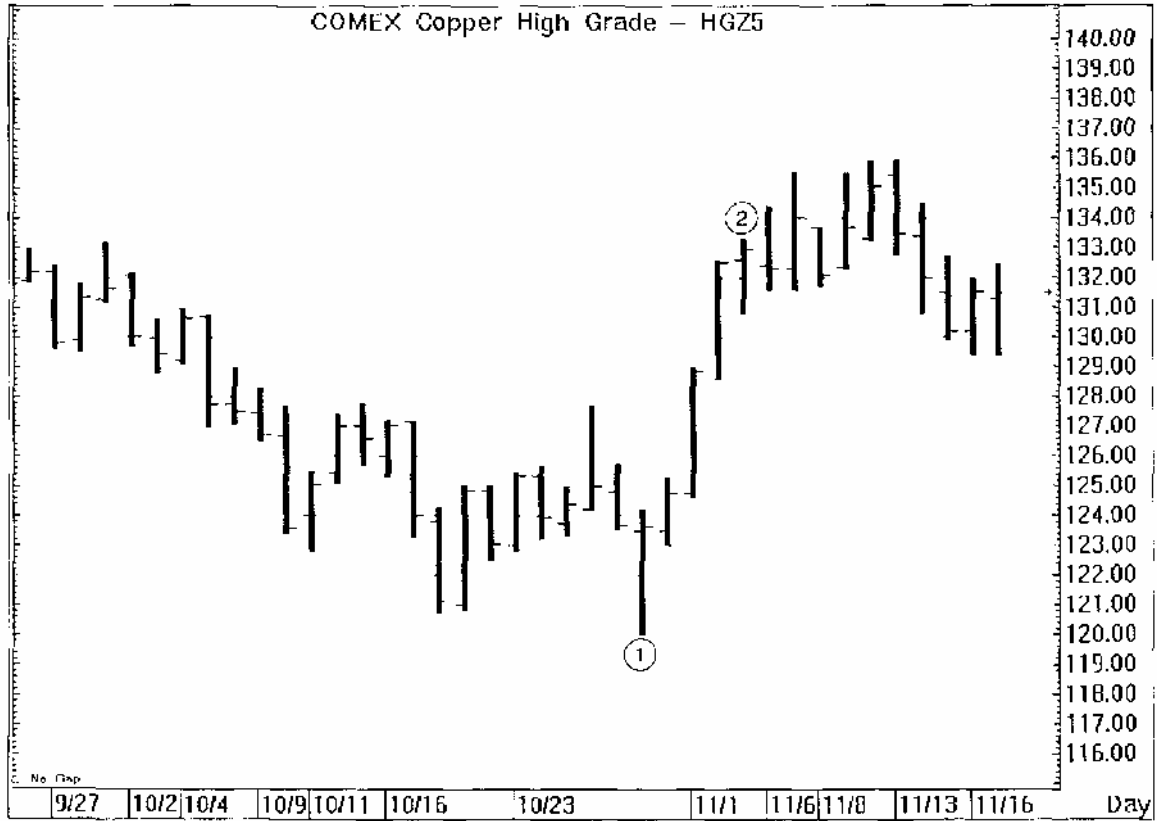
(23) 115—30.

115—25

2.

116—06,
19

4.3. - 1995



1. 30 1995 20-

— 19 120,80.

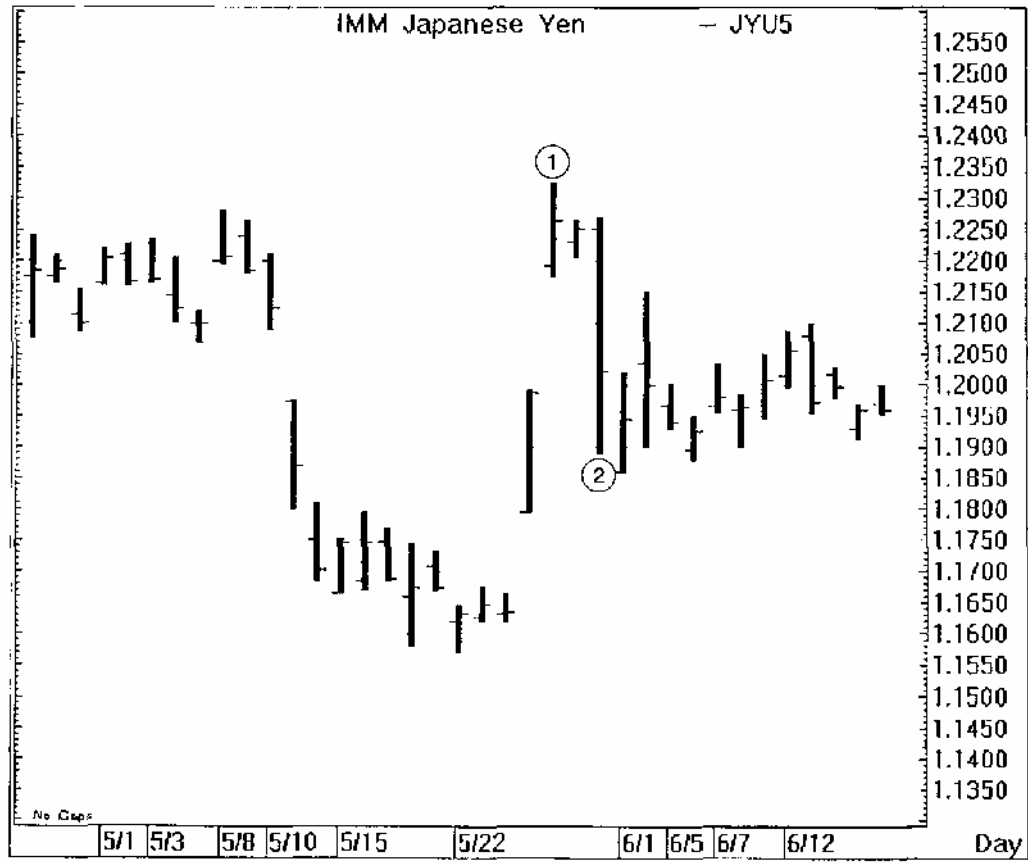
121,05

119,95,

2.

10

4.4. Hewlett-Packard (HWP) - 1995



1. 20-

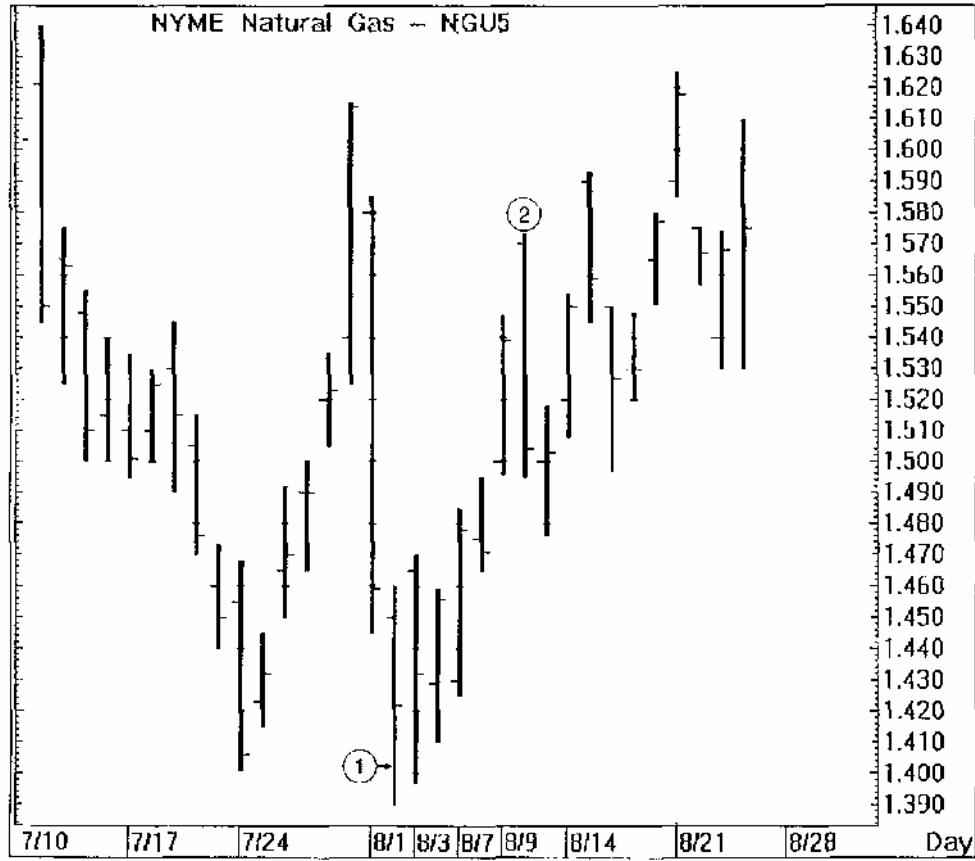
20-

8

8

123,26,

119.



1. 3 1995 20-1,400,

2. 1,570.

« »?
 ()
 Investor's Business Daily.

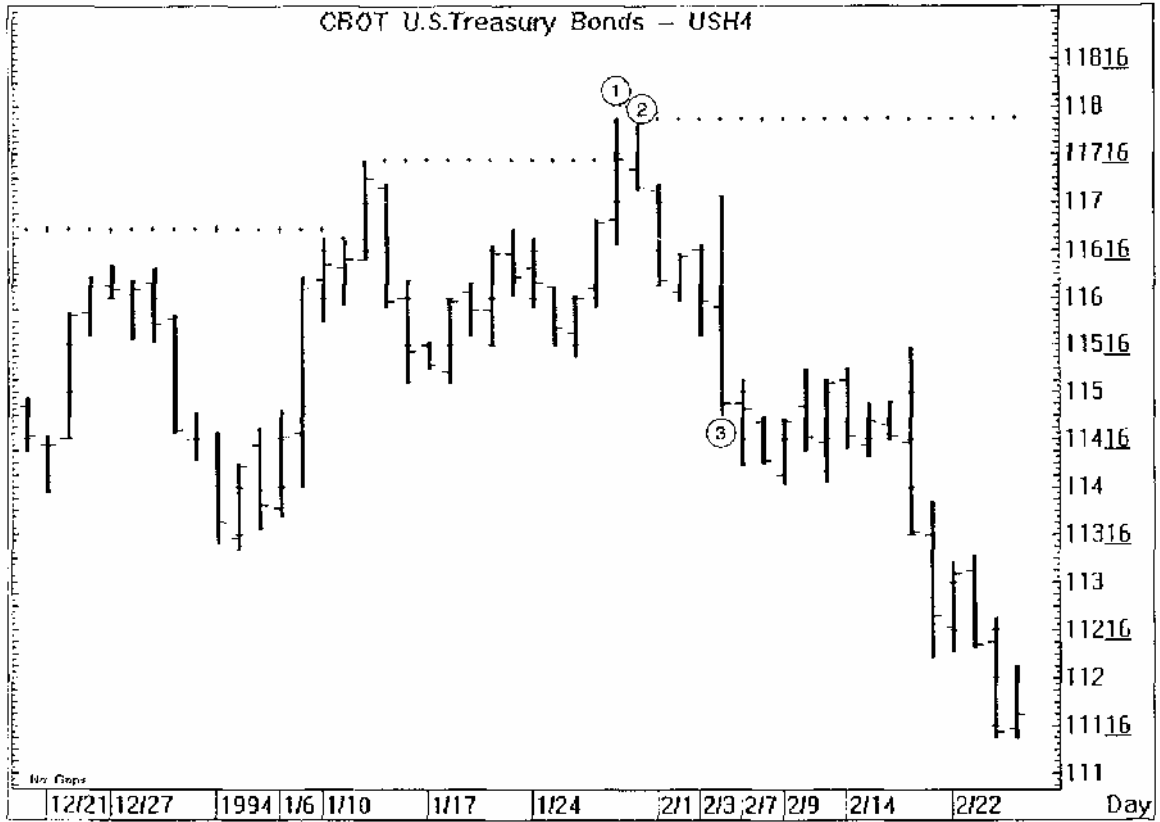
20-

15—20

30

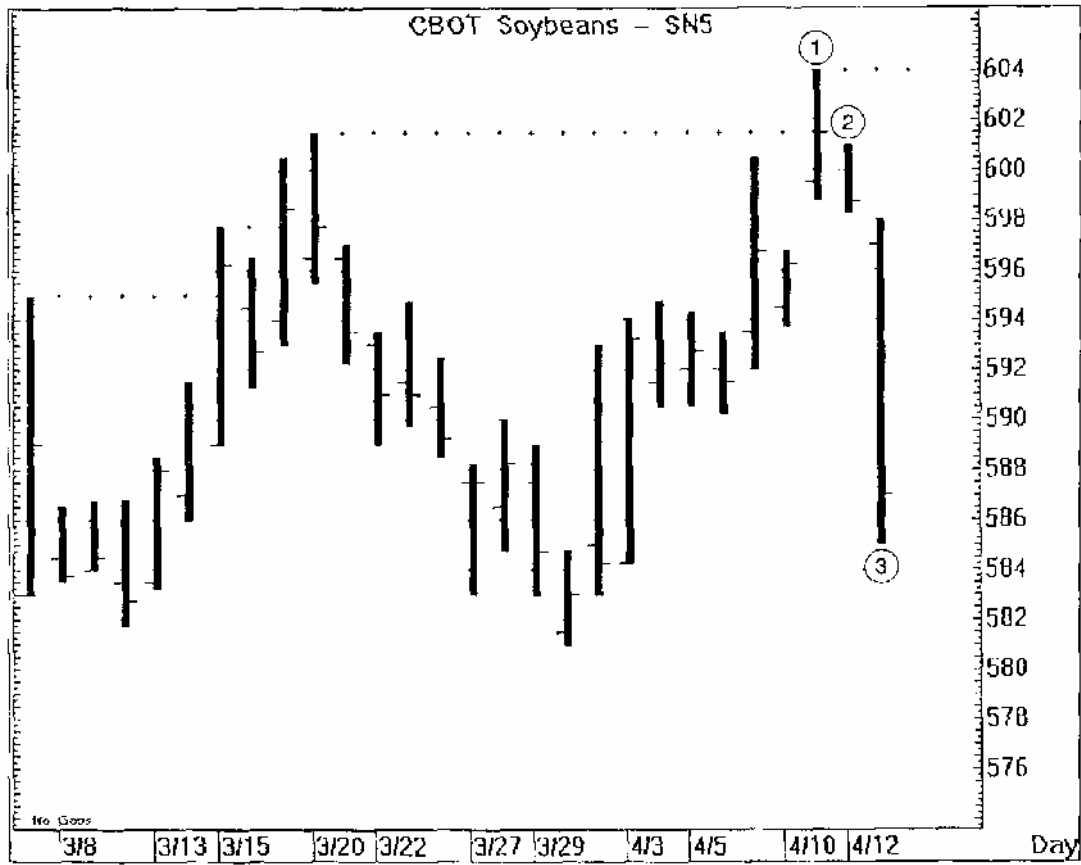
?

5.1. — 1994



1. 20-
20- , 12 ,
2. 117—09,
117—29,
3. « » ,
111 1/2. — ,
4 ,

5.2. - 1995

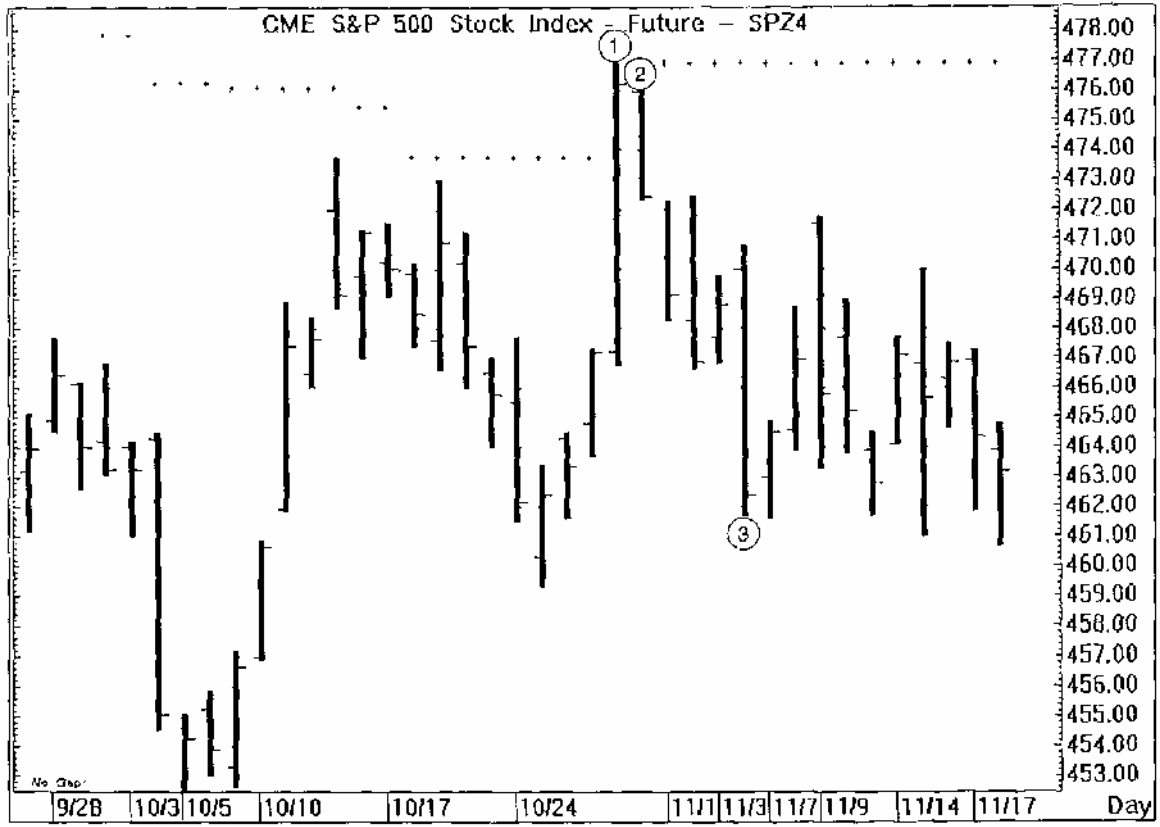


1. 11 1995 20- 20- 20

2. 20-

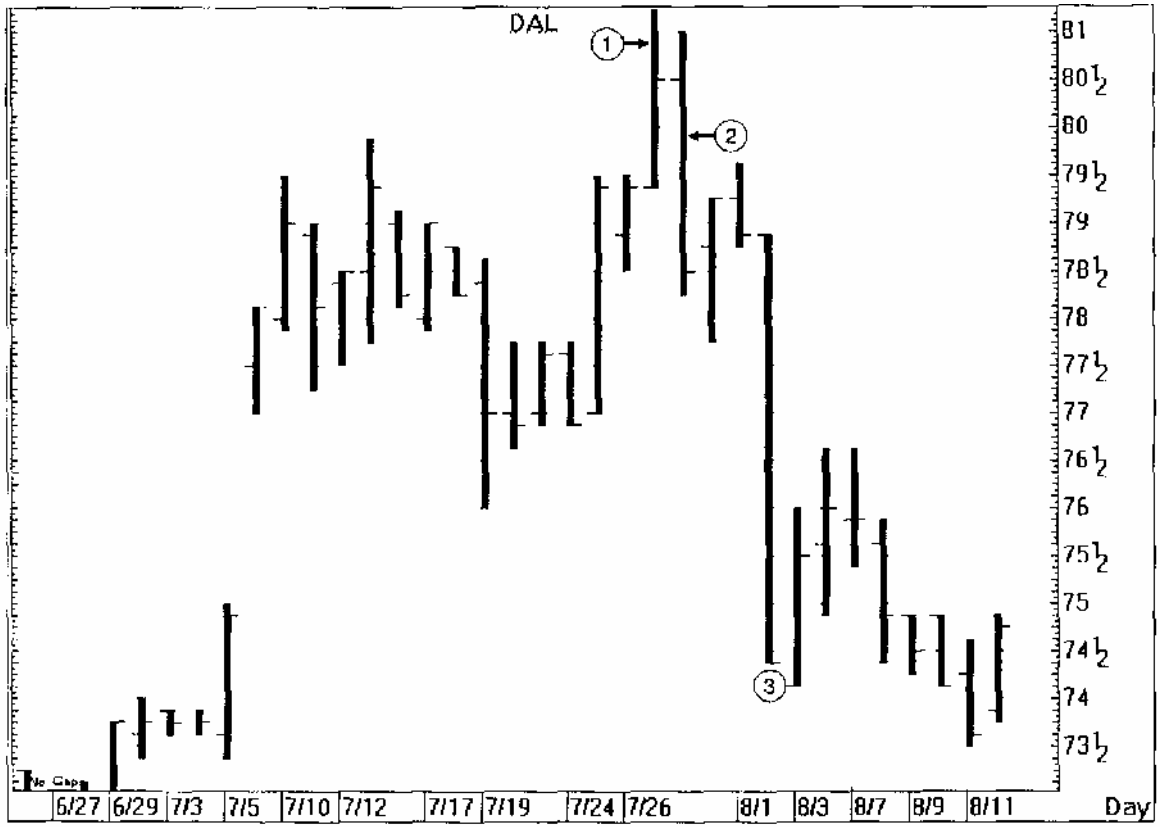
604.

3. 13 25

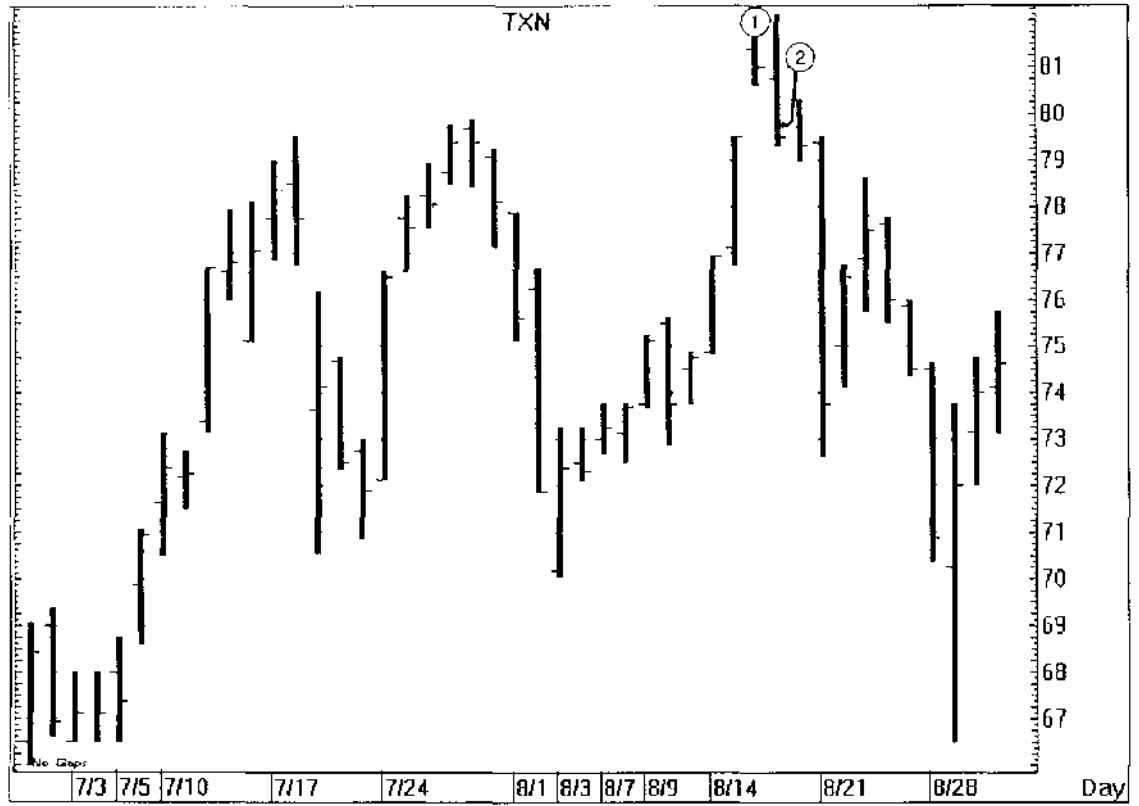


- 1. 20-
- 2. 473,75, 20- , 13
- 3. 12

5.4. Delta Airlines (DAL) - 1995

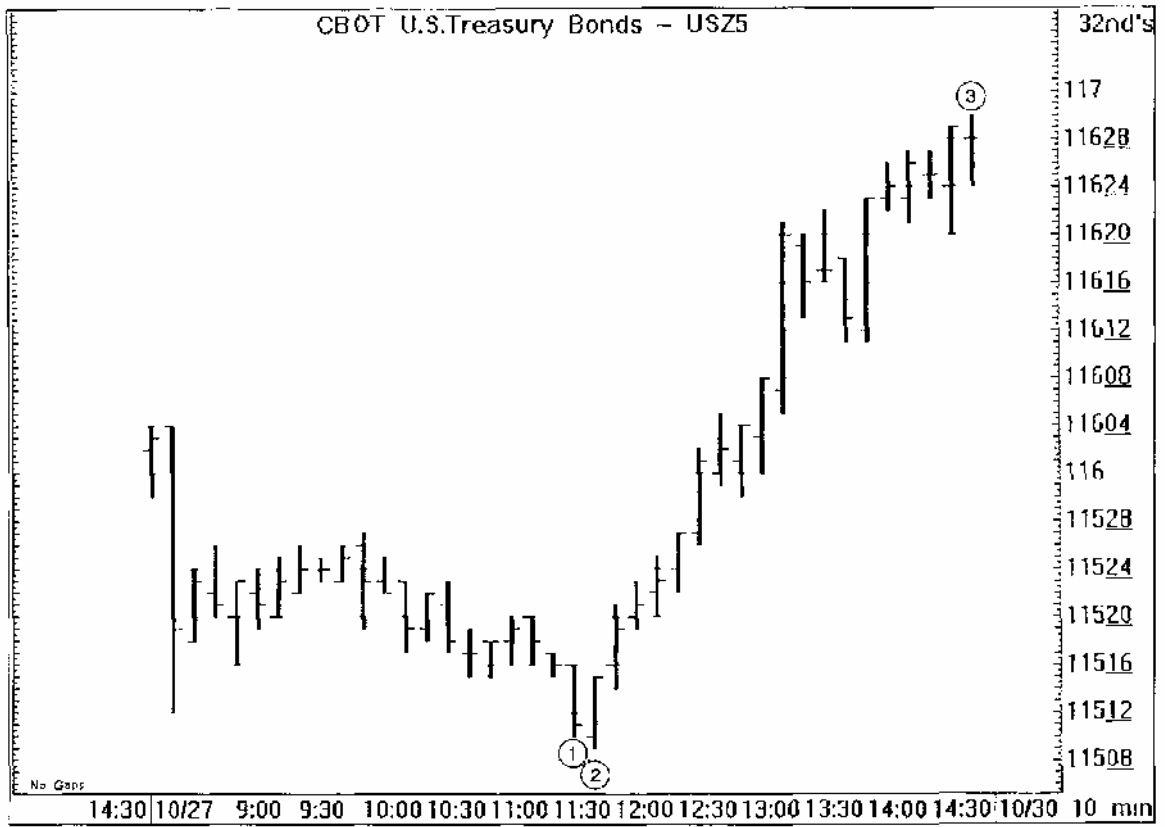


1. (81 1/4)
2. (79 7/8, 81 1/4)
3. 5

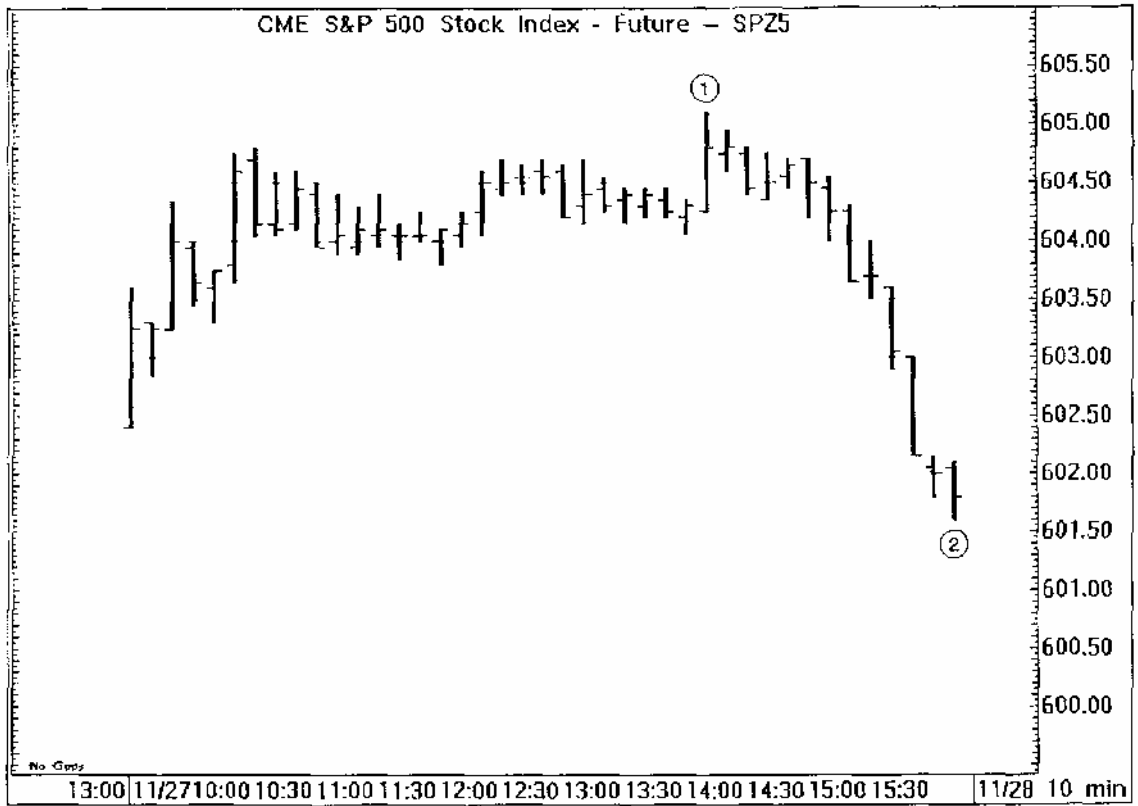


1. 20-
2. 79 7/8.
3. 14

« » « »
 10-
 : (), () , 20-



1. 20-
2. 20) (
3. , , 1 1/2



1. 20- , 604,75 605,15, 20-

2. (0,40 ,)

:

, , « ».

:

, « 20- », / .

:

, ?

:

, -

:

, ,

:

, « ».

, « 20- ».

/ « ».

, « ».

:

:

20-

»?

»

20-

6

80-20'S™

80—20 (80—20's) — « » (The Taylor Trading Technique)¹,

Moore Research Center.
10

80—90- / 10

/ 50

?

20

90 80

20

80

()

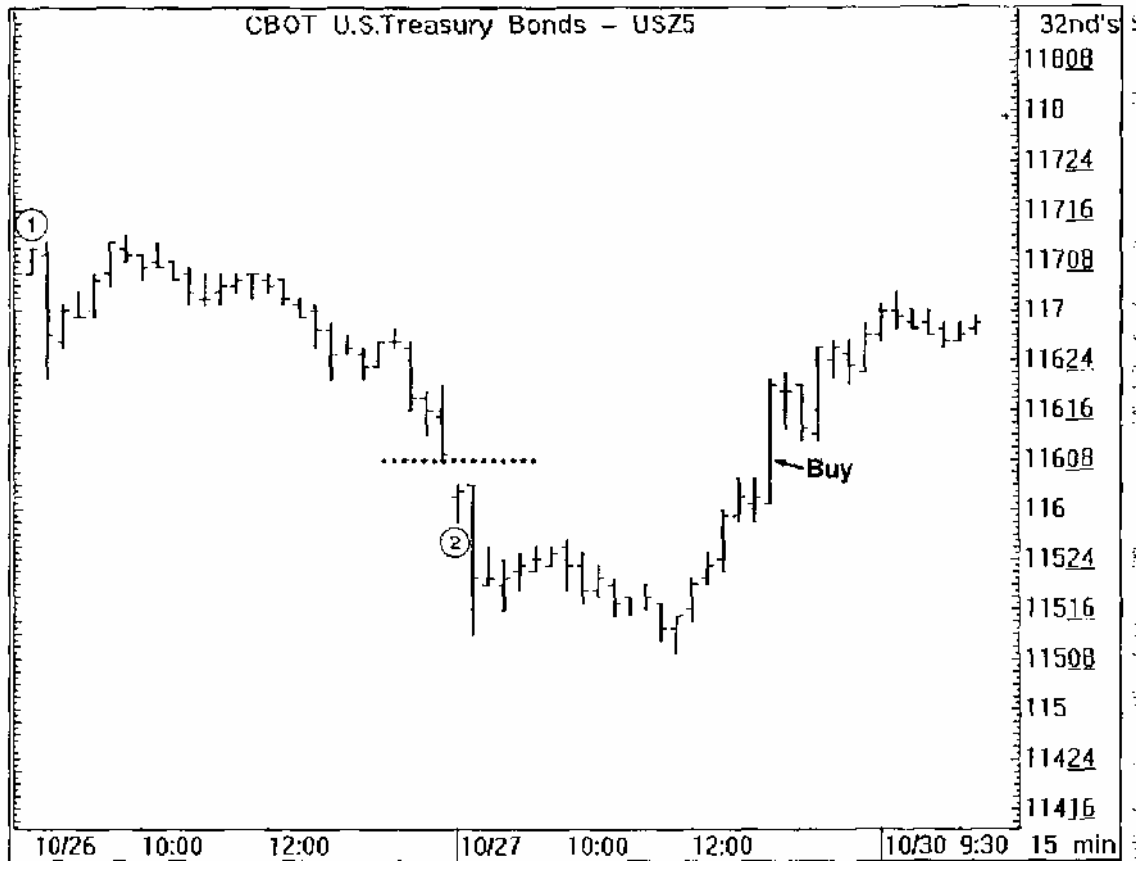
¹ The Taylor Trading Technique, George Douglass Taylor.

()
1. 20

1

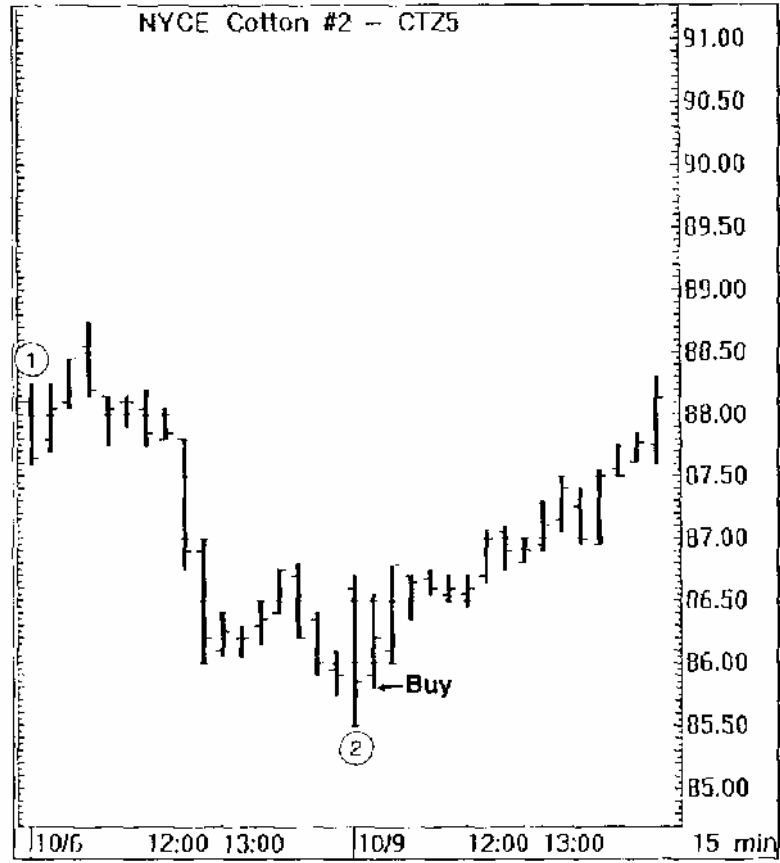
2. 5—15
3.
4.

6.1. — 1995 — 15-



1. 26 1995 20

6.2. — 1995 — 15-



1. 6 1995

20

2.

85,50,

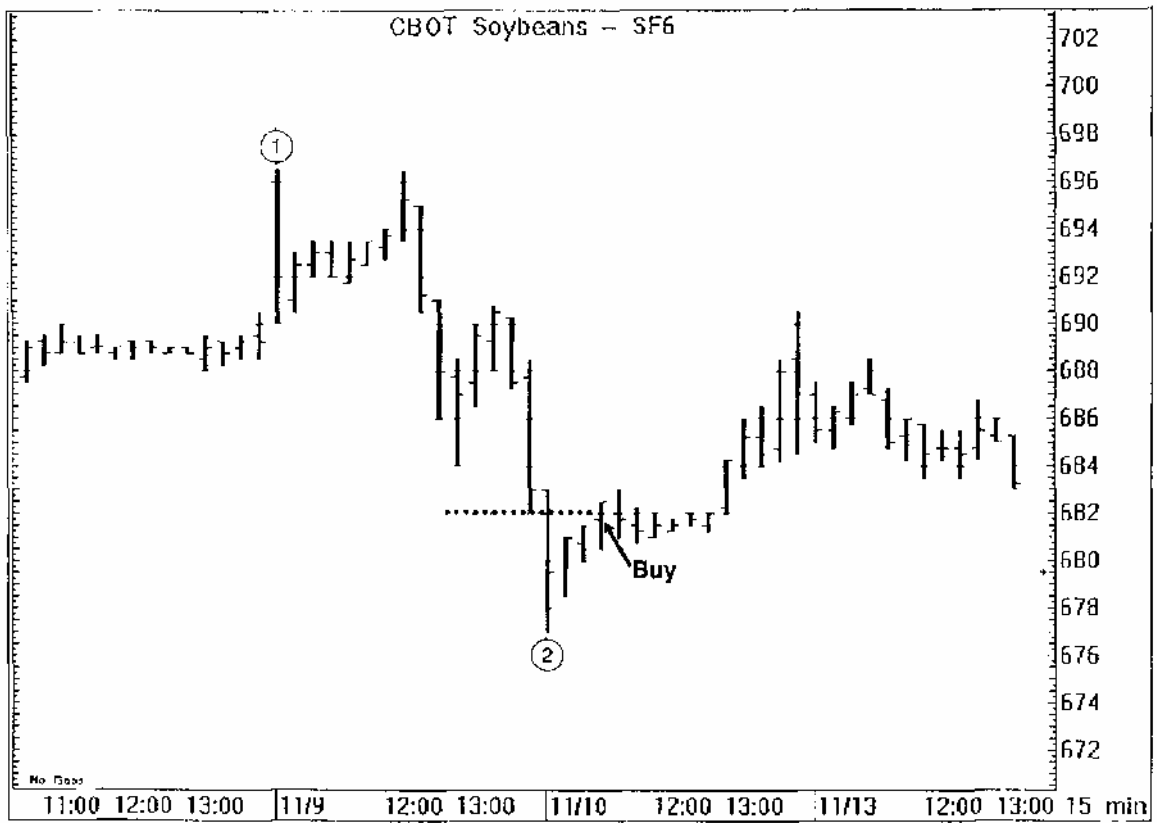
200

85,80

(

80—20 —

)



1. 9

2.

682

677.

80—20

80—20

, 80—20

7

TM

« !» «

» (Momentum Pinball)

80—20,

(-)

« ».

(-4.) 592, — 596,

(RSI

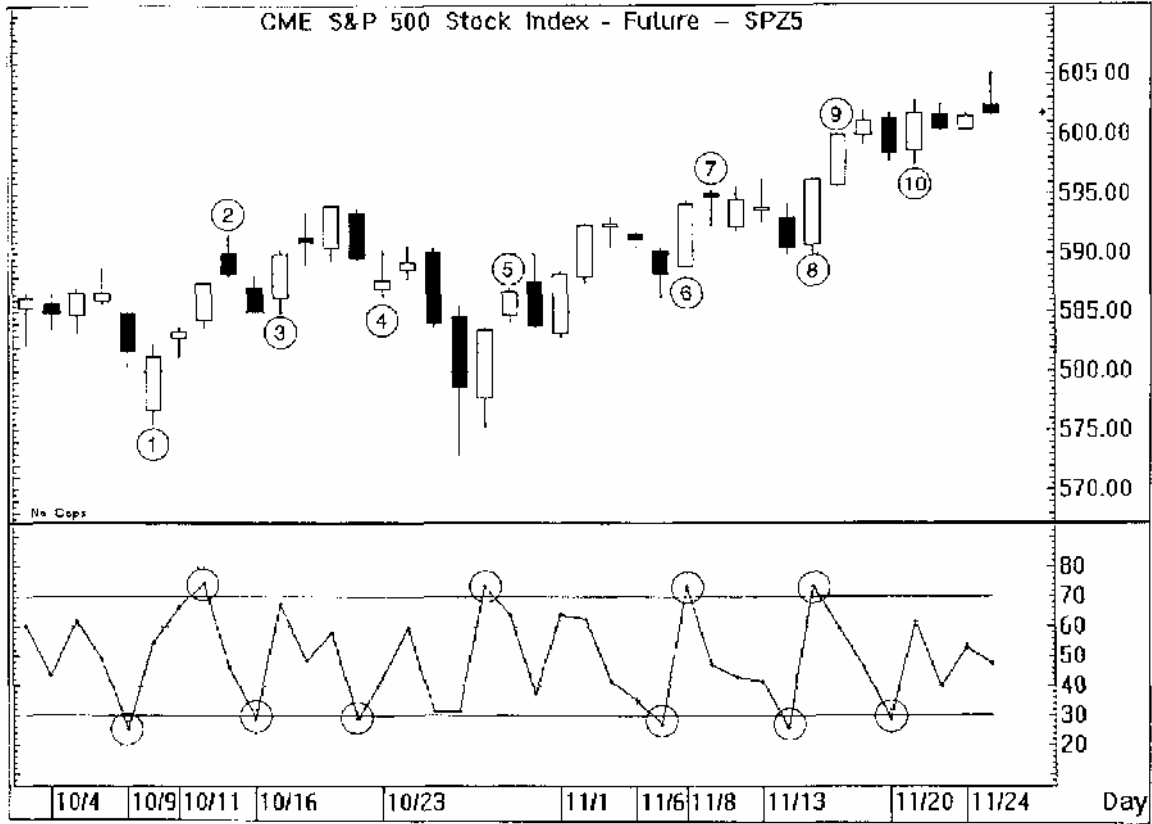
.)

:

1. RSI (
 2. LBR/RSI™.
 3. LBR/RSI 30.
 - 4.
 - 5.
 6. ().
- ».
- «

RSI 70.

7.1. S&P — 1995



1. LBR/RSI 30

2.

3.

4.

2 4,

5.

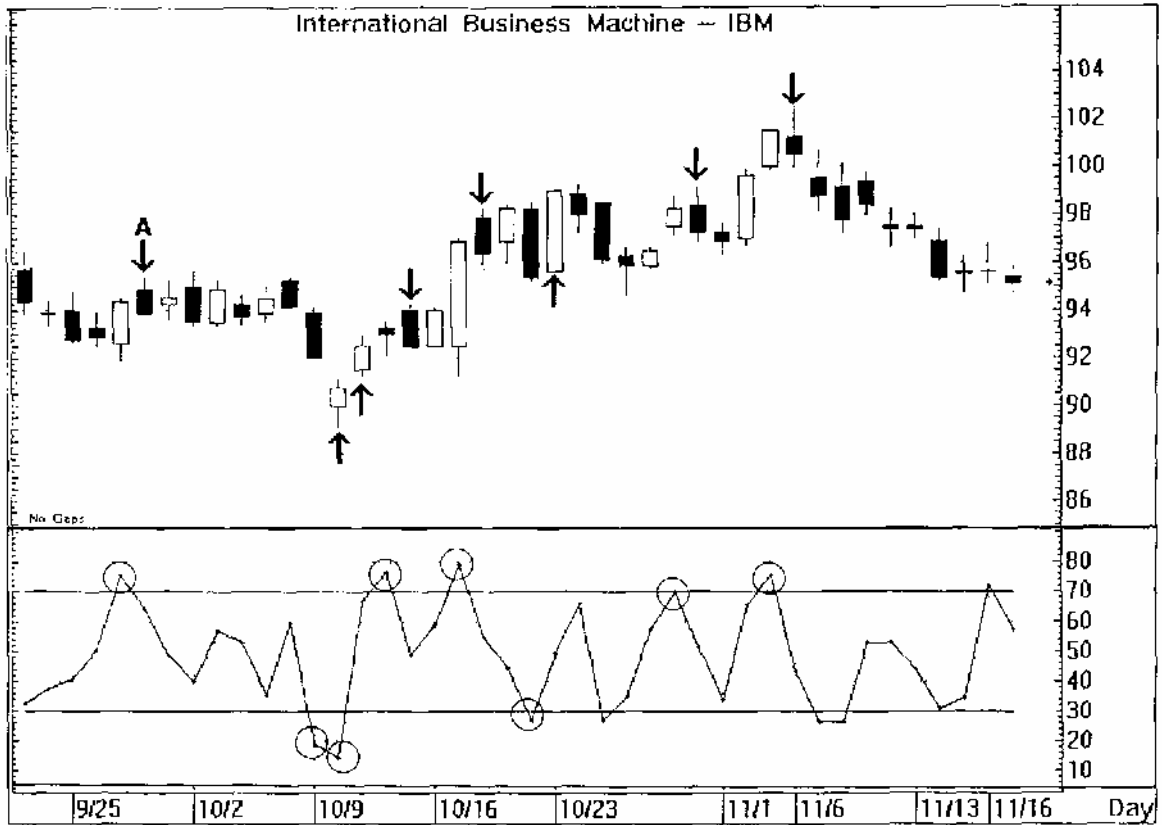
70.

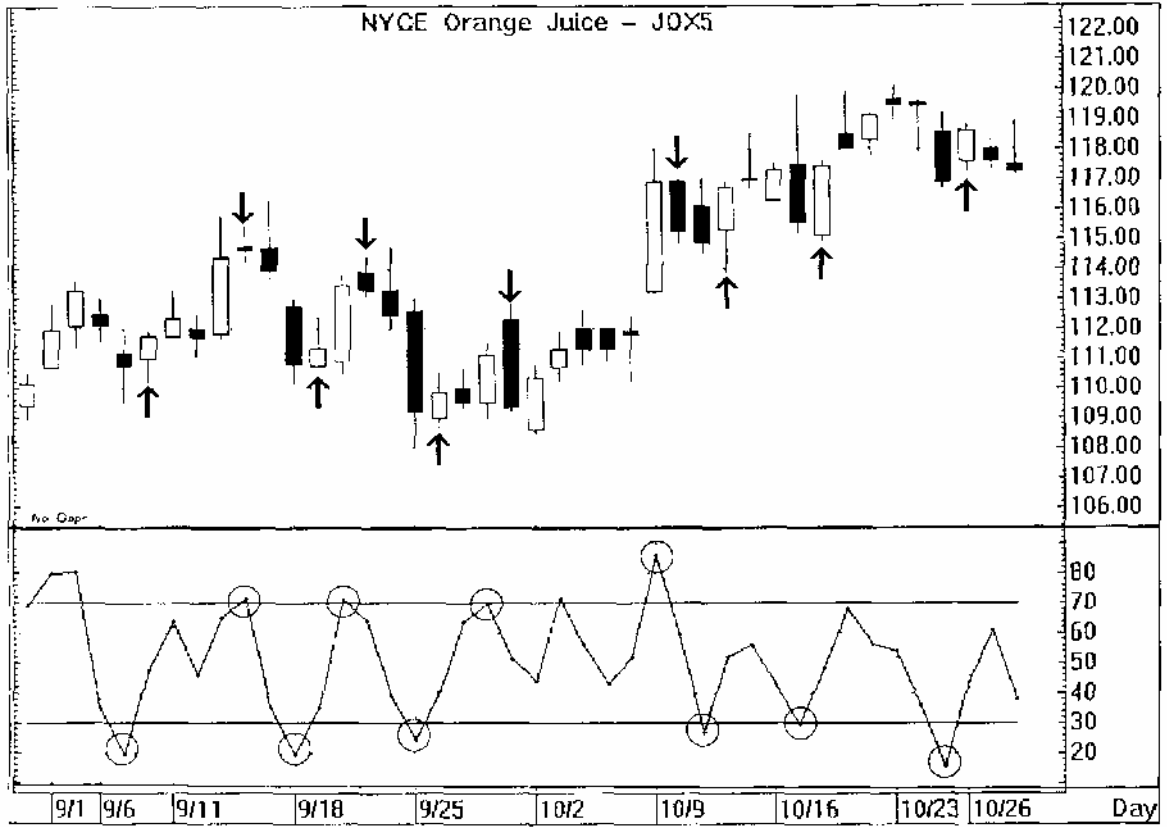
6. 6, 8 10 —

7.

8. (9),

7.2. IBM, 1995





:
—
:
!
« ».

8

ROC

« — 2»!

« », « » « »

.(.)

(

)

}

80—20.

;

« »

), (

80—20). « »), (

сіресс

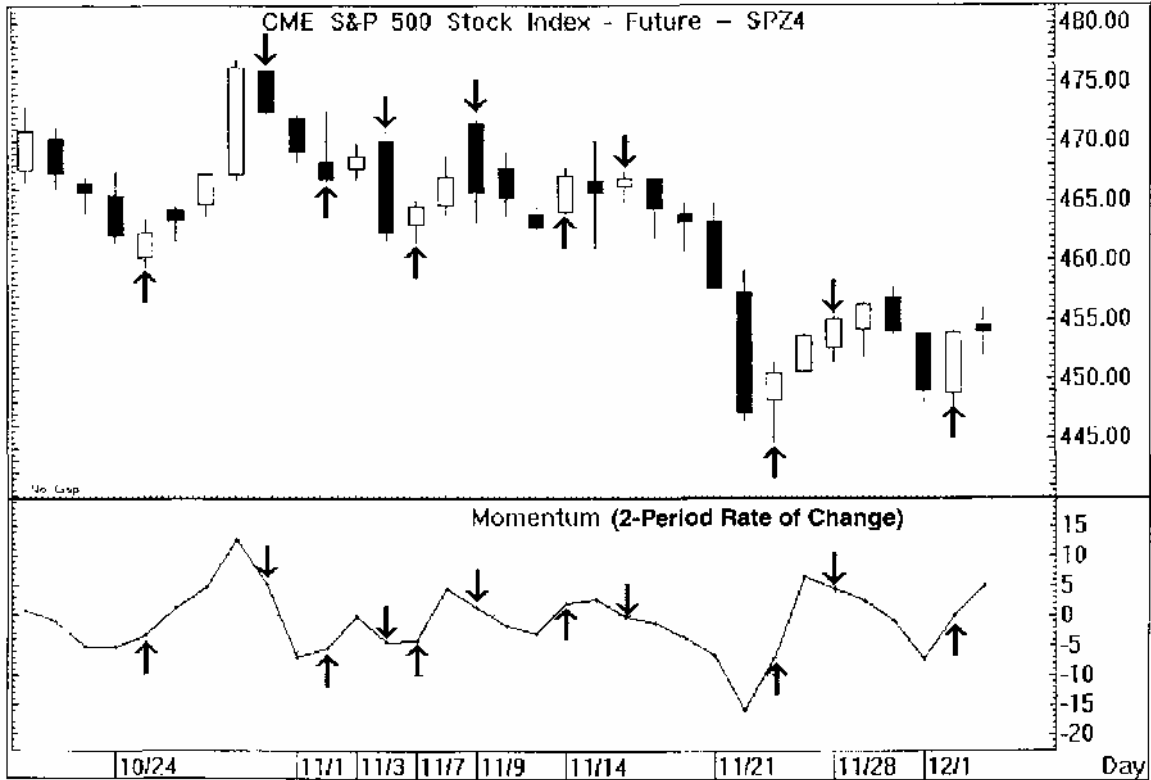
Voila le !

1. () — () (,).
2. ().
- 3.

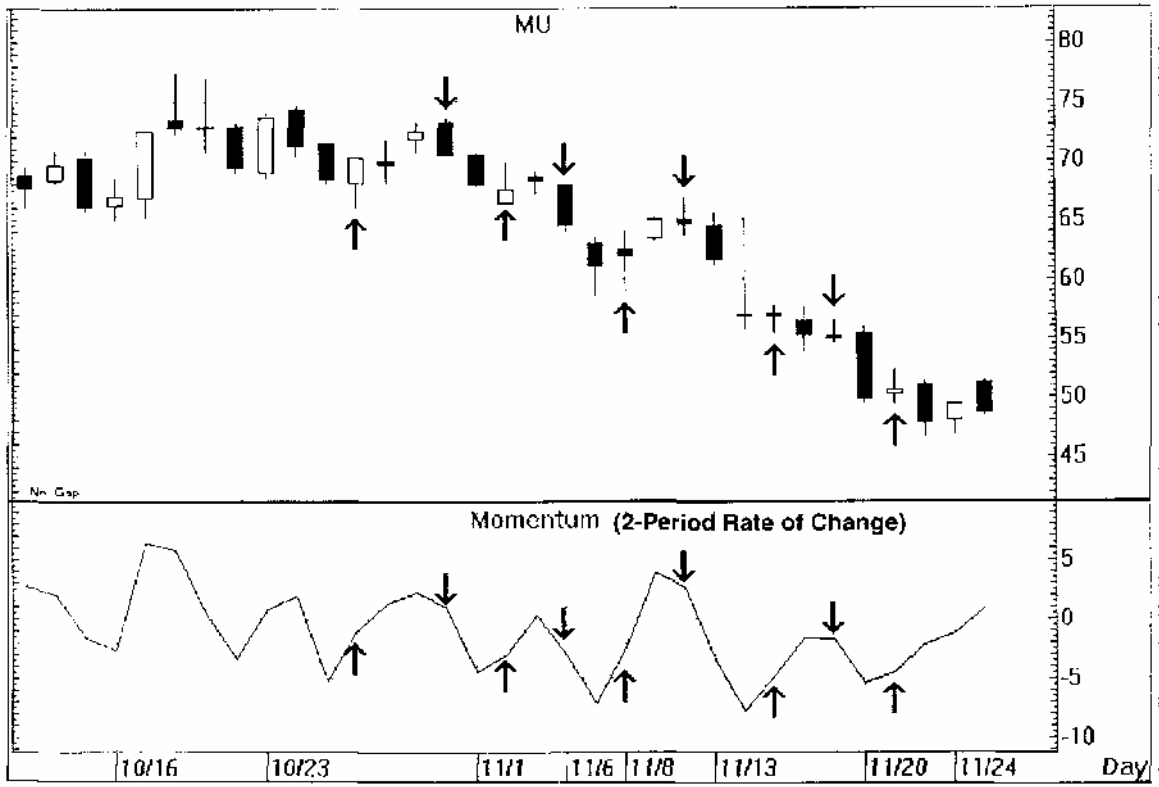
<i>Дата</i>	<i>Закрытие</i>	<i>Двухпериодичный ROC</i>	<i>Краткосрочный разворот</i>	<i>Сделка</i>
10—30	586,70			
10—31	583,85			
11—1	588,25	1,55	585,40	длинная
11—2	592,35	8,50	596,75	длинная
11—3	592,50	4,25	596,60	короткая
11—6	591,30	-1,05	591,45	короткая
11—7	588,20	-4,30	587,00	короткая
11—8	594,10	2,80	591,00	длинная

10—30 (586,70)	1,55.	11—1 (588,25)	10—31,
	585,40,		
11—2.		11—2	« »
592,35 —			, 11—2,
11—3	592,50 —		596,60

8.1. S&P — 1994



8.3. Micron Technologies (MT) — 1995



16), (whipsaw) (, ADX

(, ADX 30 .)
, « » bcci

!

9

« »™

« » («Anti»)

!

« »,

:

INSIGHT

] 986

1981
3—10 16-
% %D,
3—10. , , 7% 10%D, « »

1. % (« »).
2. 10- %D (« »).

(-)

1. (%D,)

2. (% ,) .

3. , ().

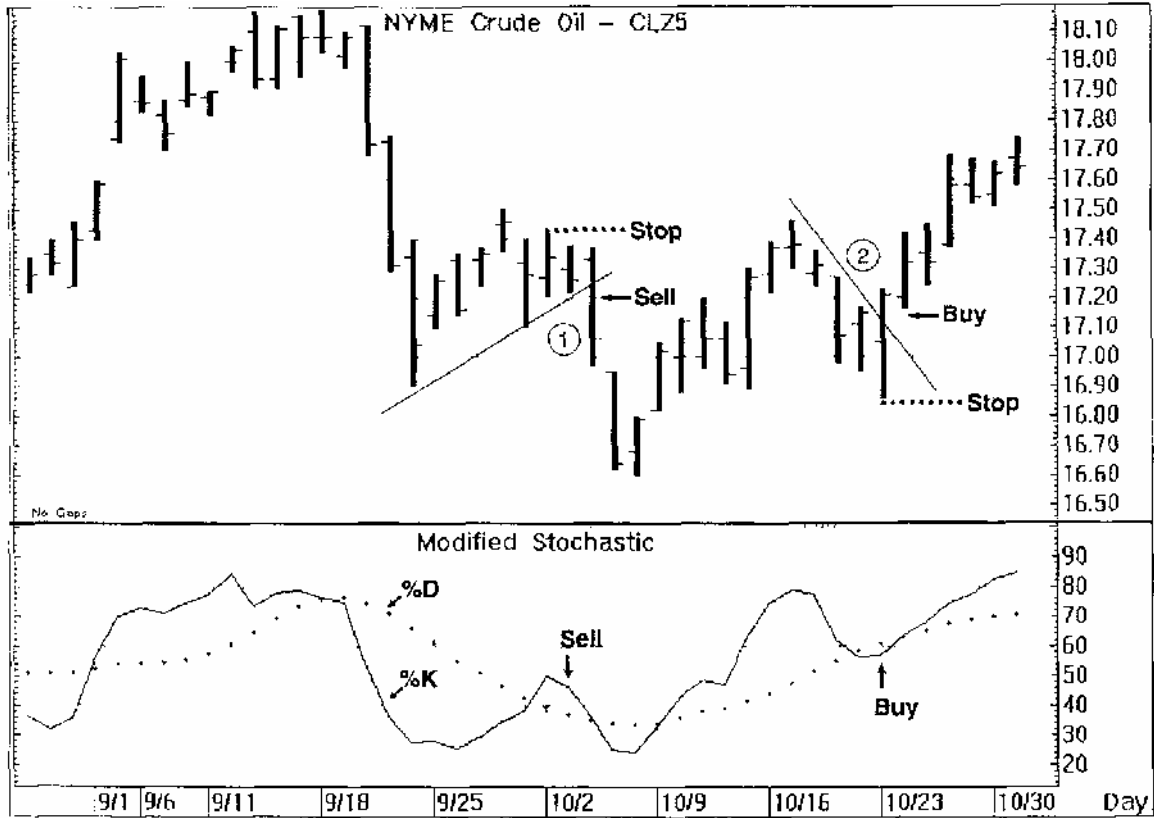
1. % %D , , , %D . (.) , ,

2. ()

« », « ».

: , « » , : - .

« !» - ,



2. %D

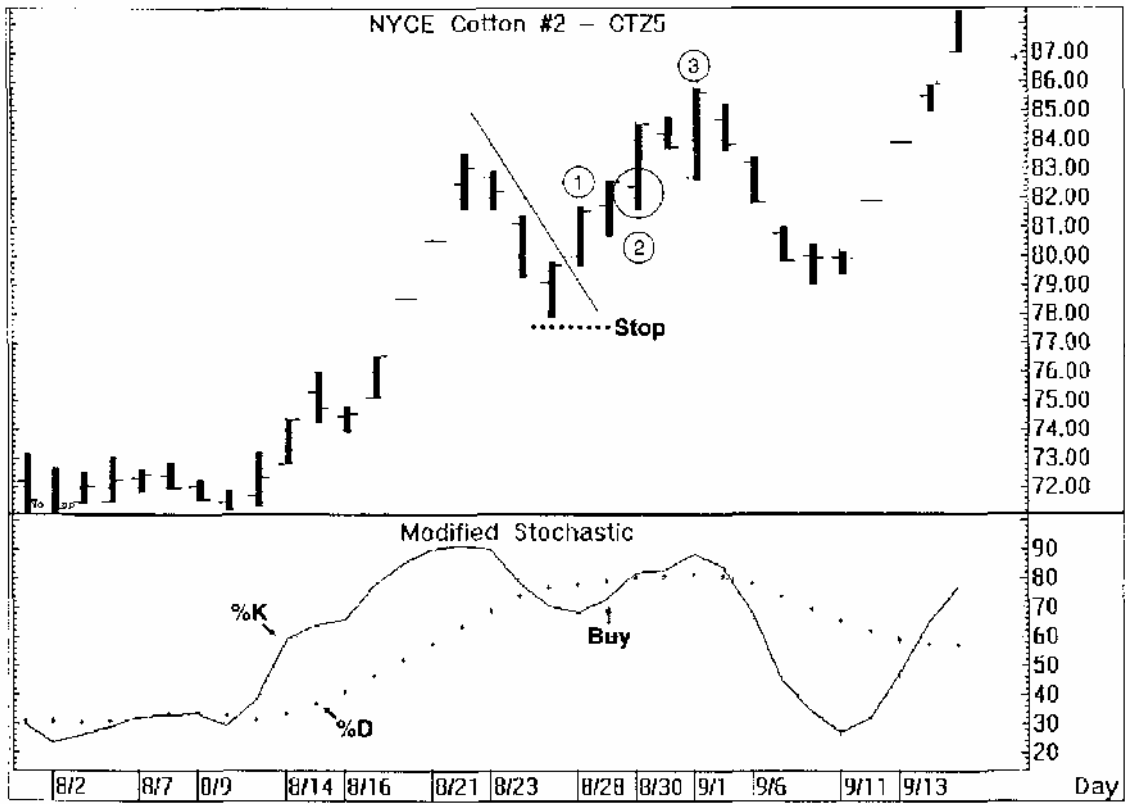
. %

60

. %D

. %

<>



%D

.%

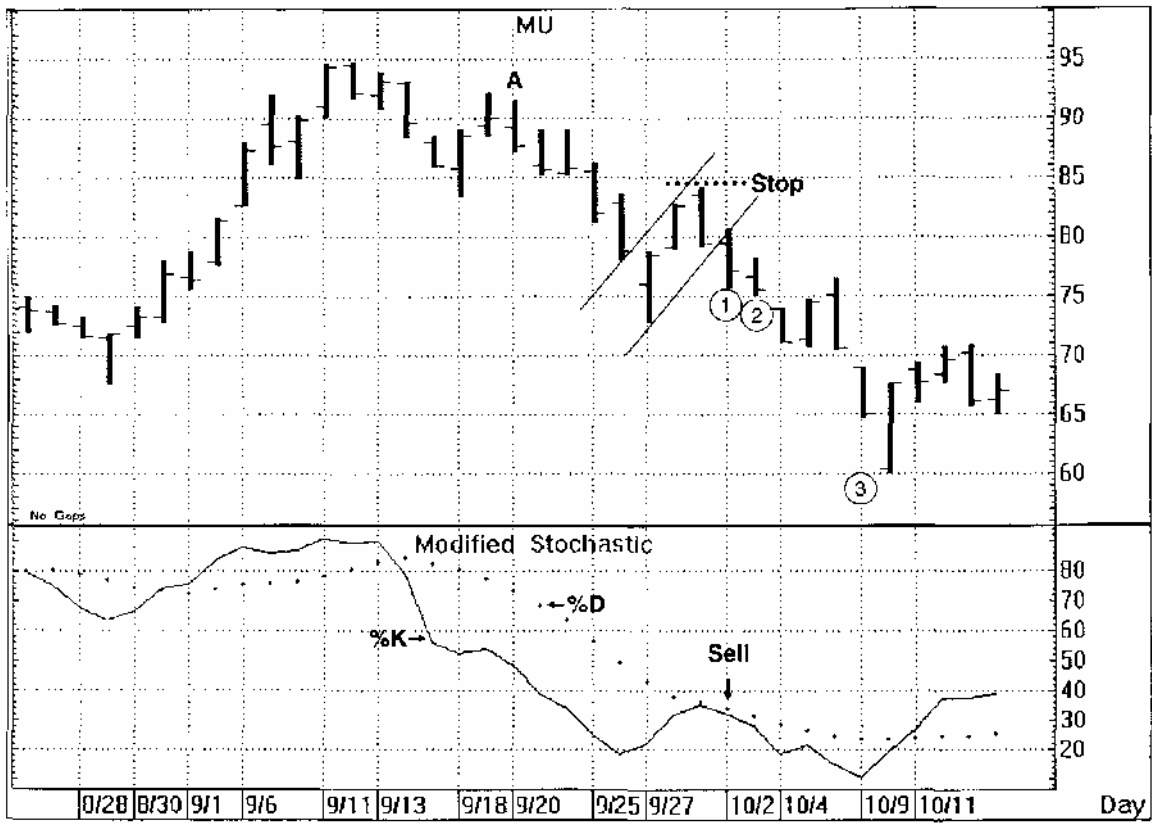
1.

2

%

3

9.3. Micron Technologies (MT) - 1995

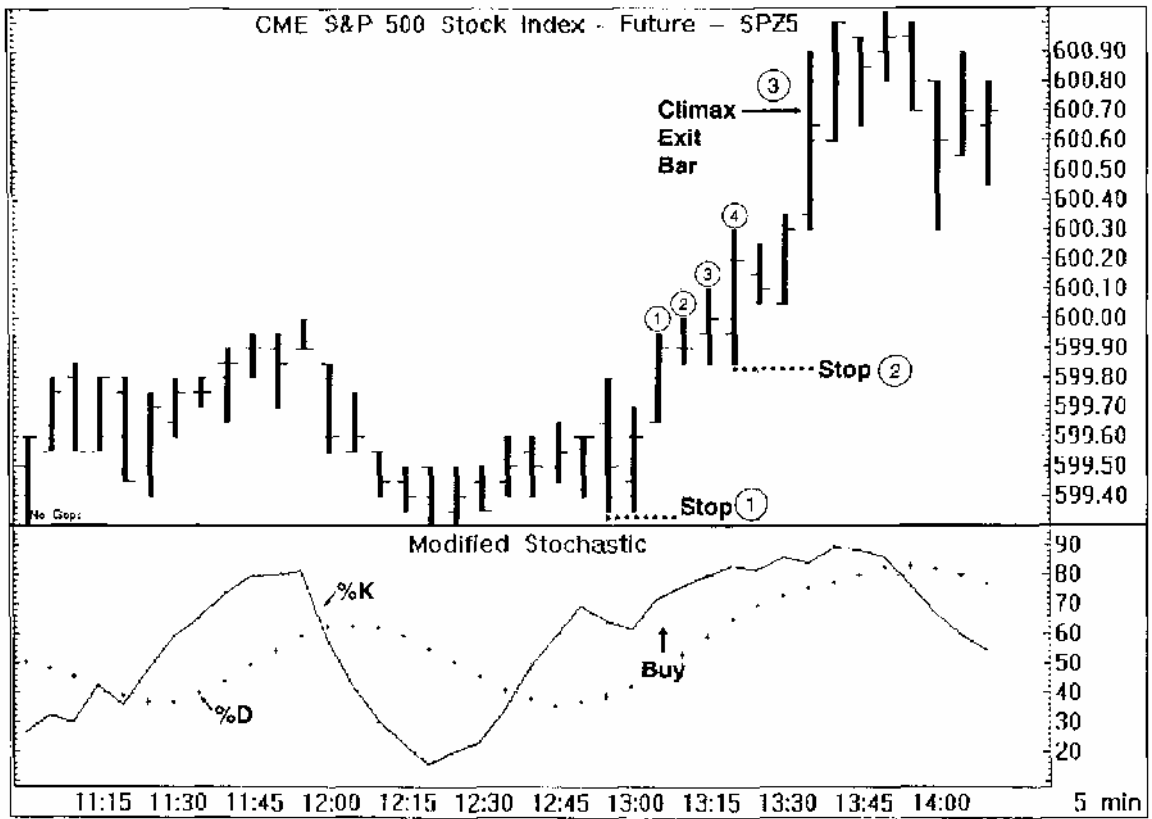


%

1

3.

9.4. S&P — 5-



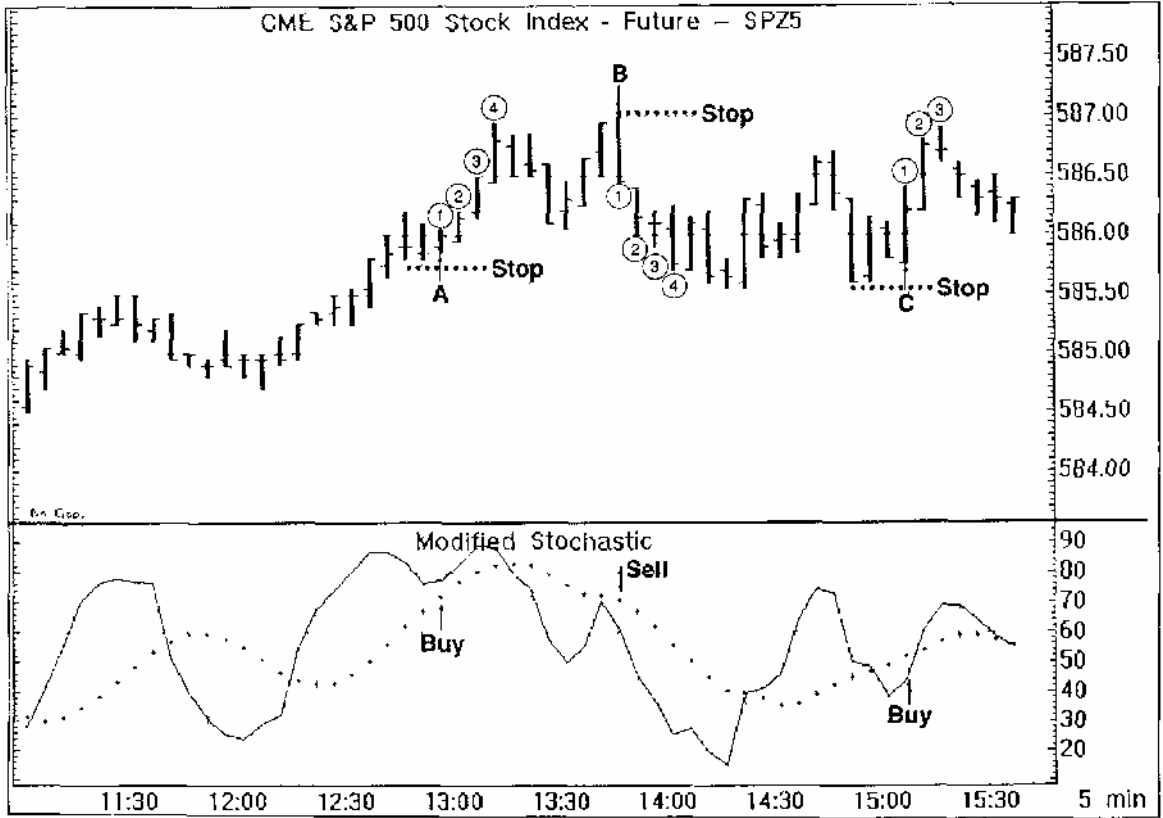
%

(%D)

2,

3

9.5. S&P - 5-



%D,

10—20 (—)

S&P,

« »

:

« »

S&P

:

« »,

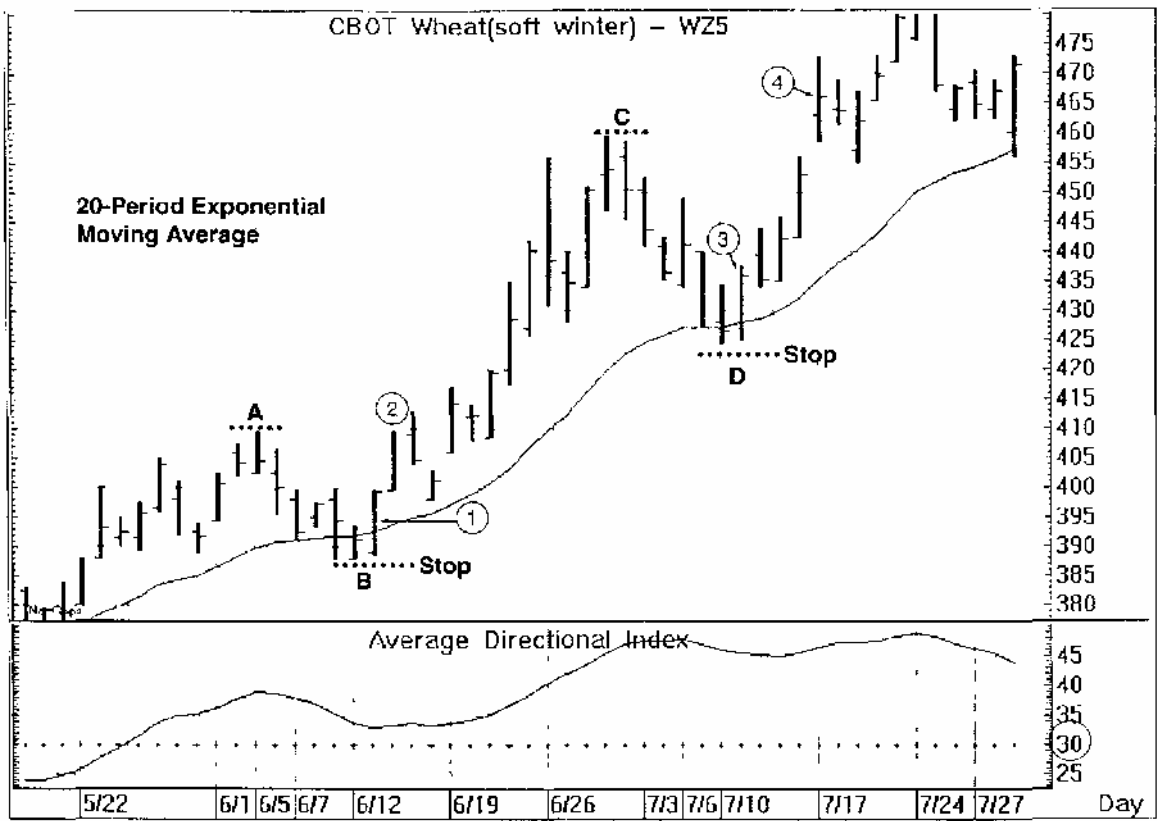
:

%D

%

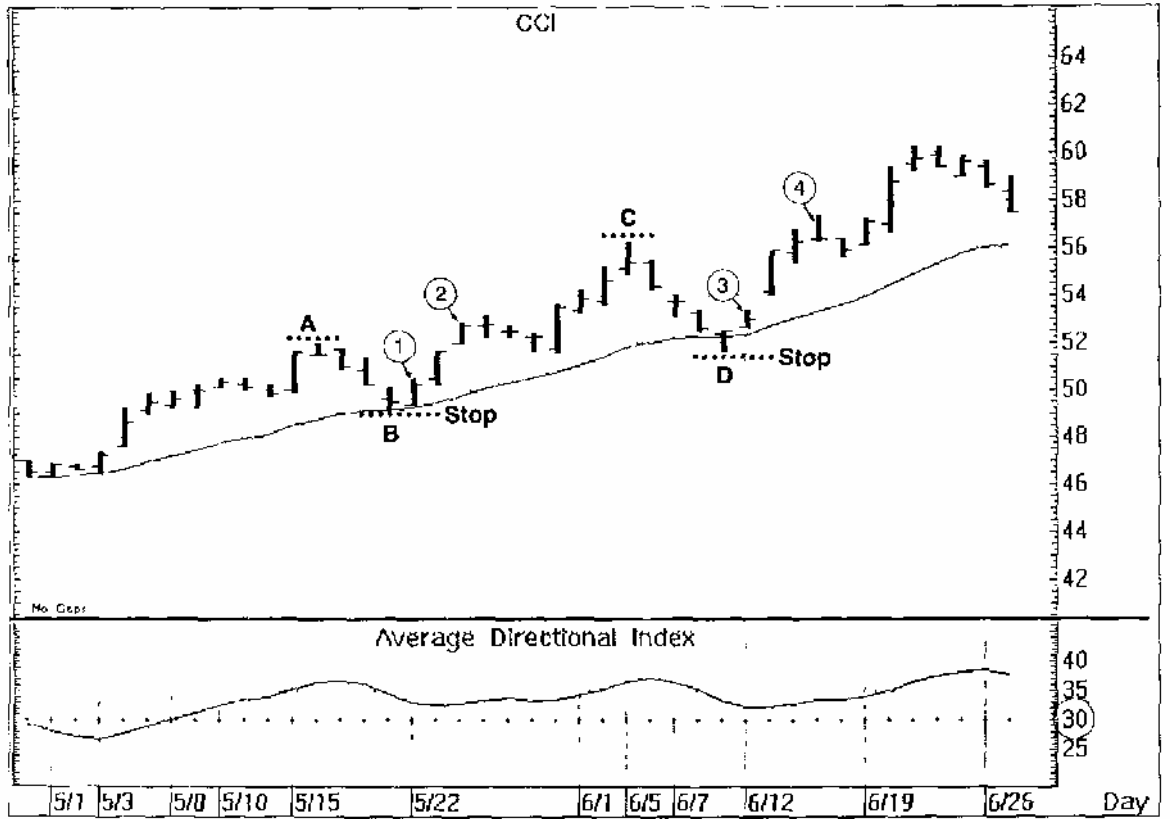
10

Index, — ! , ADX (Average Directional
) , ADX.
ADX. , ADX
ADX. (
ADX, «
» (*Technical Traders Guide to Computer Analysis of
the Futures Market*)
() ,
/ —
(-)
1. 14- ADX 30
2. 20- ADX.
3. 20-
4.
5.
6. ADX 30,



14- ADX 30, 20-
 1
 20- 2.
 3, D,
 4.

10.2. Citicorp (CCI) - 1995



. ADX

30,

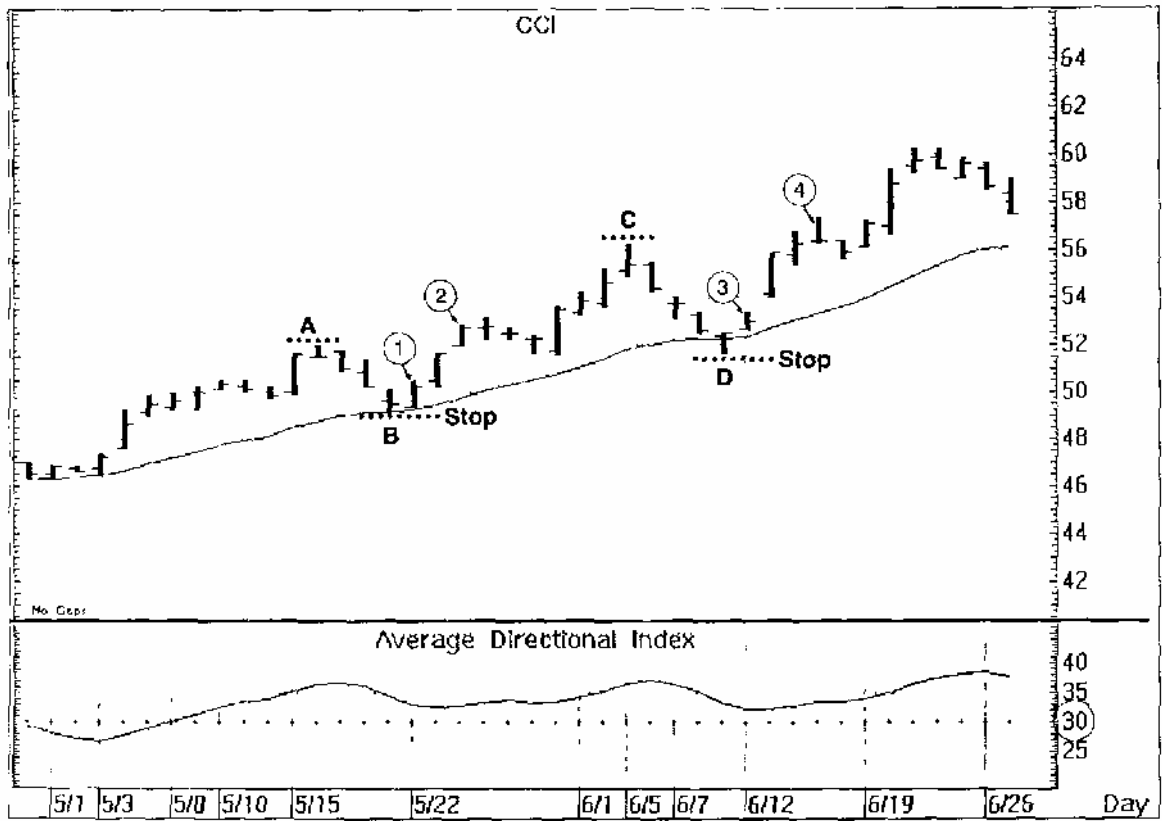
20-

2.

4.

3.

10.2. Citicorp (CCI) - 1995



. ADX

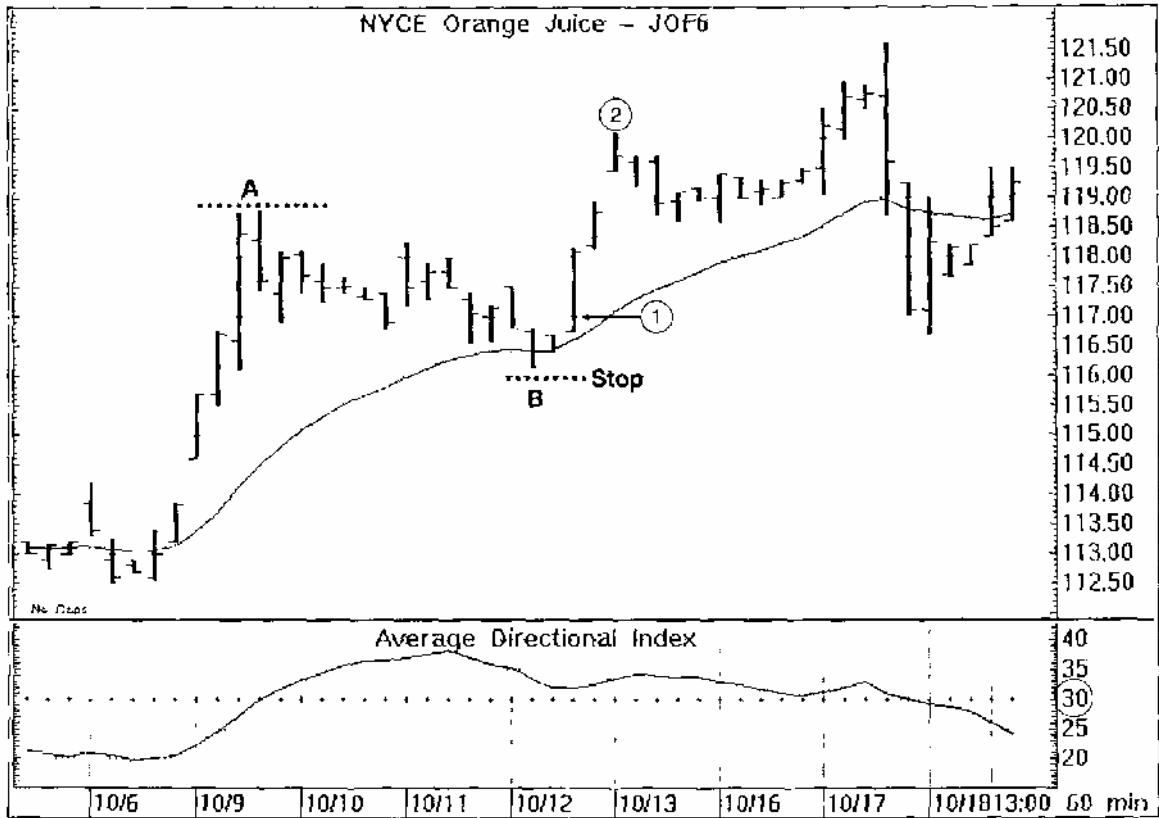
30,

20-

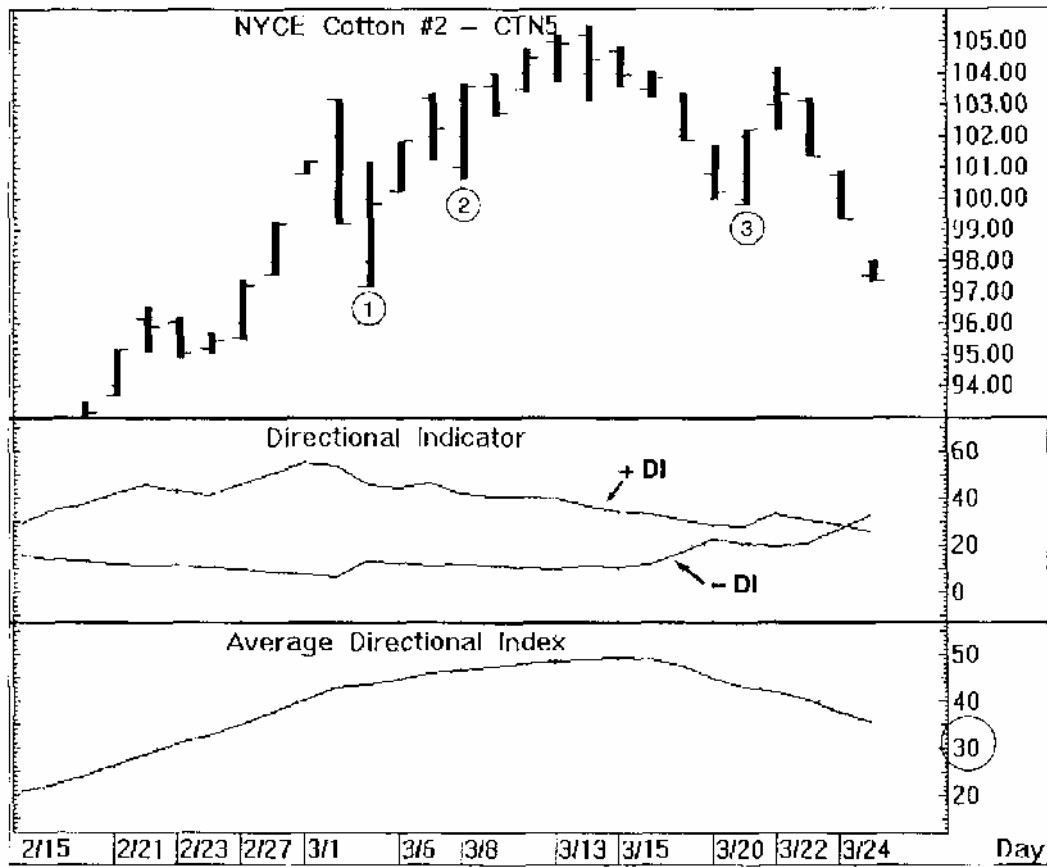
2.

4.

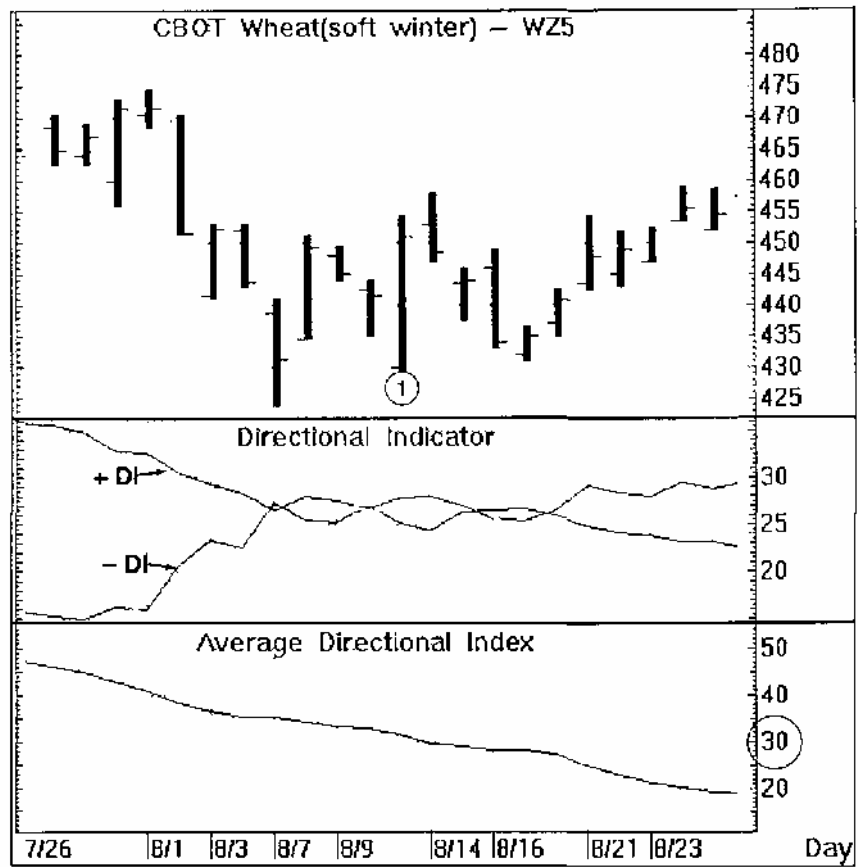
3.



30. 20- 1 ADX



1.	3	1995	12-	ADX	30	+DI	-DI,
2.	6		99,15.		101,18		99,85.
3.			101,65.				



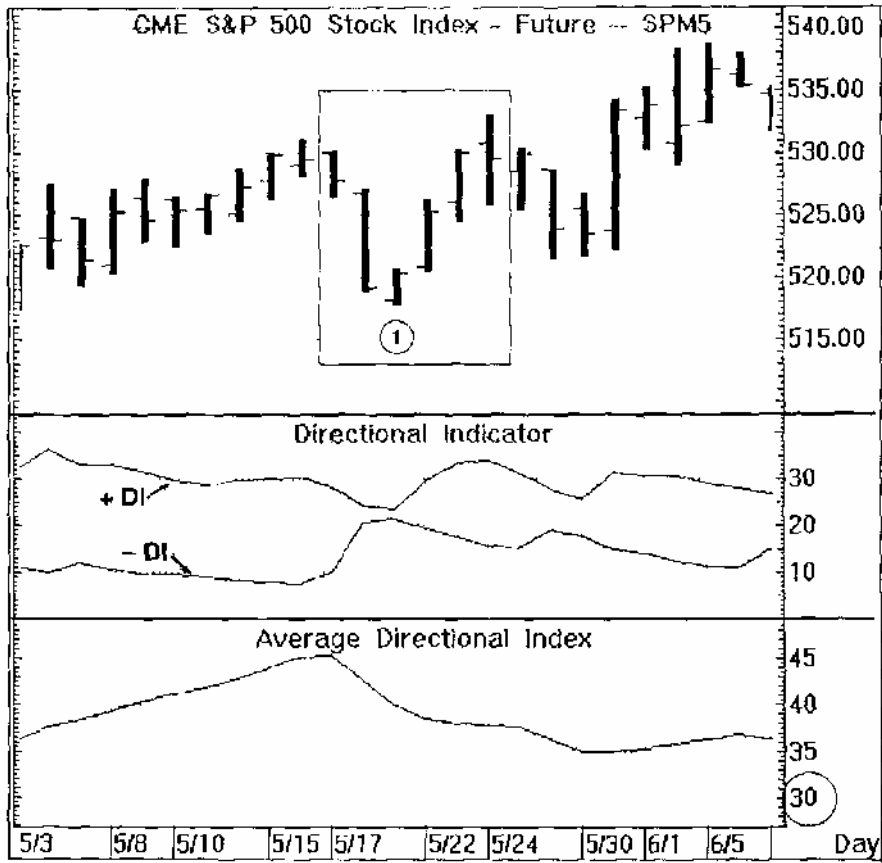
1995

. 11

435.
429.

16

11.3. S&P - 1995



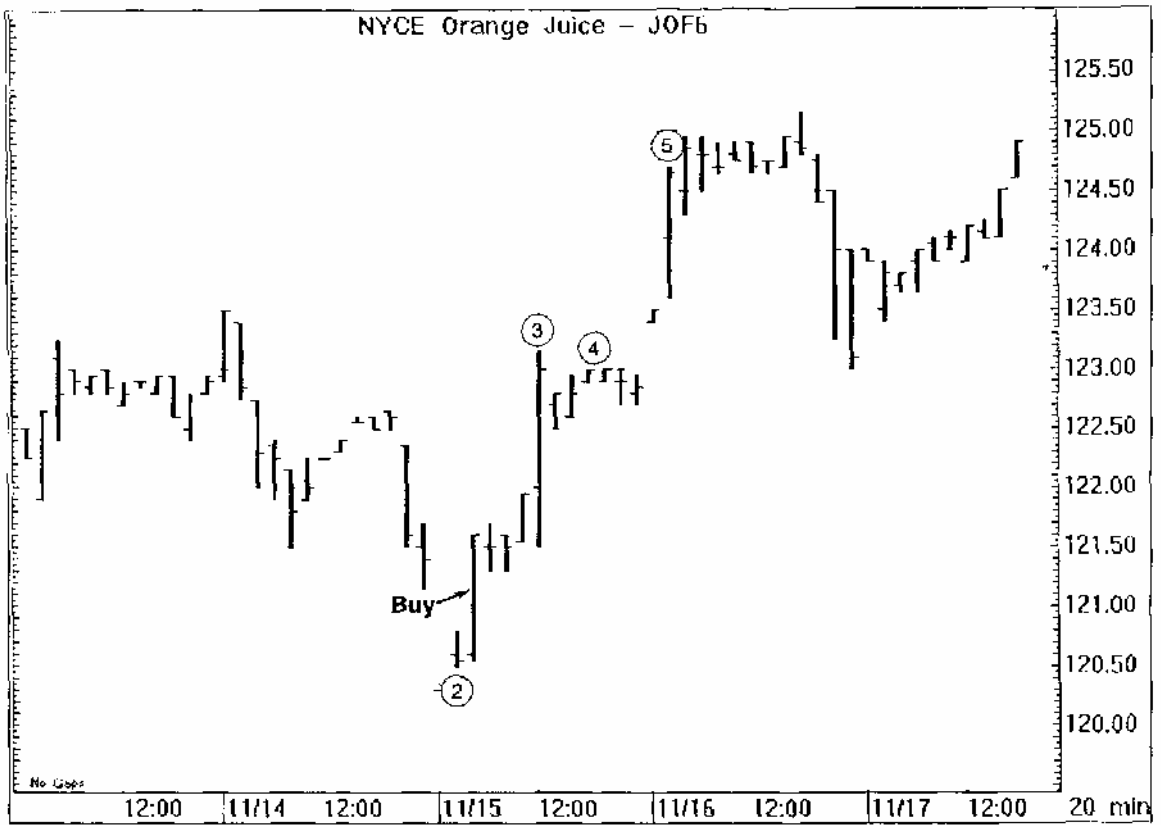
1995

19 , ADX

30 +DI

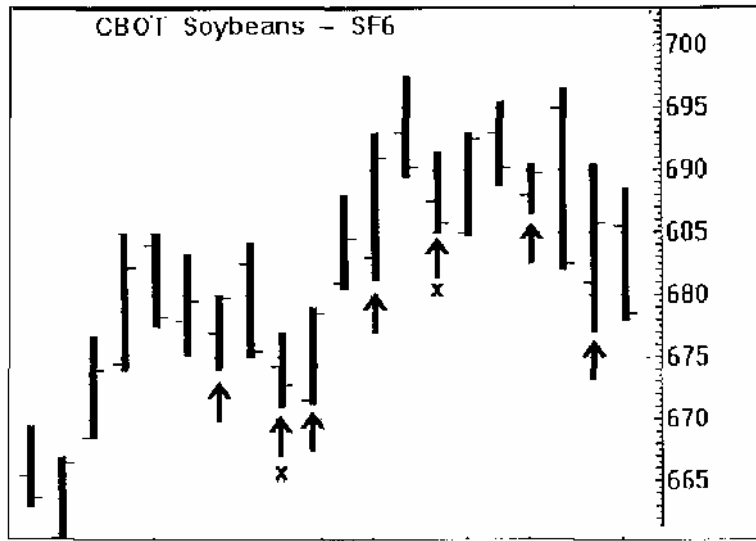
-DJ
518,90.

, S&P



:
 ()
 ?
 :
 (. ,), « » («Oops trades»
 , ,
 :
 ?
 :
 , - . (,
 :
 , - ?)
 :
 ,
 :
 ADX ?
 :
 ADX

:
:
: , ADX — 30,
, ,
, - , , , ,
:
:
;
;



— ADX 30
—
—
=

12

(),

,

,

,

(-)

1. .(

.)

2. 50

3. 1 2 ,

4. (

), ! !

5. , ,

,

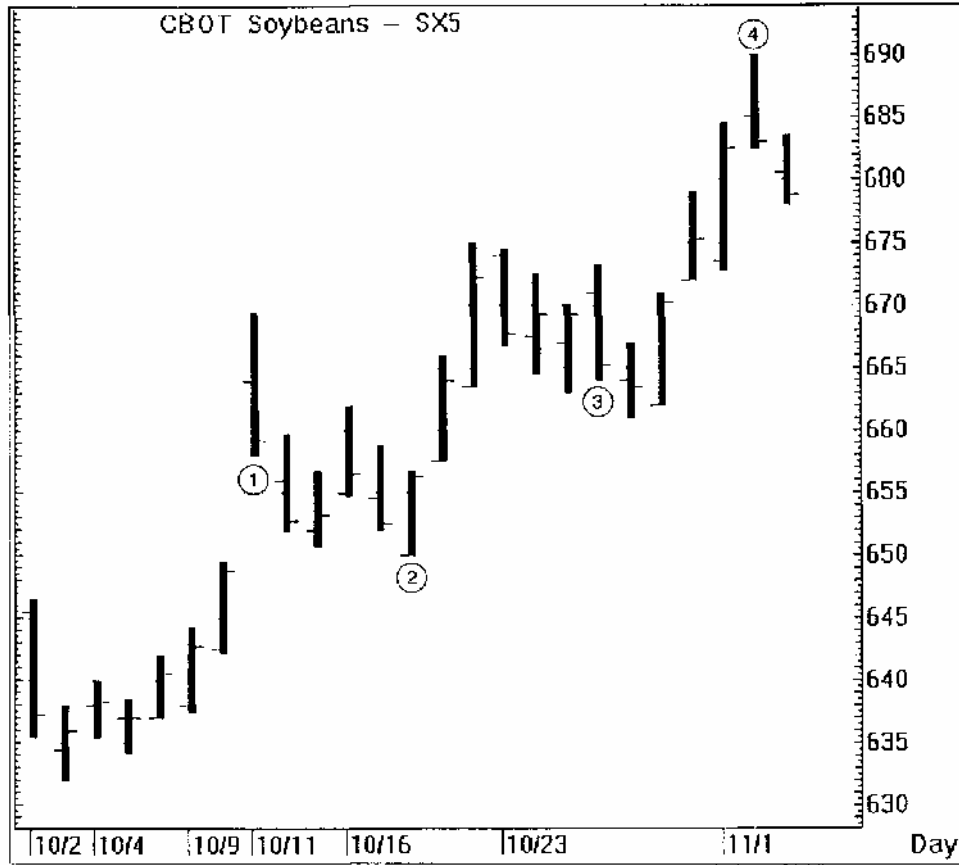
,

/

« »!

,

.



1. , 50
656. — 659 1/4
, (!)
 2. ,
1 1/4 () 10
656 1/4.
 3. ,
 4. ,
- :
?
:
S&P
:
:
:
:
:
:

?

:

,

,

,

:

.

60

,

,

:

,

.

.

13

,

.

(

-

)

1.

.(

2.

,

.)

,

3.

,

.

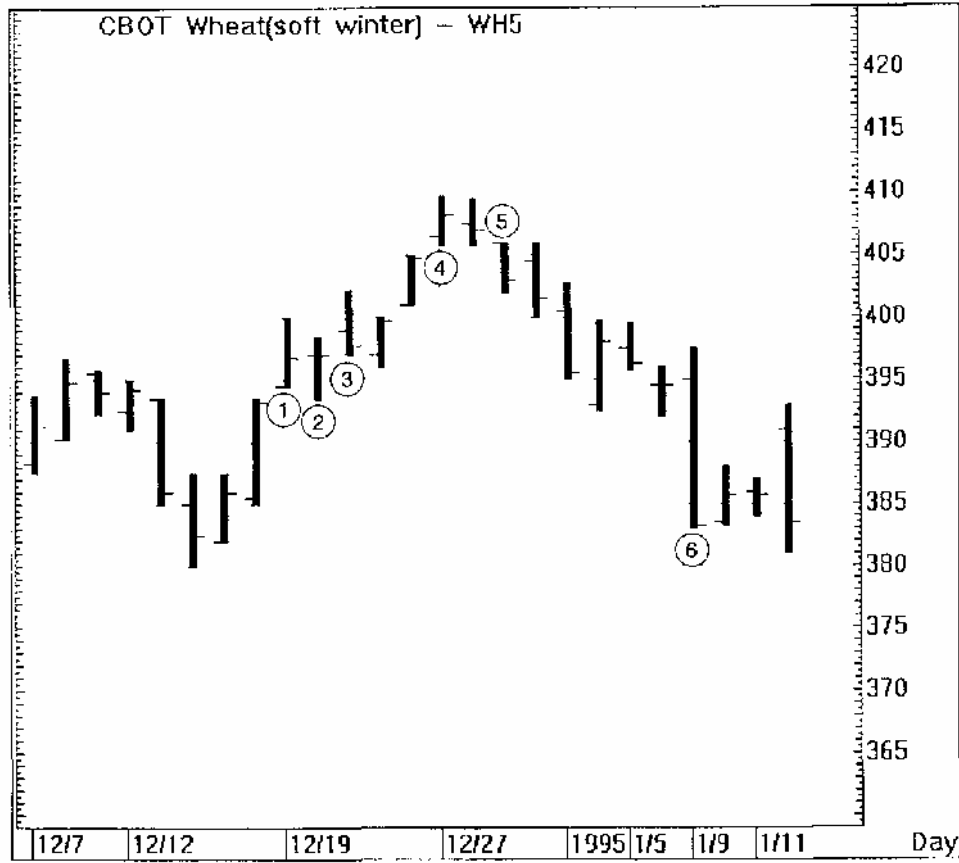
4.

.

5.

,

.

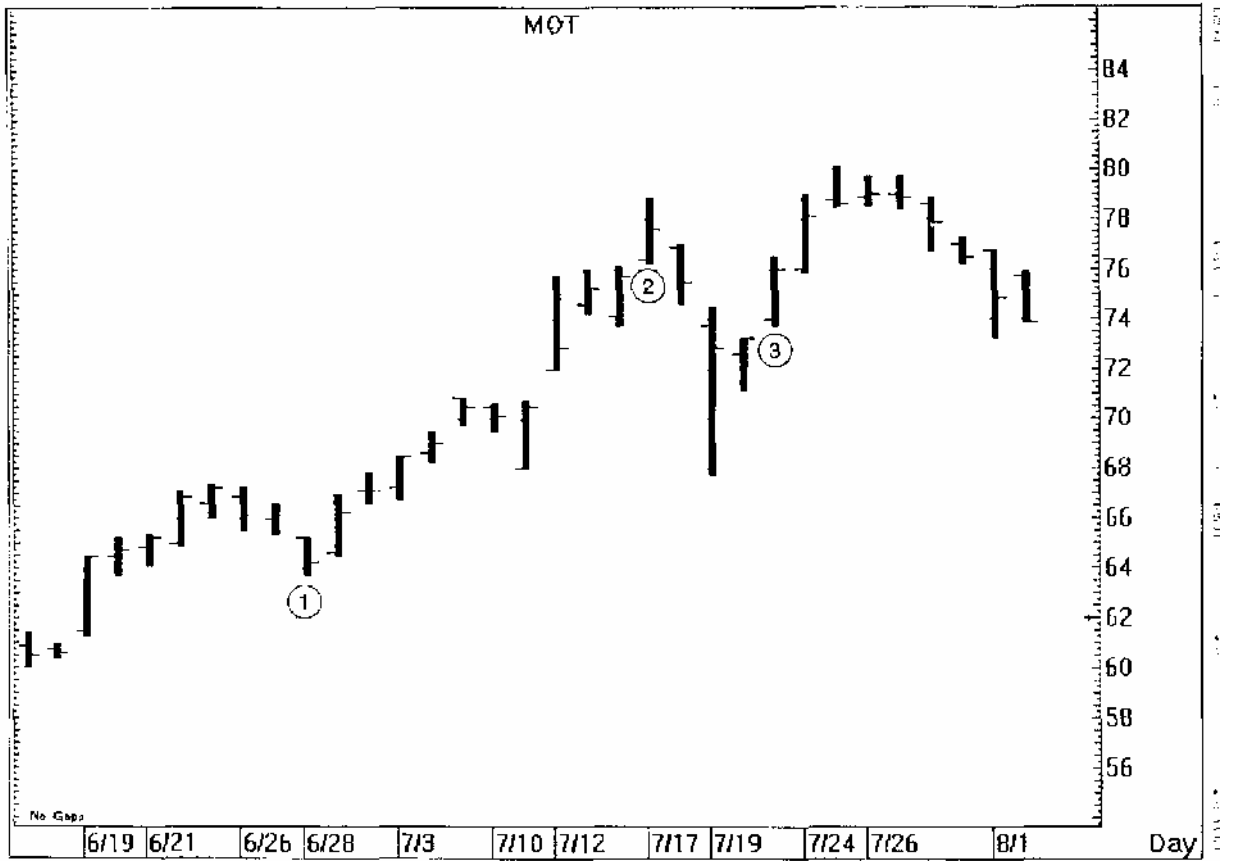


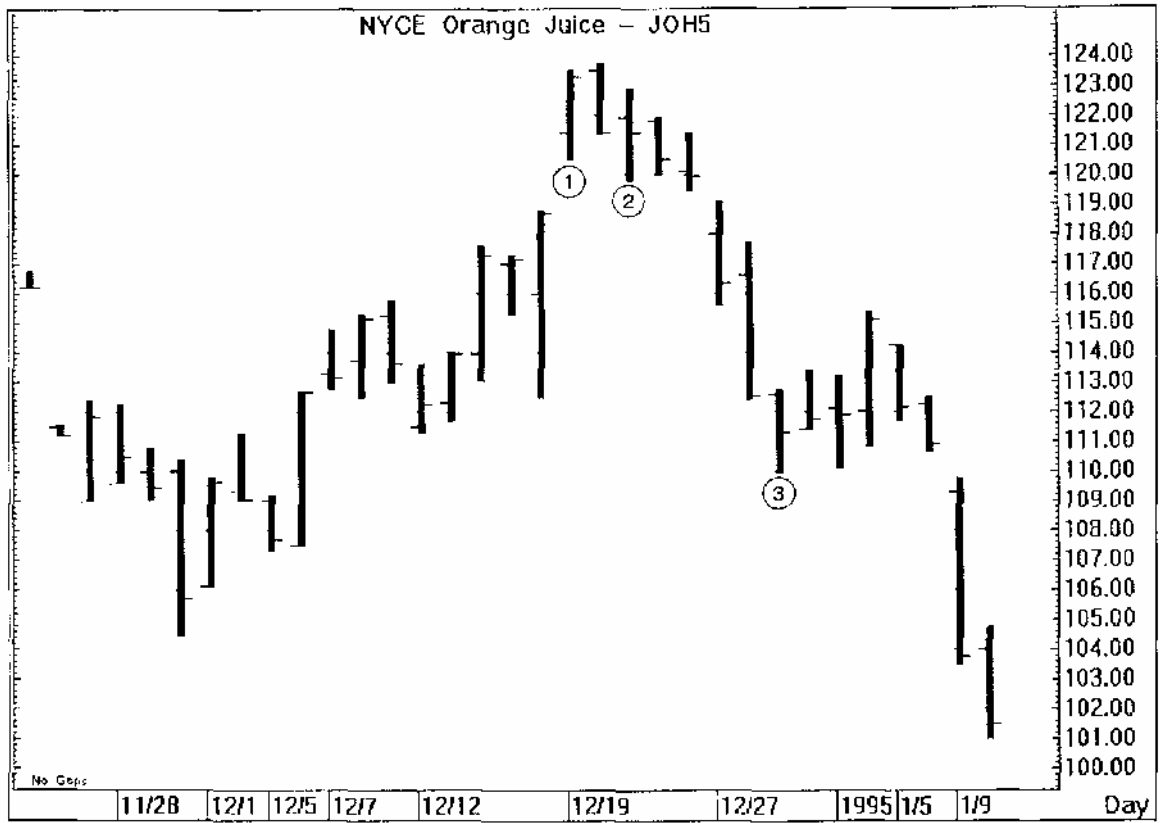
1. 394 1/4,
2. 400 1/4
- 3.
- 4.
5. 405 3/4, 410,
6. 20

Motorola.

- 1.
2. Motorola 76,
3. 19
- 19 6 1/2

13.2. Motorola (MOT) - 1995

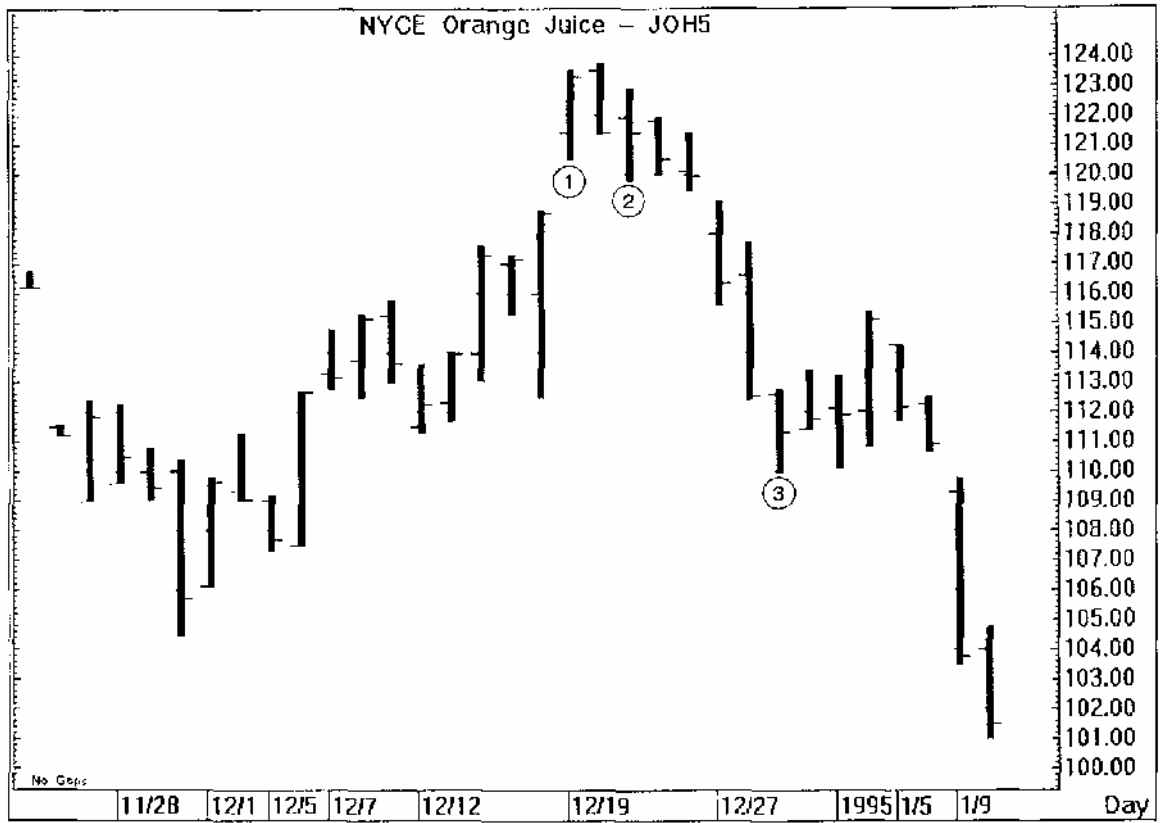




1. 19 1994 —

2. 123,80. 19

3. 10



1. 19 1994 —

2. 123,80. 19

3. 10

: , ?

: - 1

: « » (island reversals)?

: , ,

: , ,

: , ,

: ? 20 ?

: , ,

: 20 , , ,

: , ,

: , ,

14

pa

,

()

«

»

.(

«

-

!»)

(

),

;

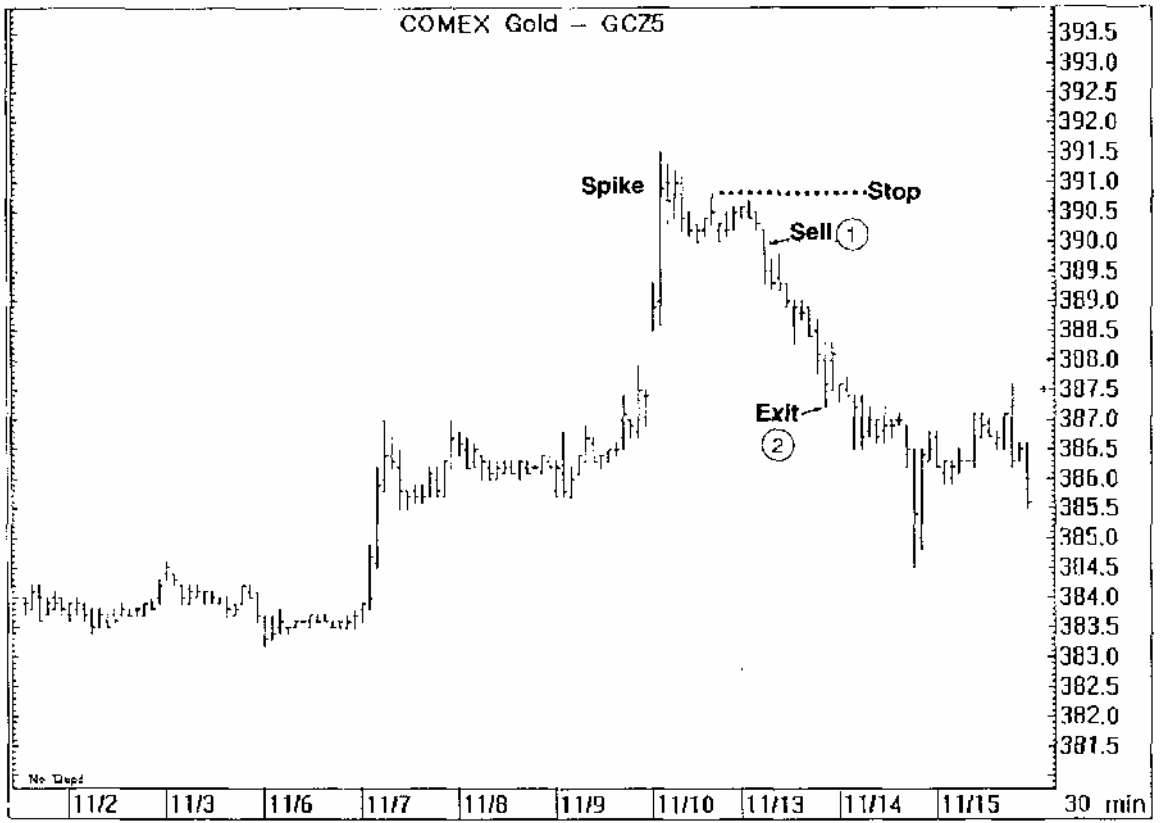
«

—

» («Cancel- Replace»).

/

!



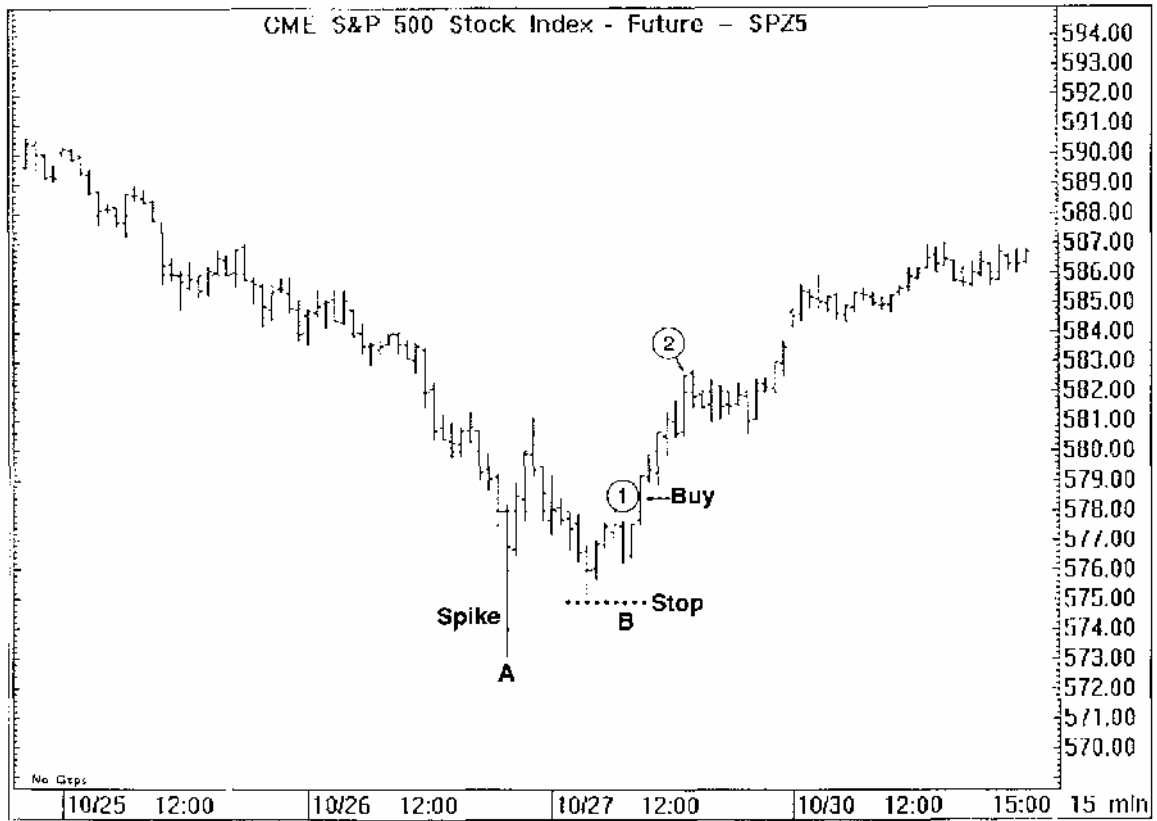
« » (spike and ledge).

« »

1,

2.

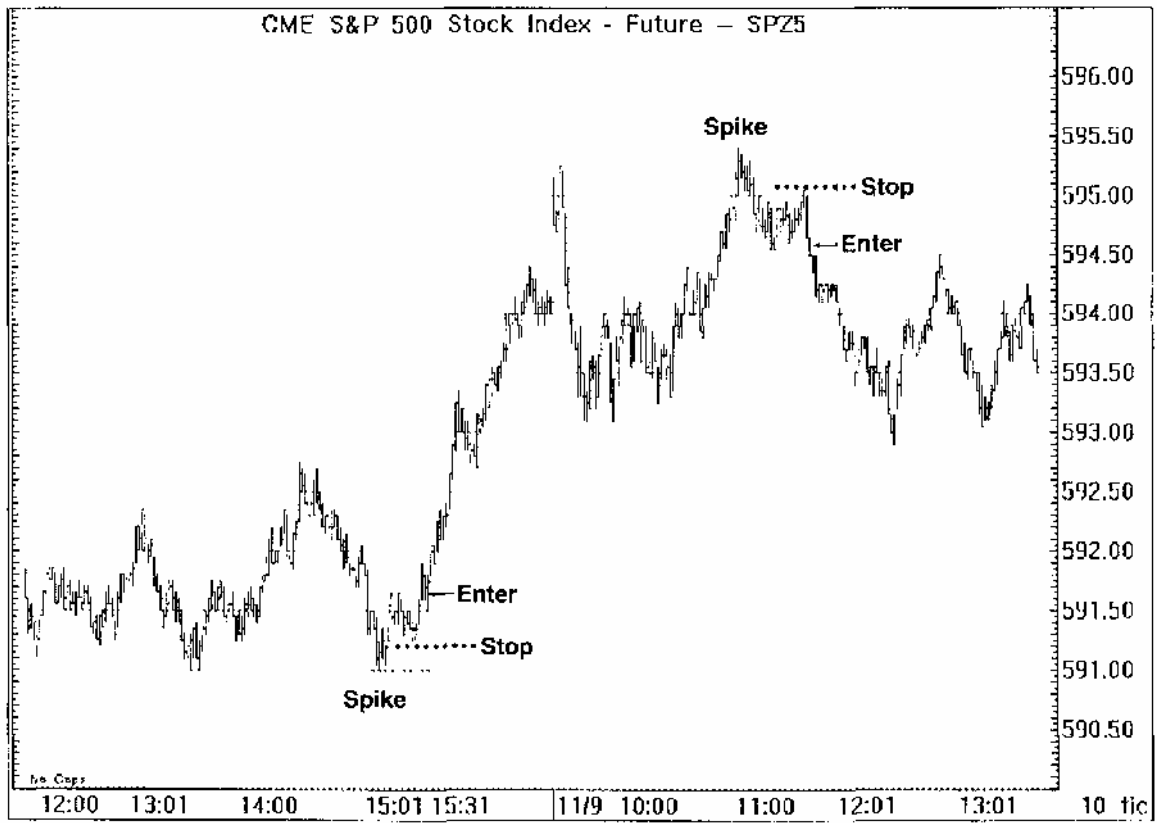
14.2. S&P — 15-



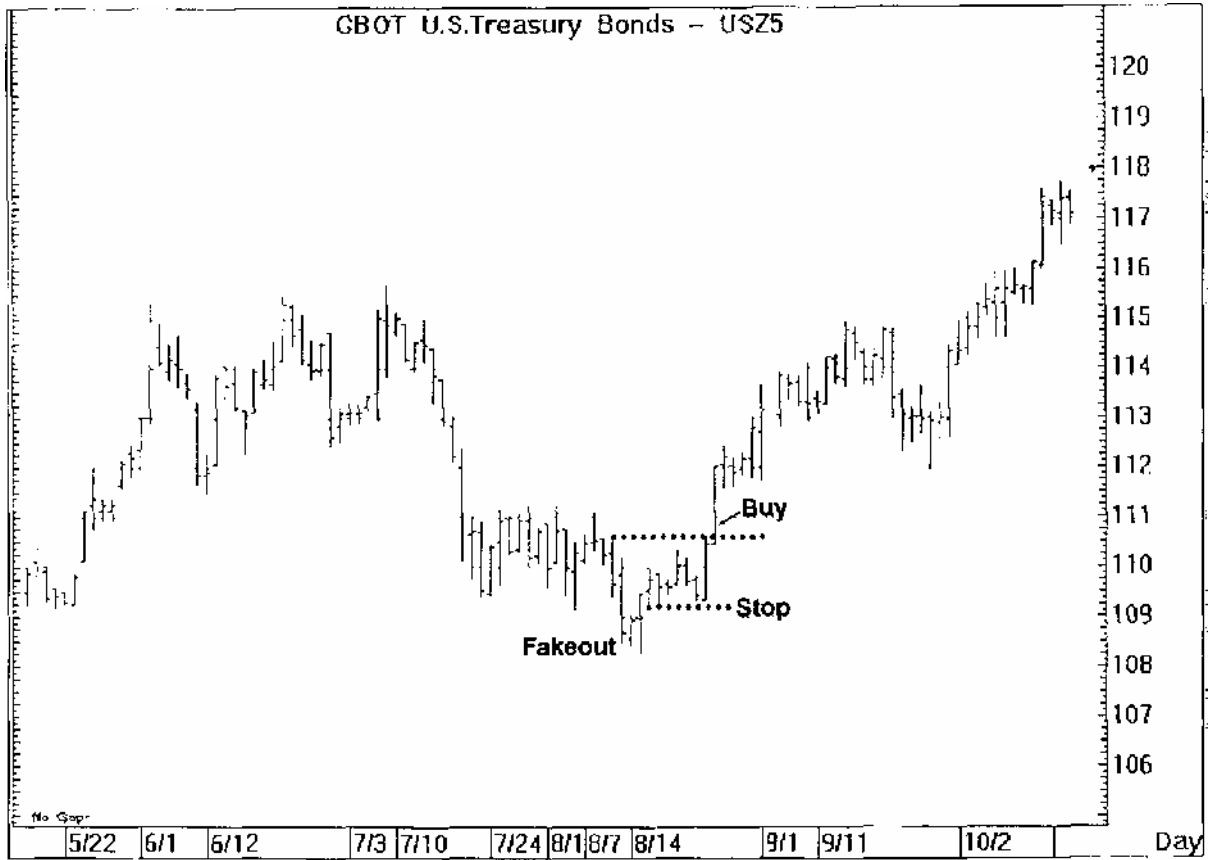
1

2

14.3. S&P - 10-

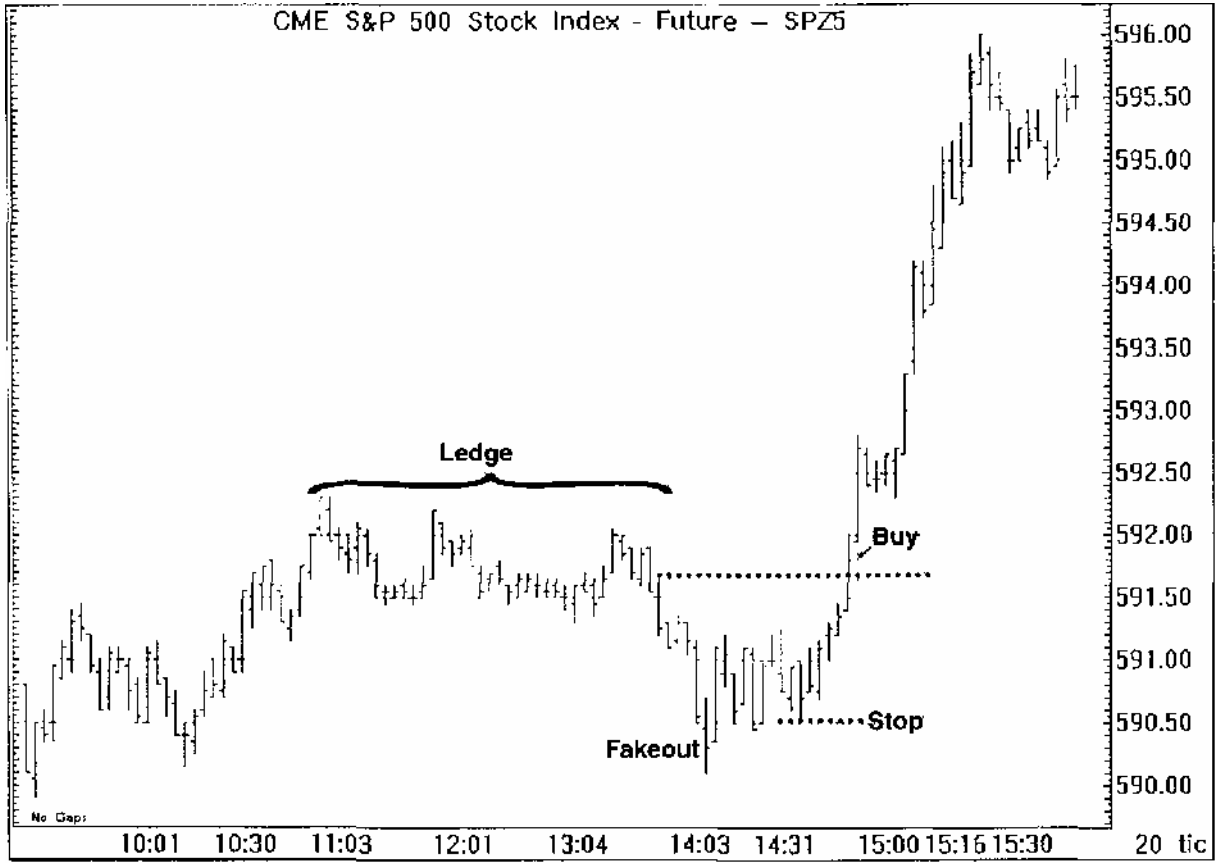


< >



« — » («Fakeout — Shakeout»),

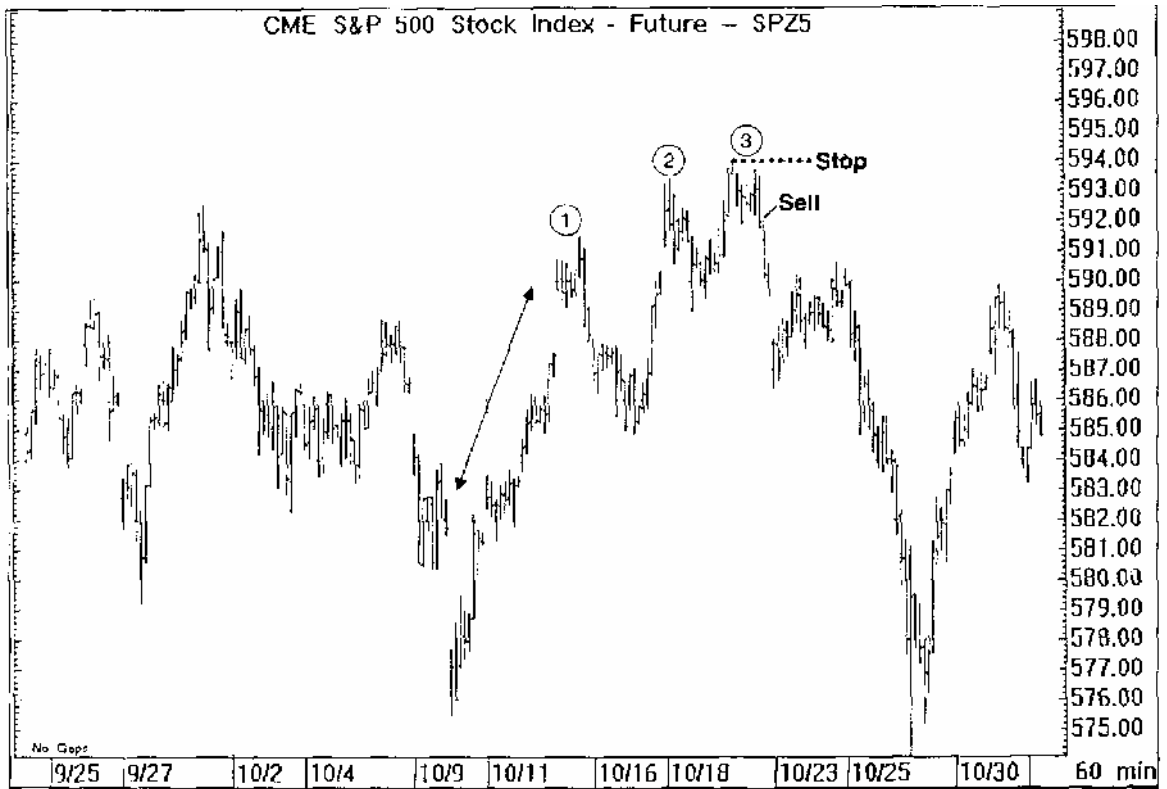
14.5. S&P - 20-



2:00).

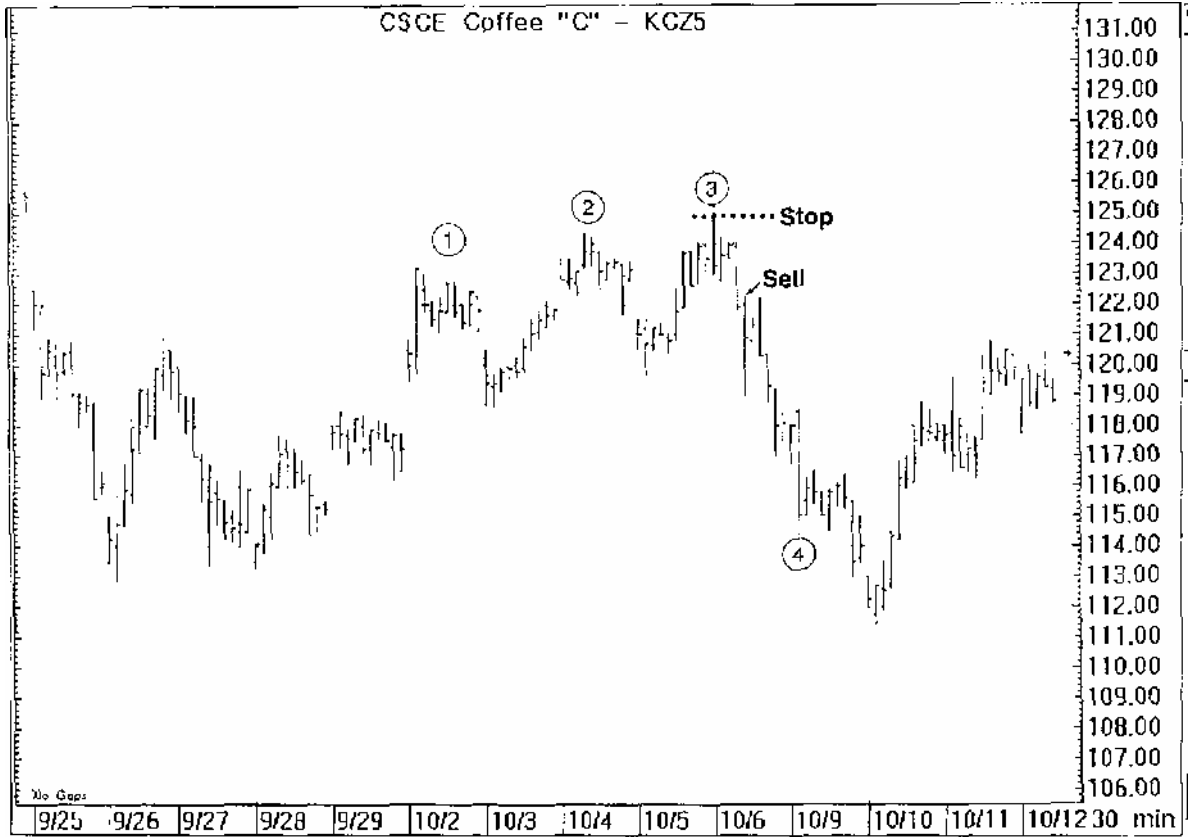
(11:00—

14.6. S&P - 60-



<<

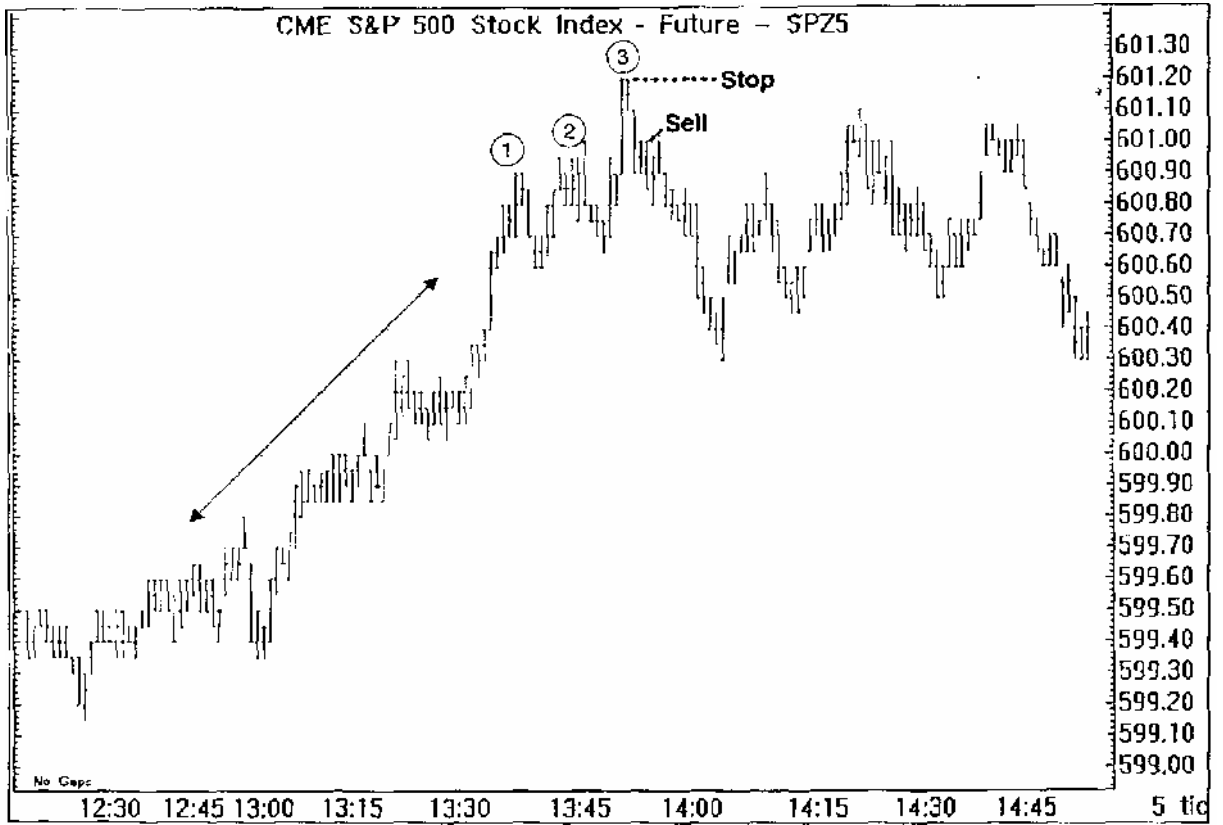
>>



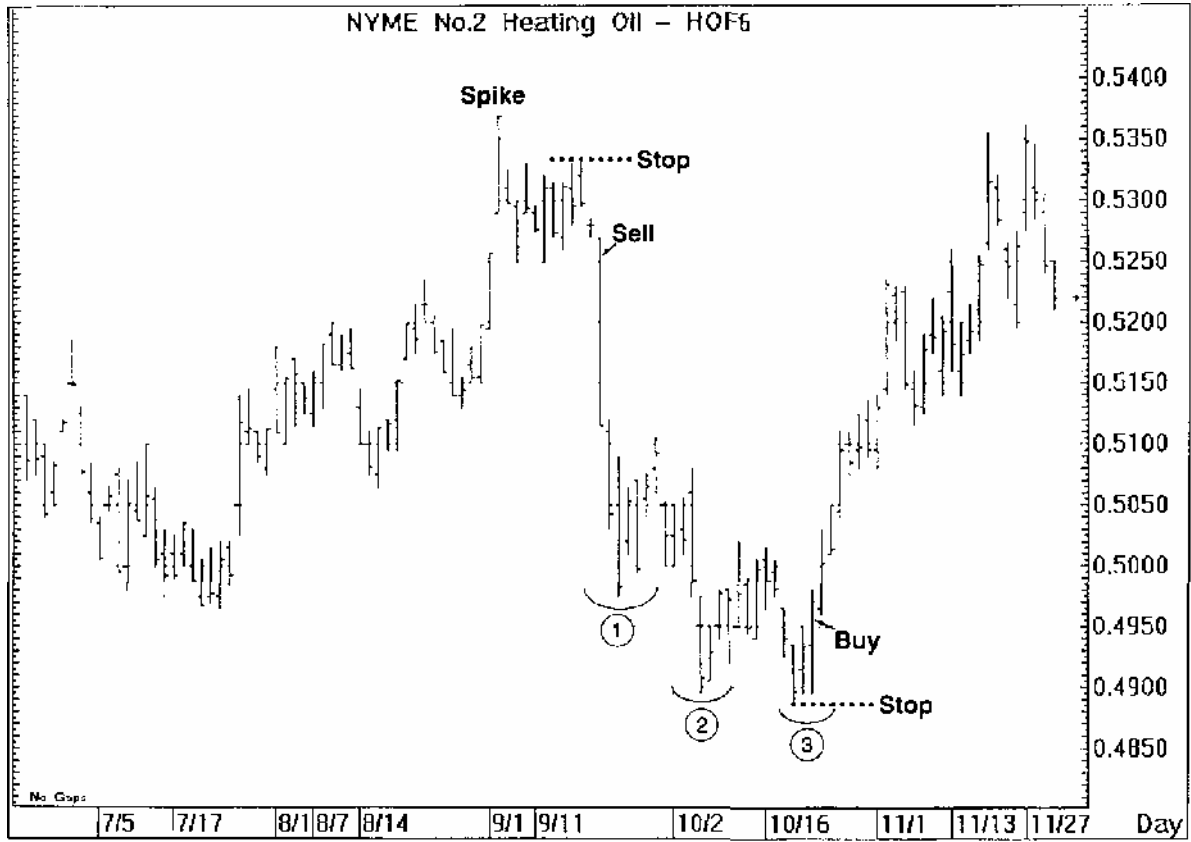
<< — >>

4.

14.8. S&P — 5-



« »



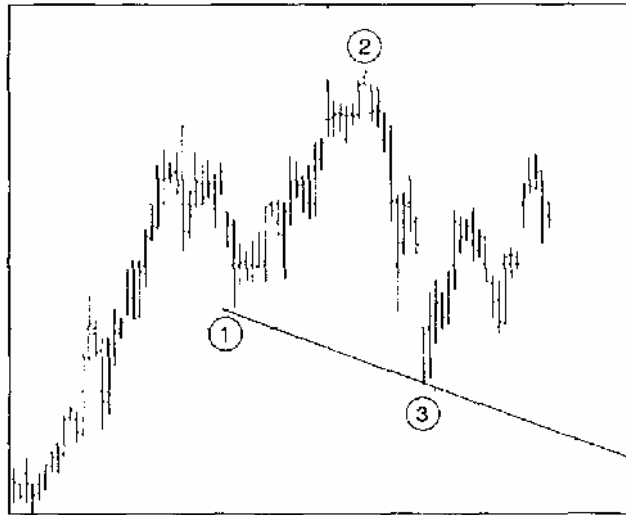
<< >>

>>

15

, () - ' ! 10
 , S&P. S&P.
 NYFE¹ 21 ,
 « » :
 .
 .
 . (,
 .)
 ,
 . (,
) .
 1. 2 —
 2. 3 —
 3. 1 — , 2 () . 3
 1. 4 — 3. 4 1
 4. 1 3. 5.
 5. (1—4).
 6. (Estimated Price at Arrival, EPA) —
 1 4, 5.
 : « 3 I.
 1, 2, 3 4. , 1. , 4
 1 1 . ,
 ,
 « » .
 15.1 « », .
 1, 2 3 . 2
 , 1 3 .
 , 5.

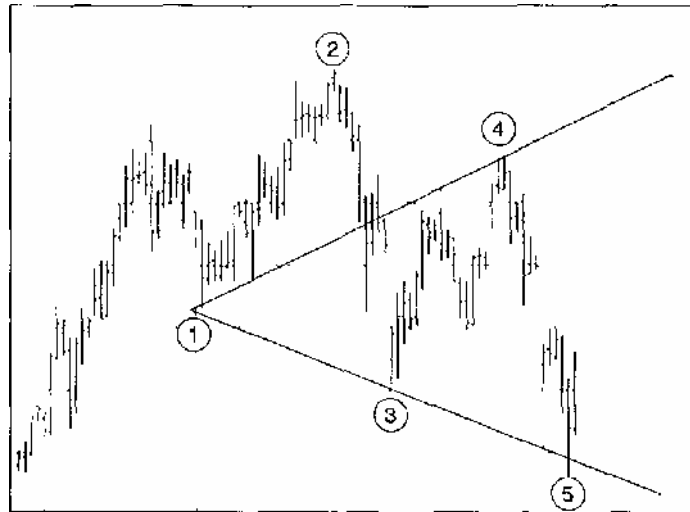
15.1. S&P — 60-



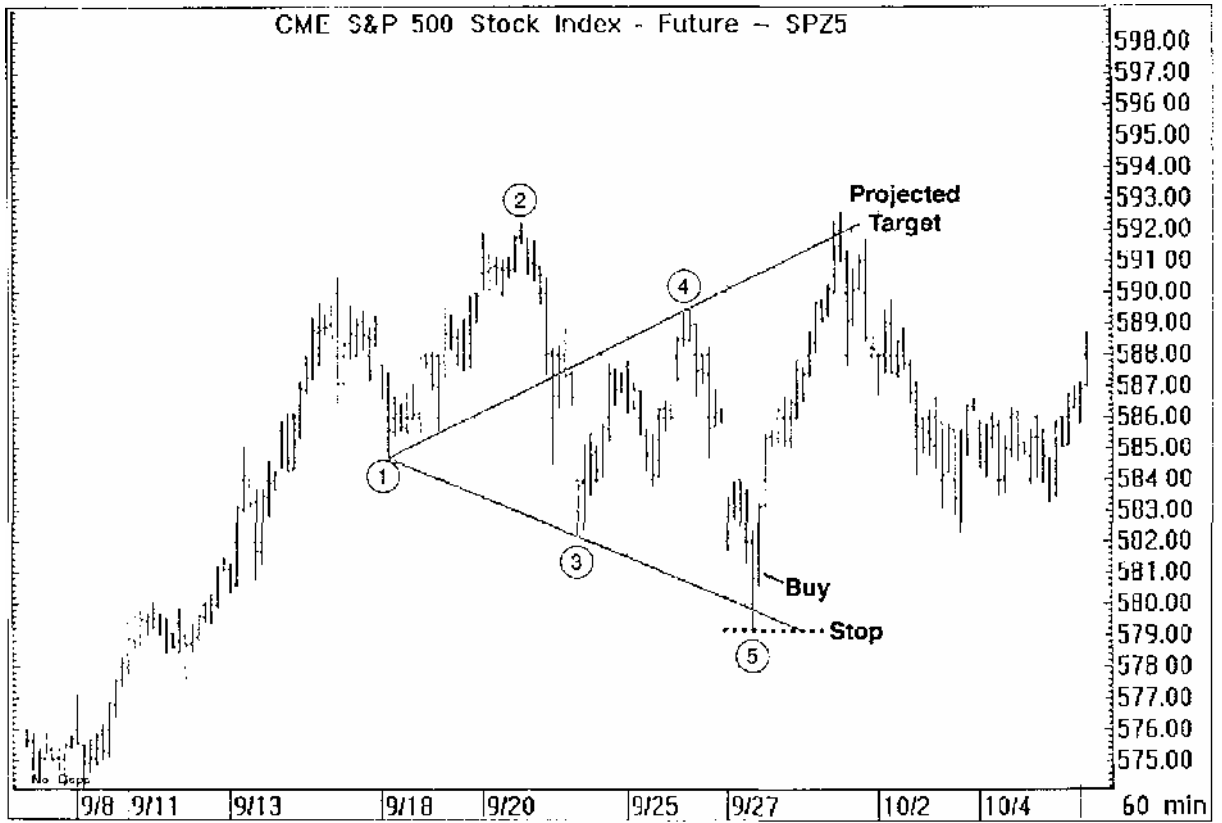
5

1 4,

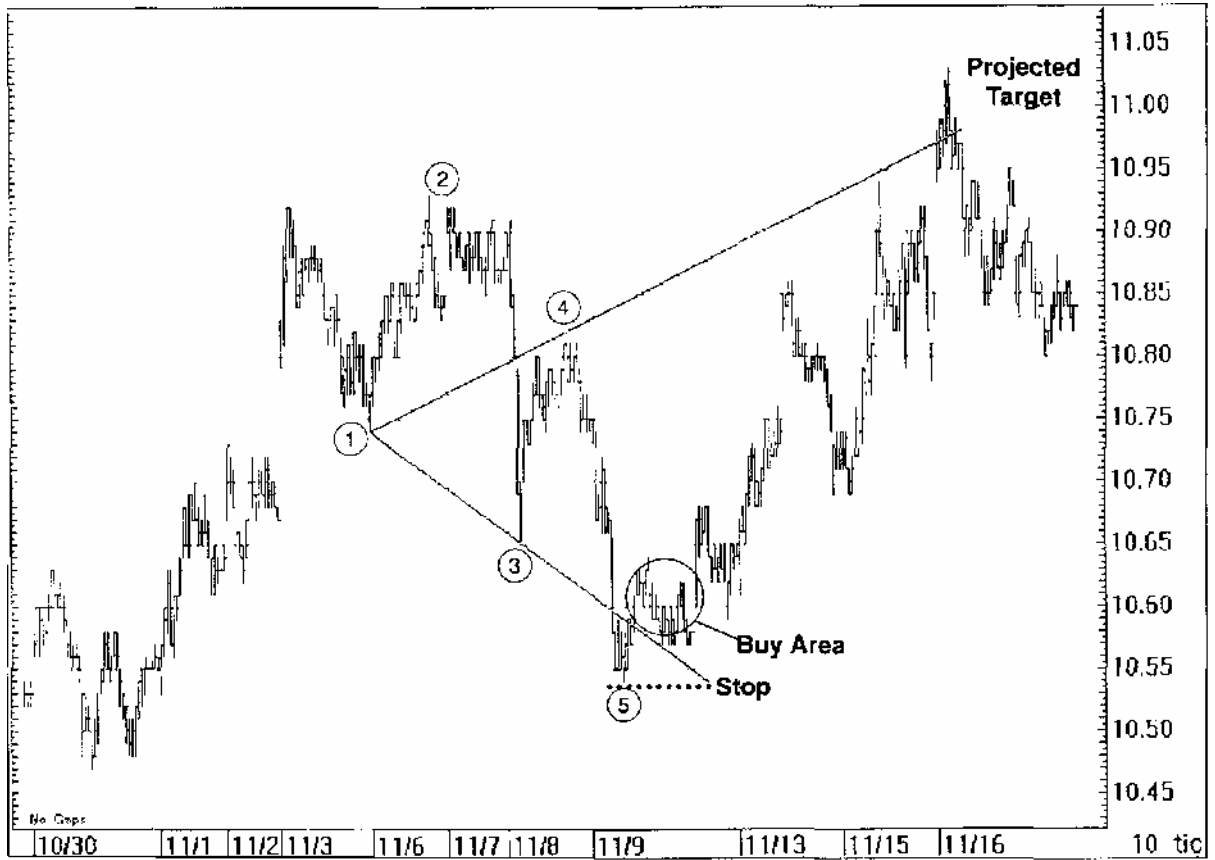
15.1 . S&P — 60-



15.2. S&P — 60-



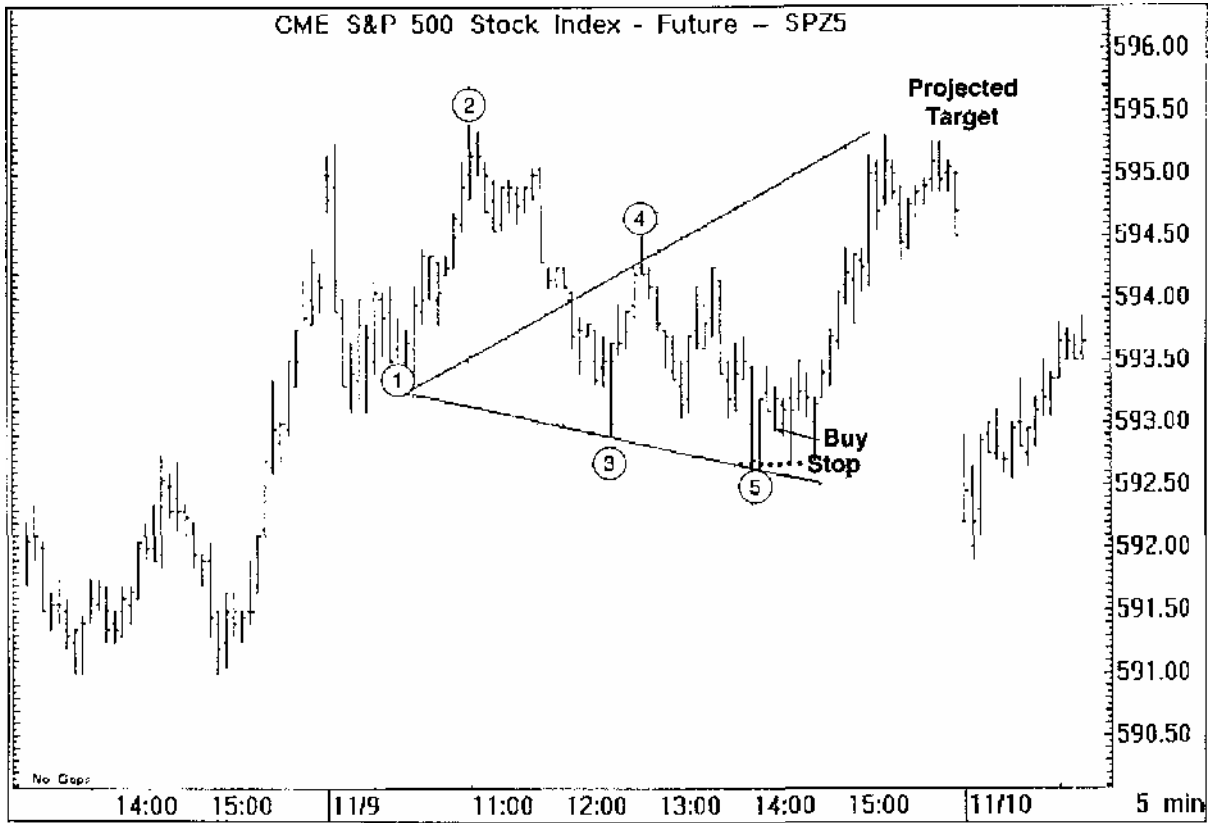
12 !



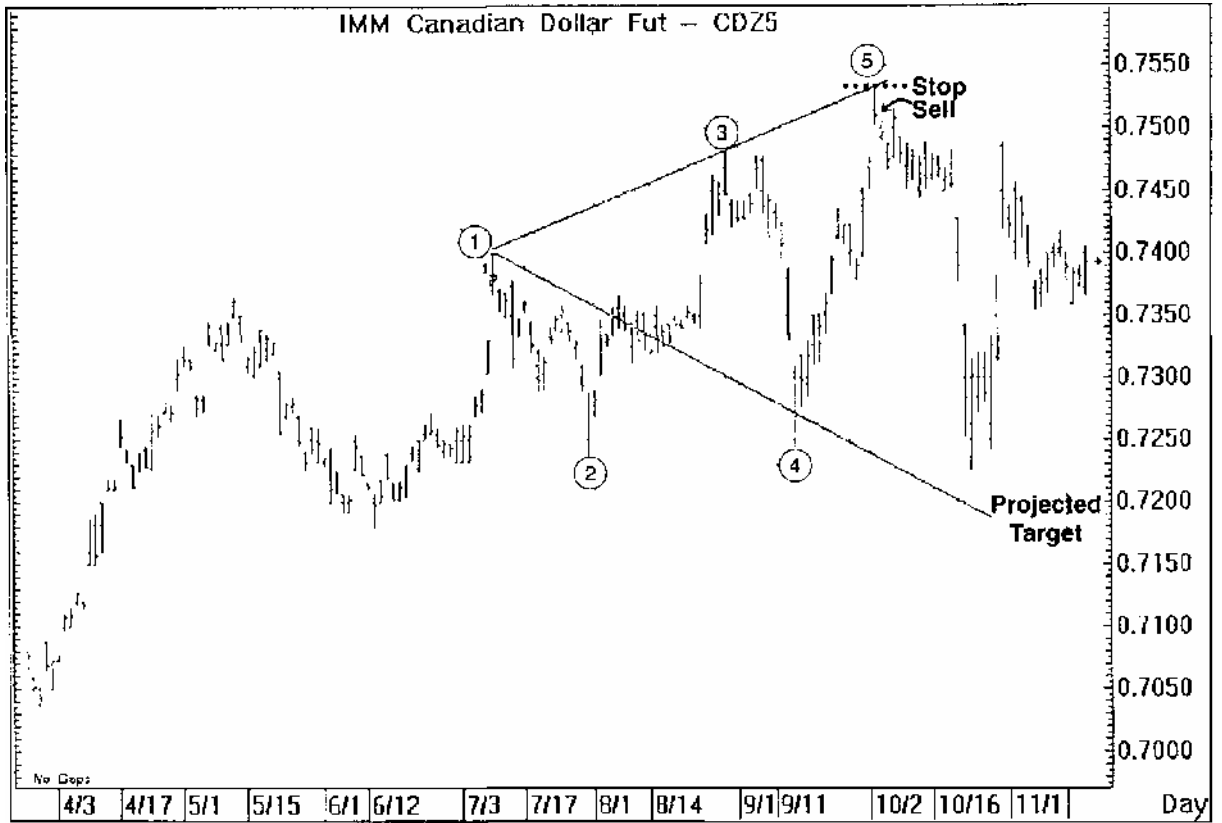
CSCE World Sugar #11 - SBH6

2 —
1. 1 3. 5 4
5.

15.4. S&P - 5-

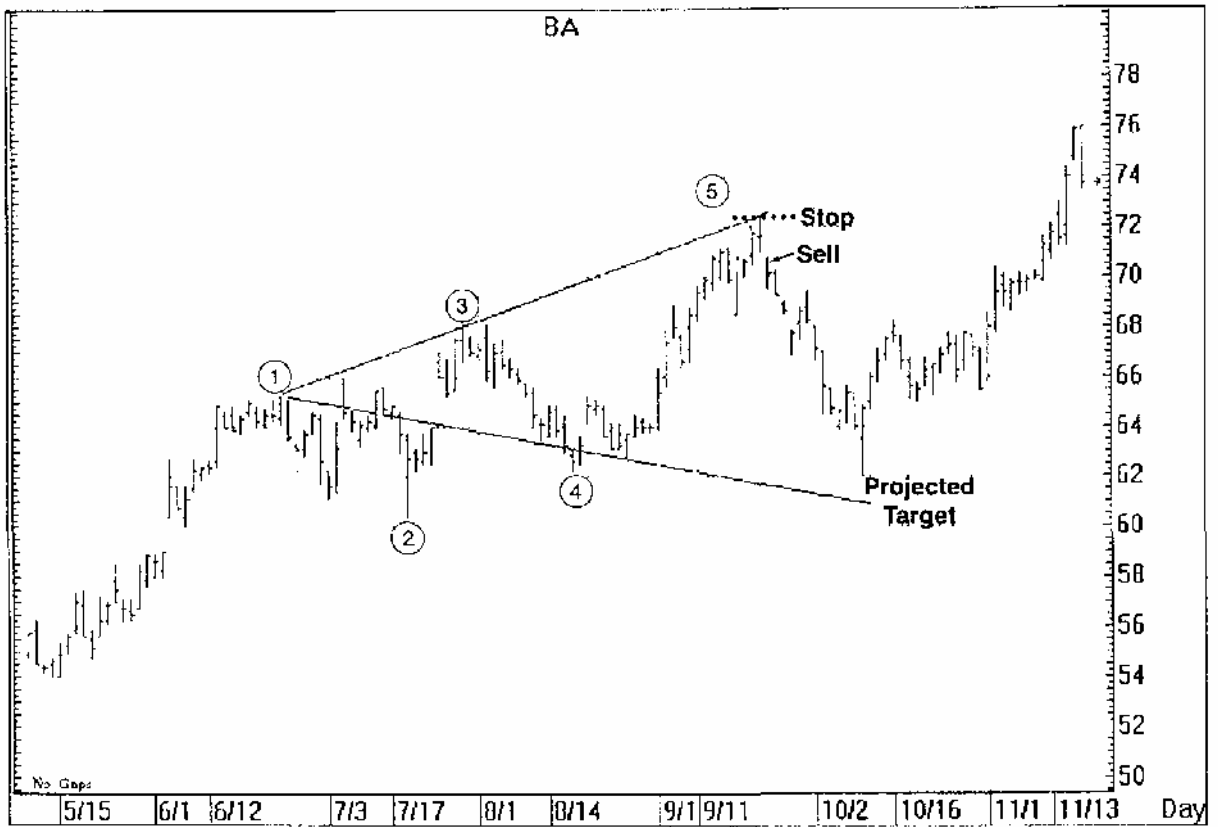


« S&P »
1 3,
5,
!



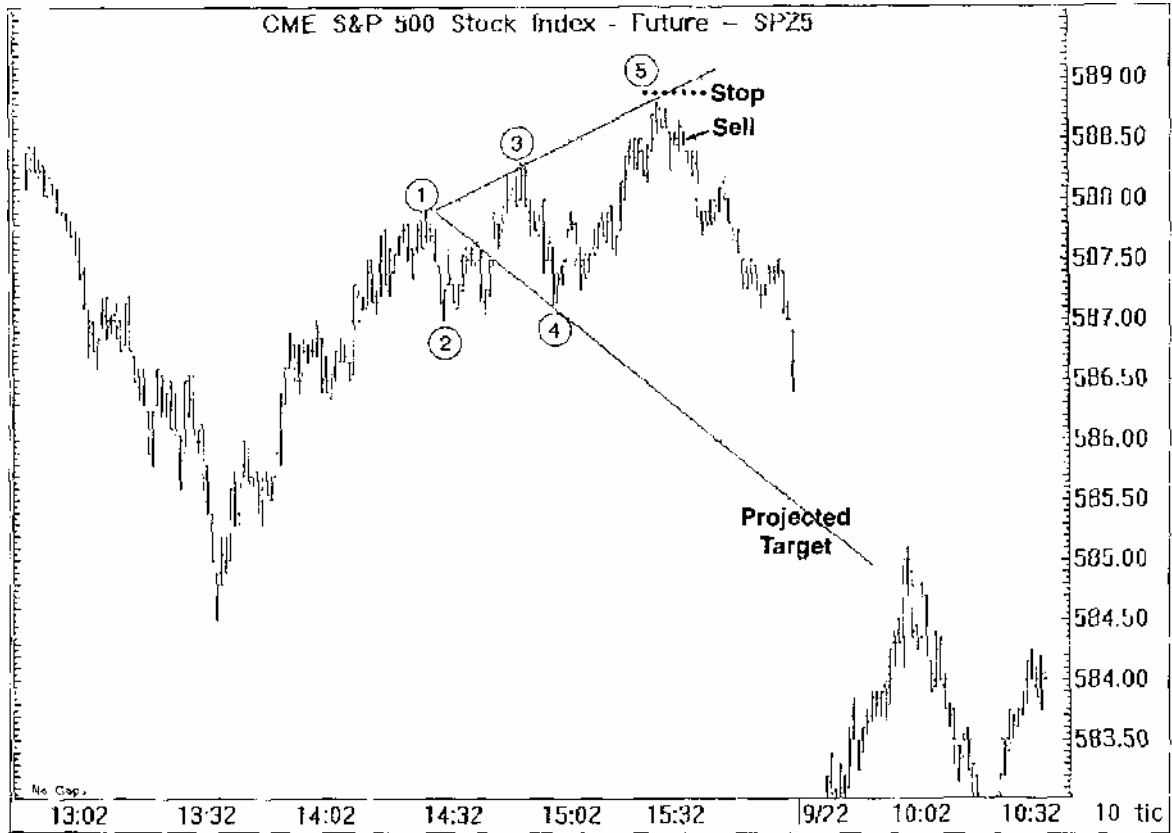
2 — 1 3.) 2 .(2 ,
, , 5 ! -
, « » 1)

15.6. Boeing (BA) - 1995



I. , 1 3, 2 — 5, 4
! , 10

15.7. SPZ — 10-



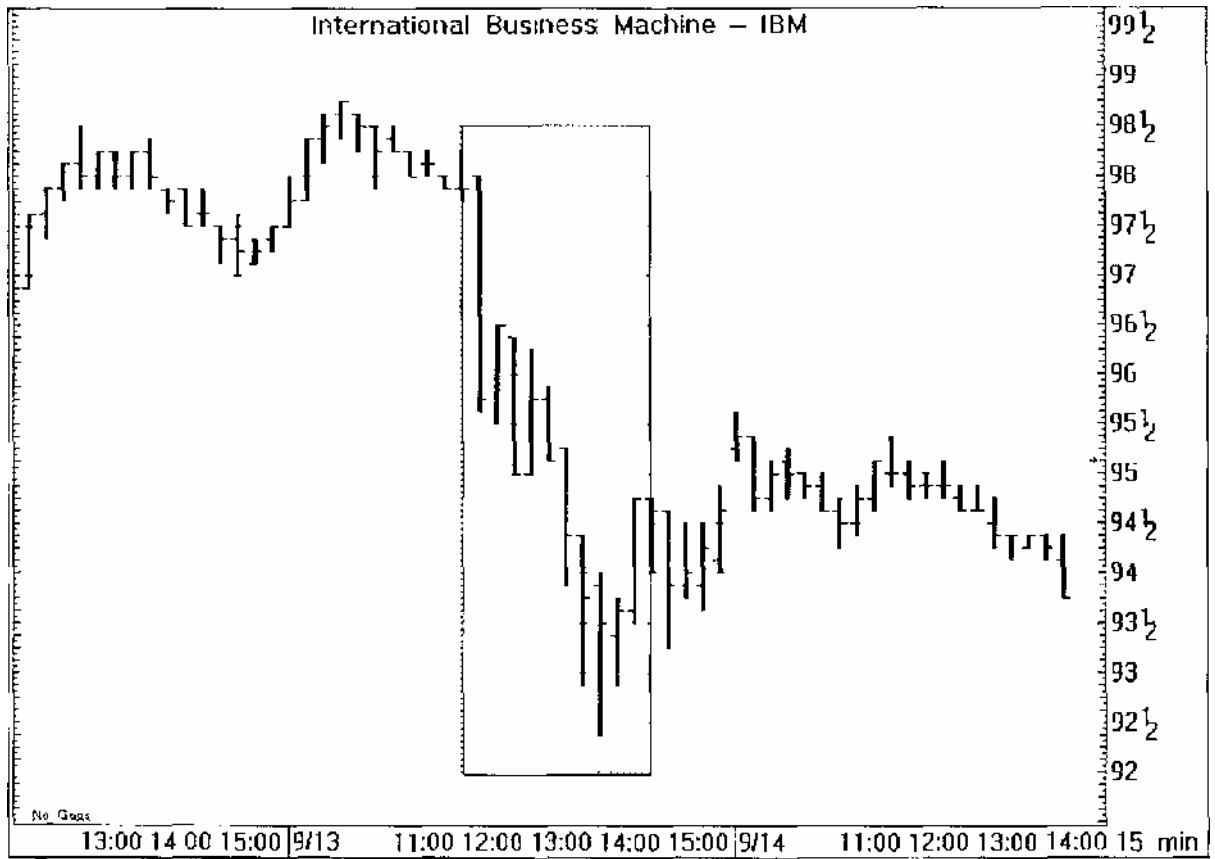
<< >> << >> 14.7 14.8. 14

60- S&P,

5,

16

ESPEN
: « , !»
? , , , , 1994 .
? , , , , .
? , , ? ?
? !
S&P 500 1,5
: « !»
10 - 30 .
13 1995 S&P
IBM, 1995 ,
IBM , S&P 2 1/2 .
S&P : « IBM, !»
!





100

1995

(12)

17

1.

8:30

2.

3.

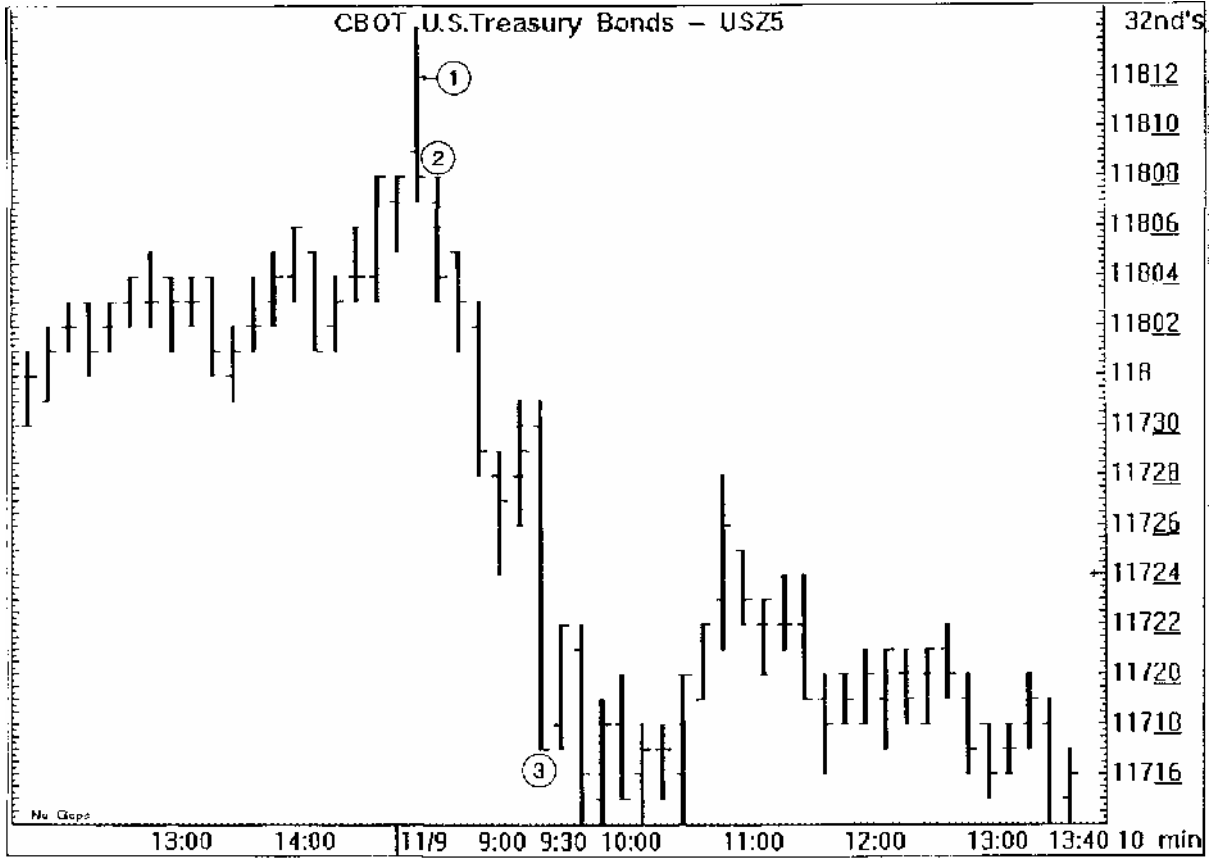
4.

5.

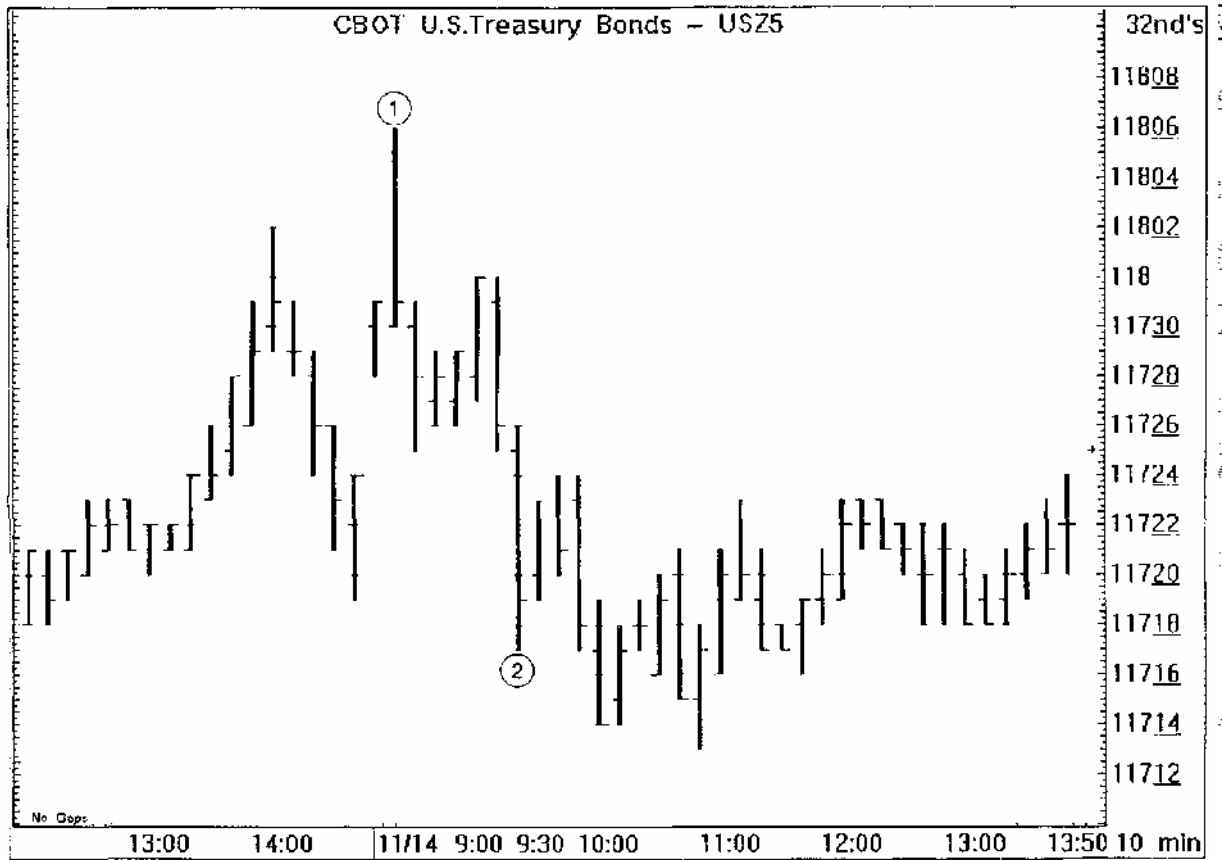
10—20

5—10

1995



- 1. , , 0,1
- 2. , , 118—08.
118—06, .
- 3. , , 118—14
117—17. ,

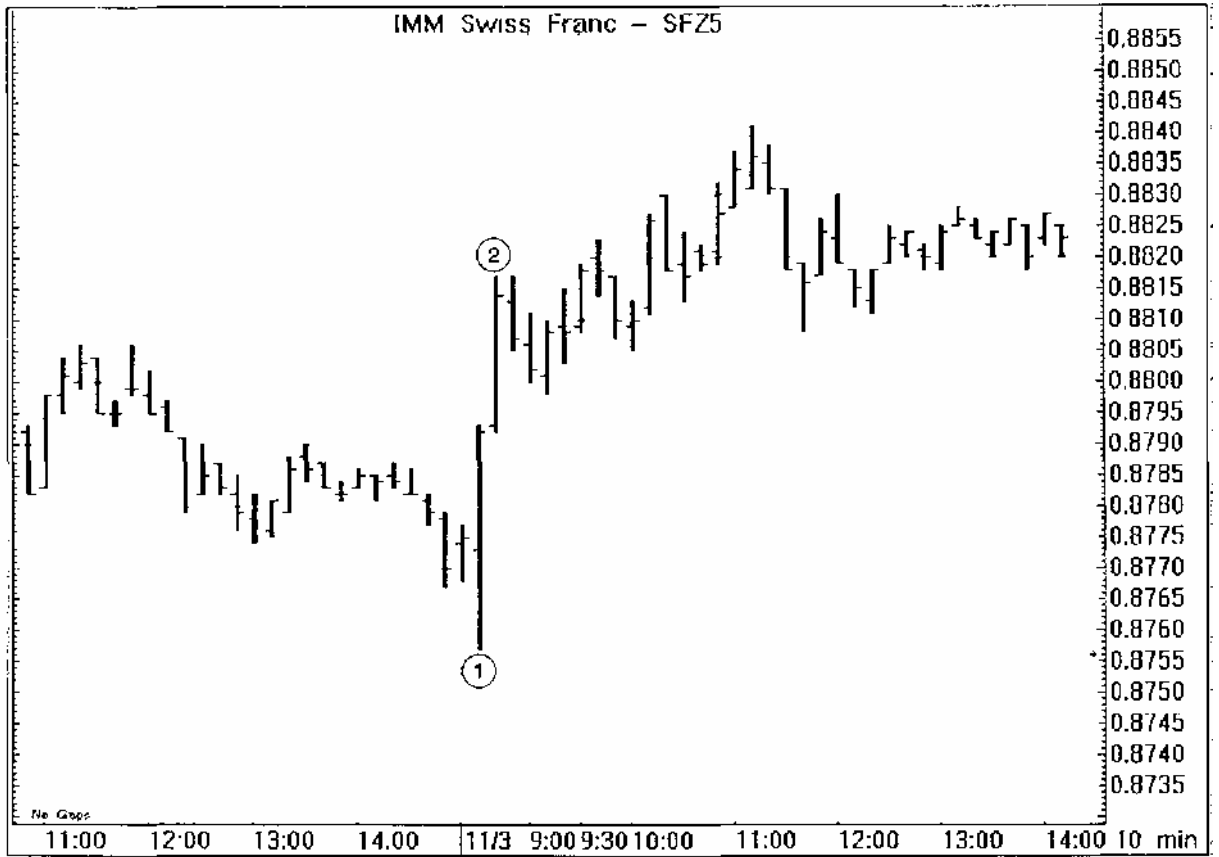


1.

118—00,
JIS—07,

2.

117—17.



1. 3 1995

87,75,

87,57

2.

20

40

:

?

:

:

:

:

:

?

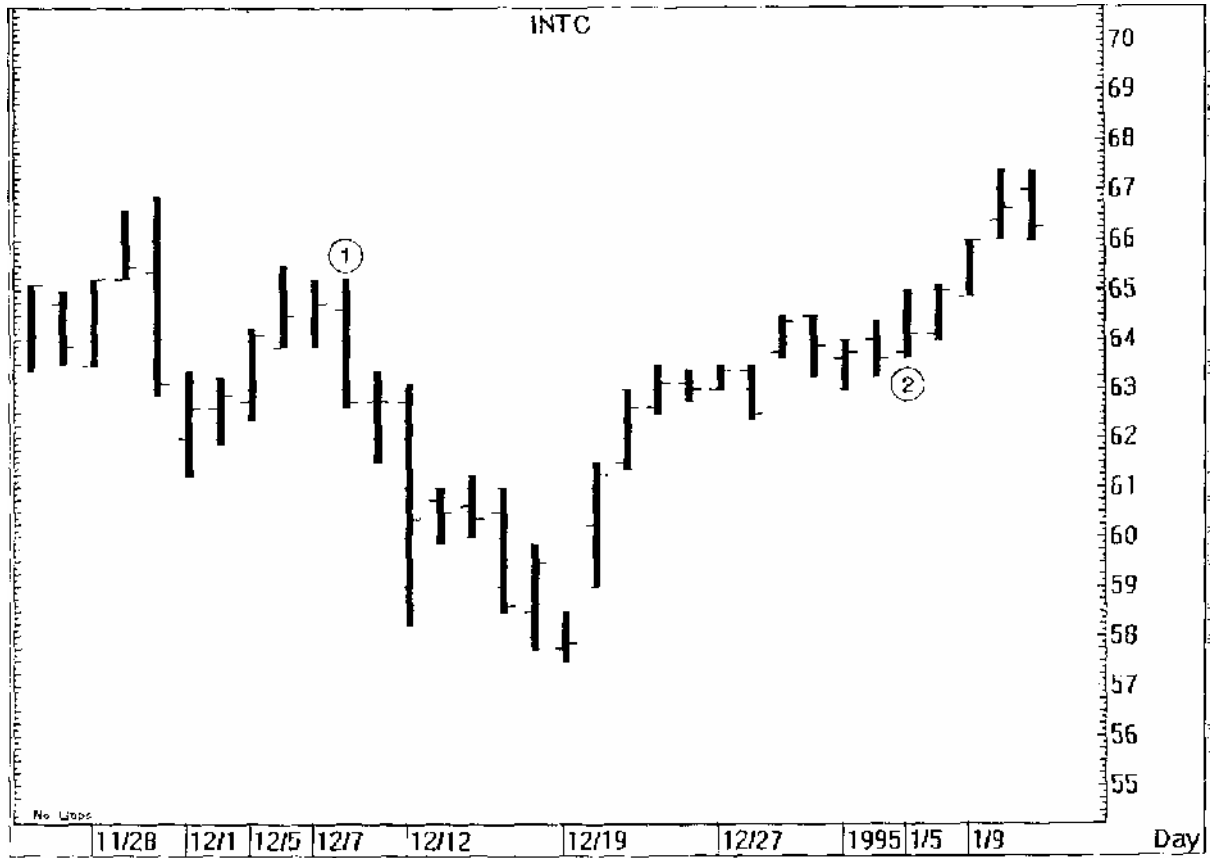
:

!»
:
.
:
:
:
!
!

18

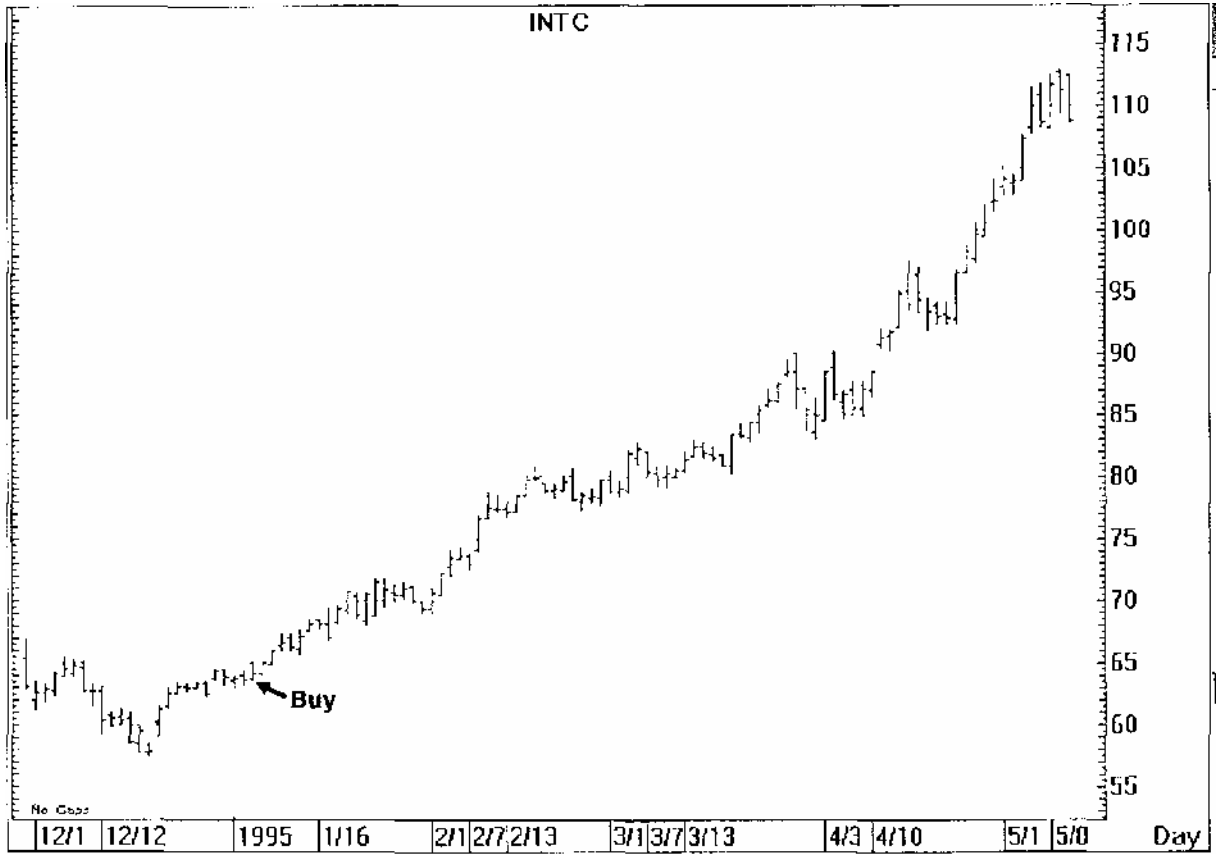
- () , —) . () .
1. , . () .
 2.) .
 3. -
 4. , .
- 17, , 20, 17.

18.1. Intel (INTC) - 1994



8 1994 Intel « »
 (,)
 65, 10
 65.
 5 Intel
 57 1/2, INTC.

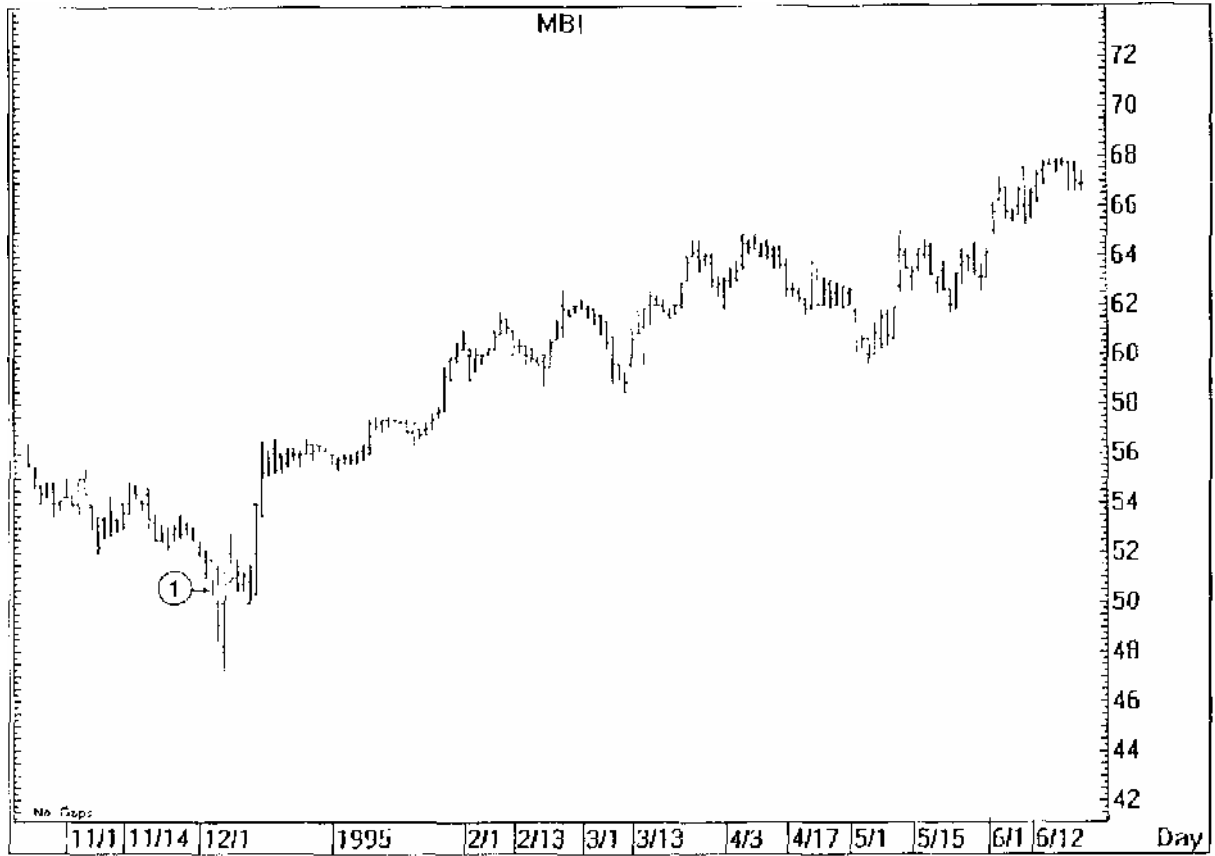
18.2. Intel (LNTC) - 1995



80
5 1 94
1994
6 1/2 Intel
, MBIA, 100
, MBIA 10
, MBIA
(1)
47 1/4, , MBIA
20 40

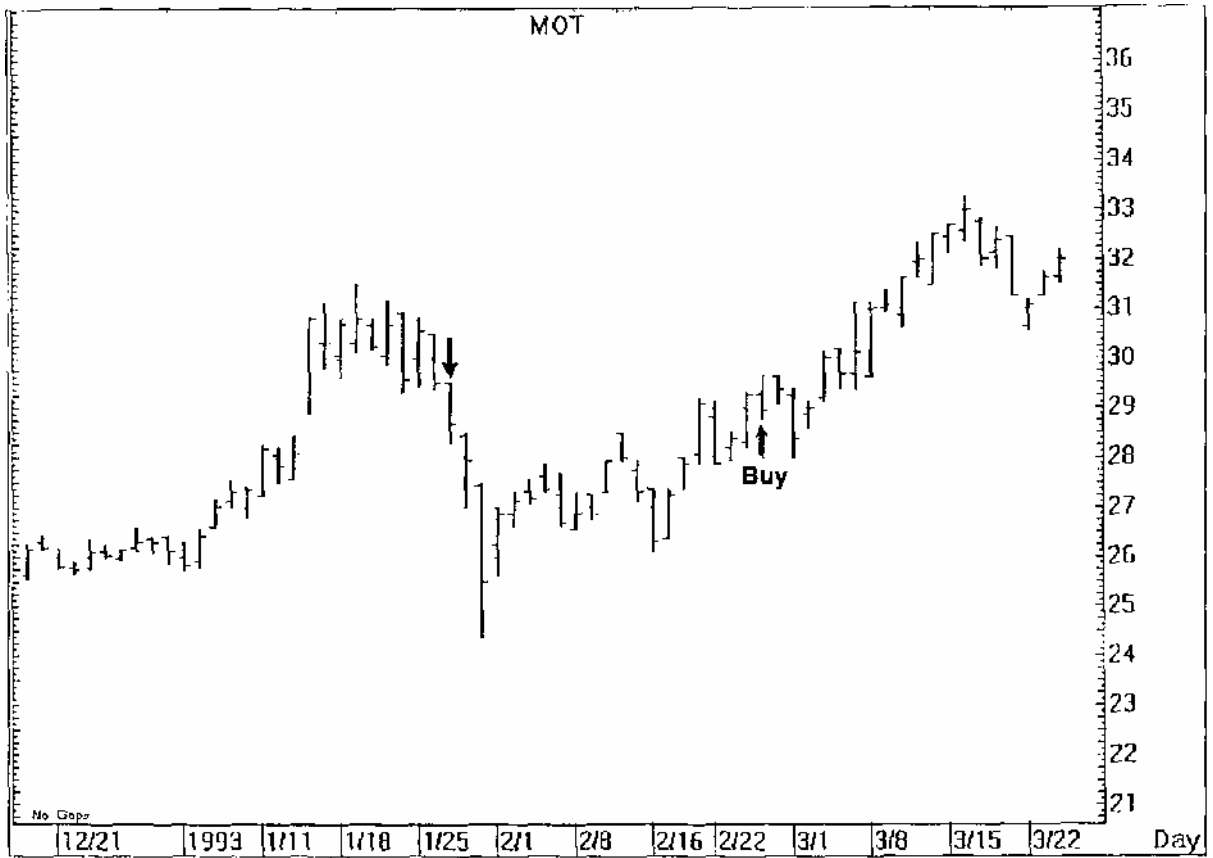
The Wall Street Journal

18.3. MBIA (MBI).



, ,
!
!
: << , >>
(,)

18.4. Motorola (MOT) - 1993



1993

Motorola 15

19

Patterns and Opening Range Breakout).

» (Day Trading with Short-Term Price

NR4

, ID/NR4,

ID/NR4.

TD/NR4,

ID/NR4



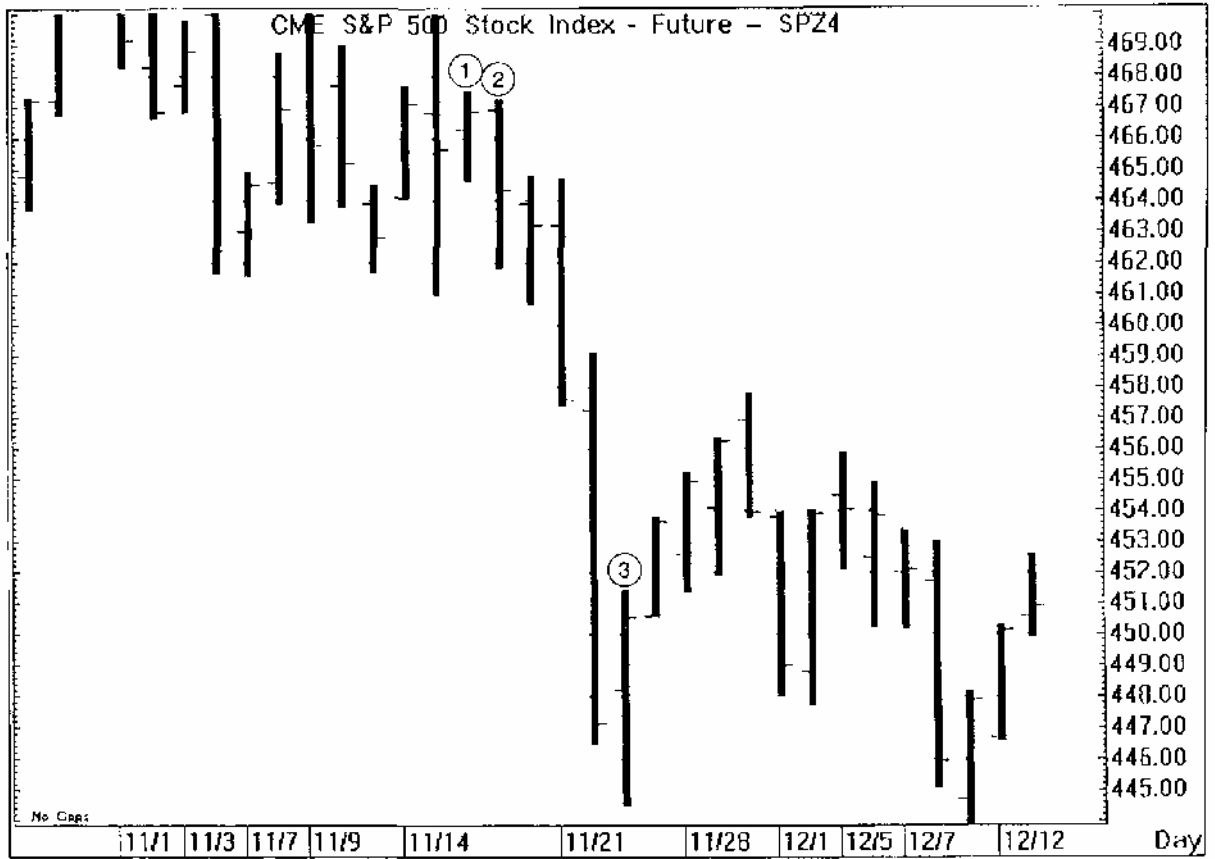
1. ID/NR4.

2. ID/NR4.

3. ID/NR4.

4. ()

5. ()

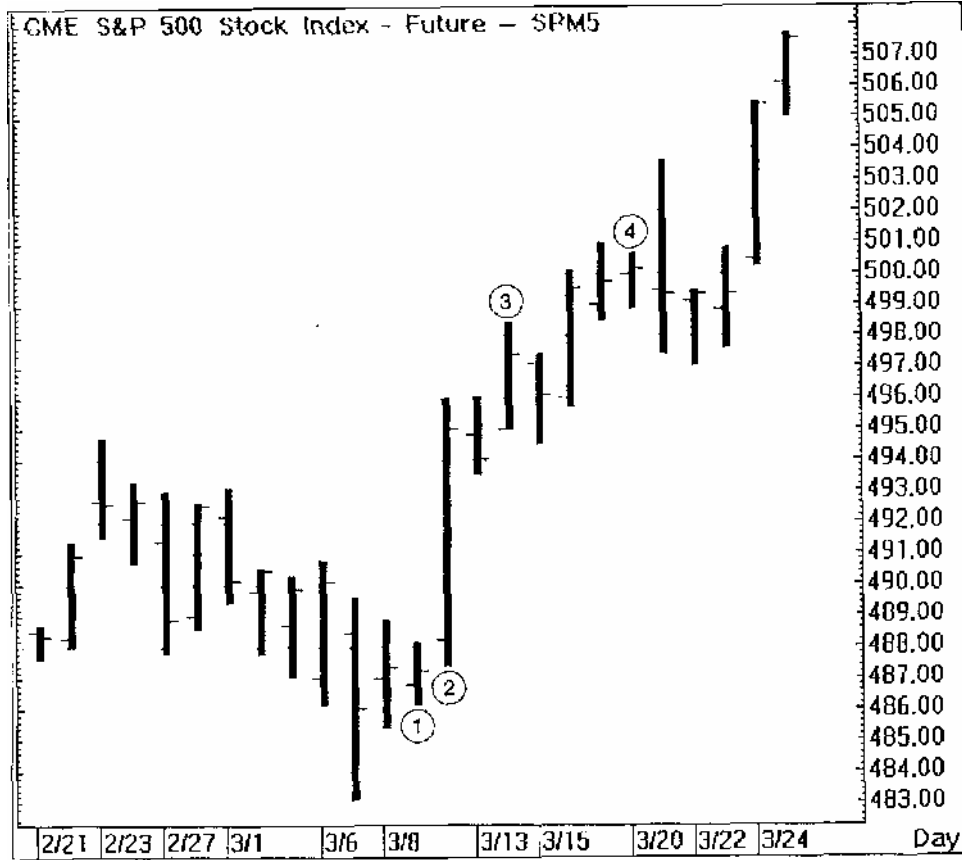


1. ID/NR4.

2.

3. (18 !),

19.2. S&P 500 - 1995



1. 9 1995 S&P

2. 488,20 ()
 488,50. , 486,10 ()
), 495,00, 6,50

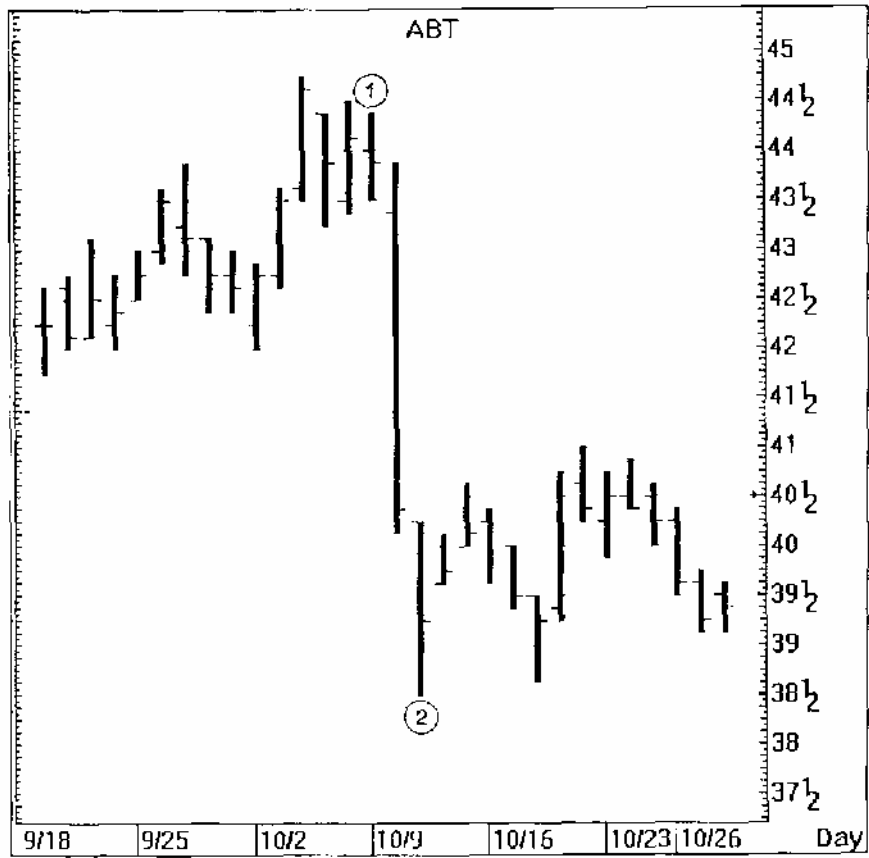
3. 10 , 20 ID/NR4.
 (, 10 1995
 .)

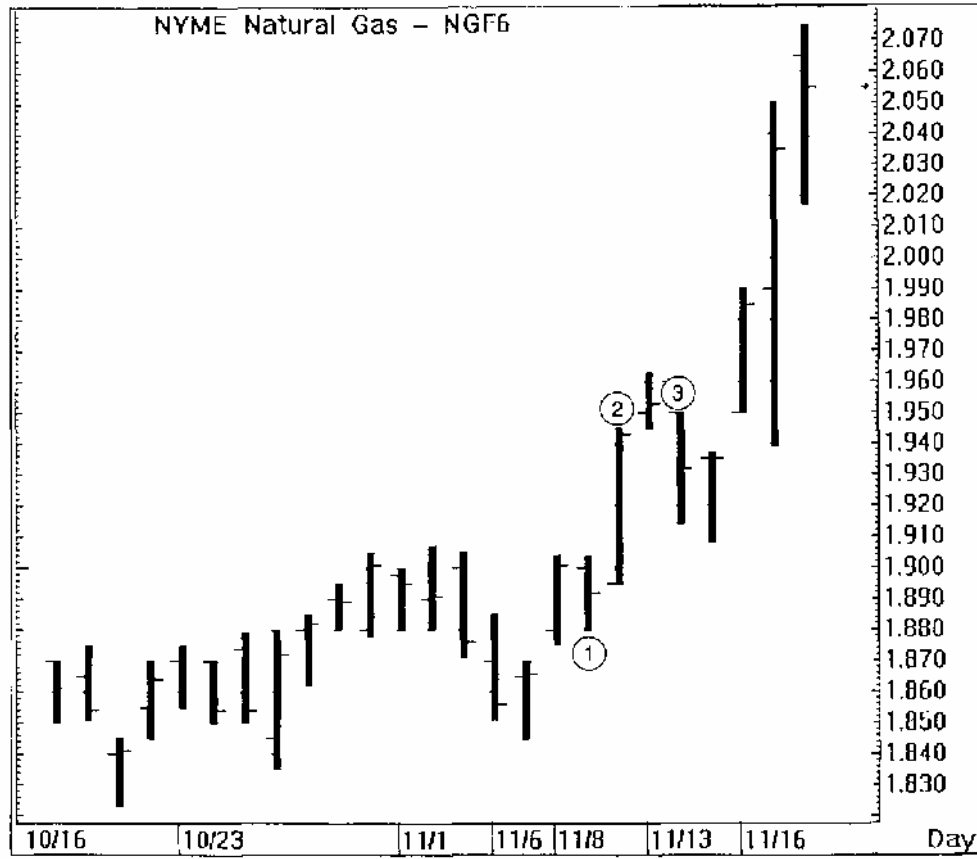
19.3. Abbot (ABT) - 1995

- 1.
- 2.

NR4

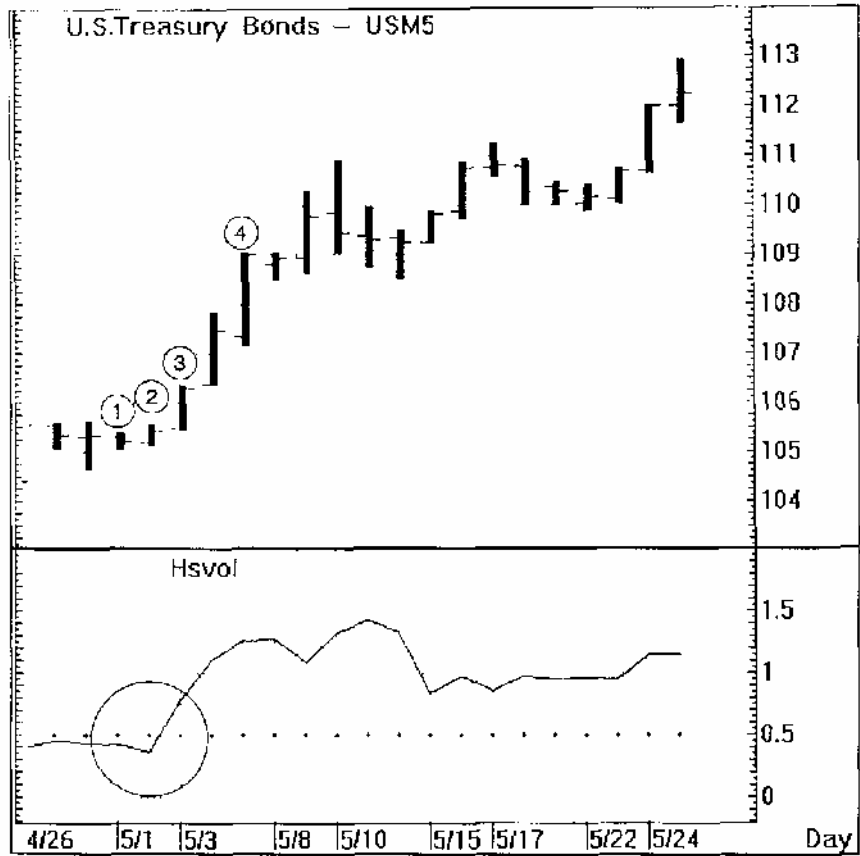
10



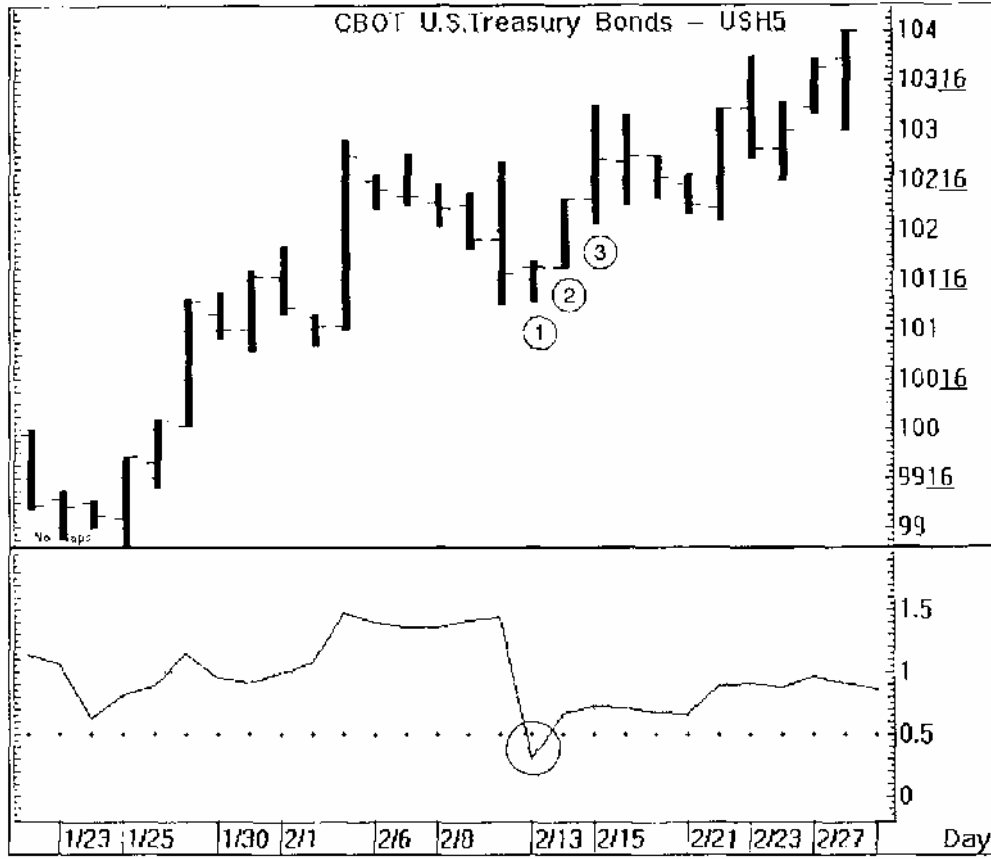


- 1. NR4.
- 2.
- 3.

:
:
« »!
:
()
« » « »
:
:
:



- 1. 1 1995 : , NR4
- 2. 6/100 50 . 105—13,
- 3. ,
- 4. « »



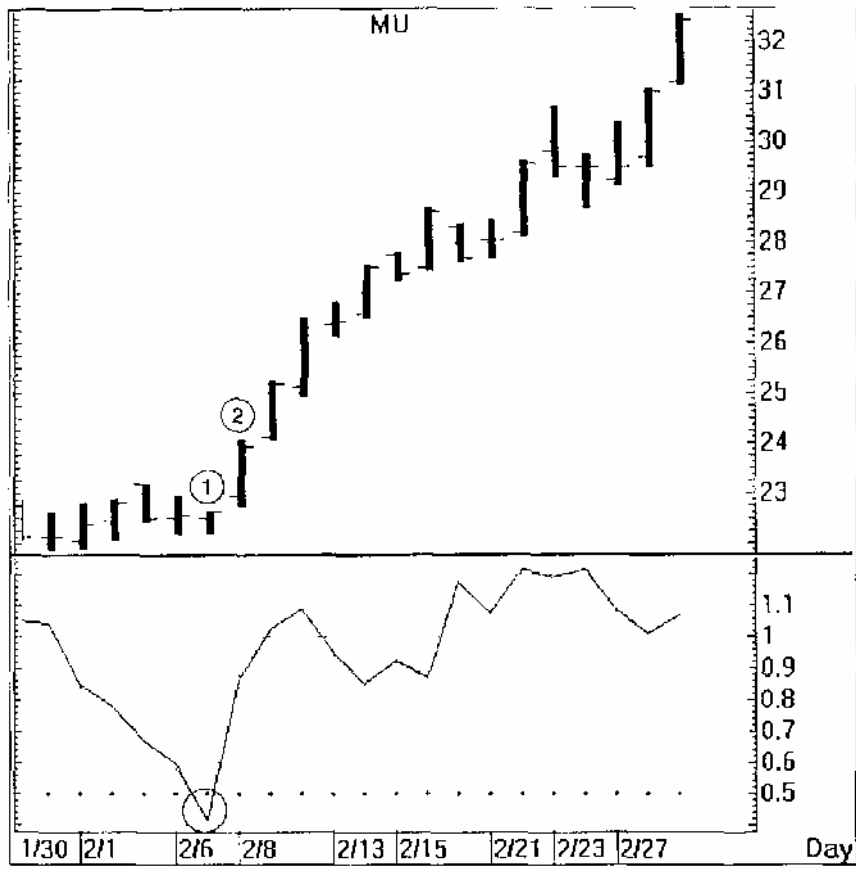
1. 13 1995

6/100 50

2. 101-08, 101-28,

3. 44 (1350).

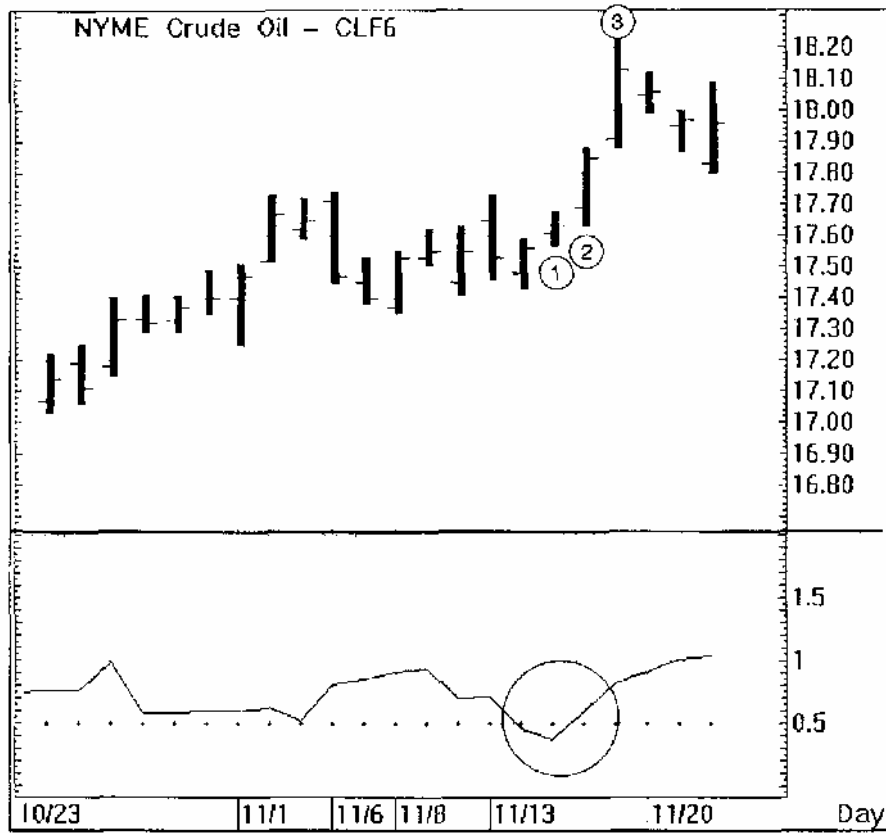
20.4. Micron Technology (MU) - 1995



- 1. NR4
- 2.

6/100 50

20



1. NR4

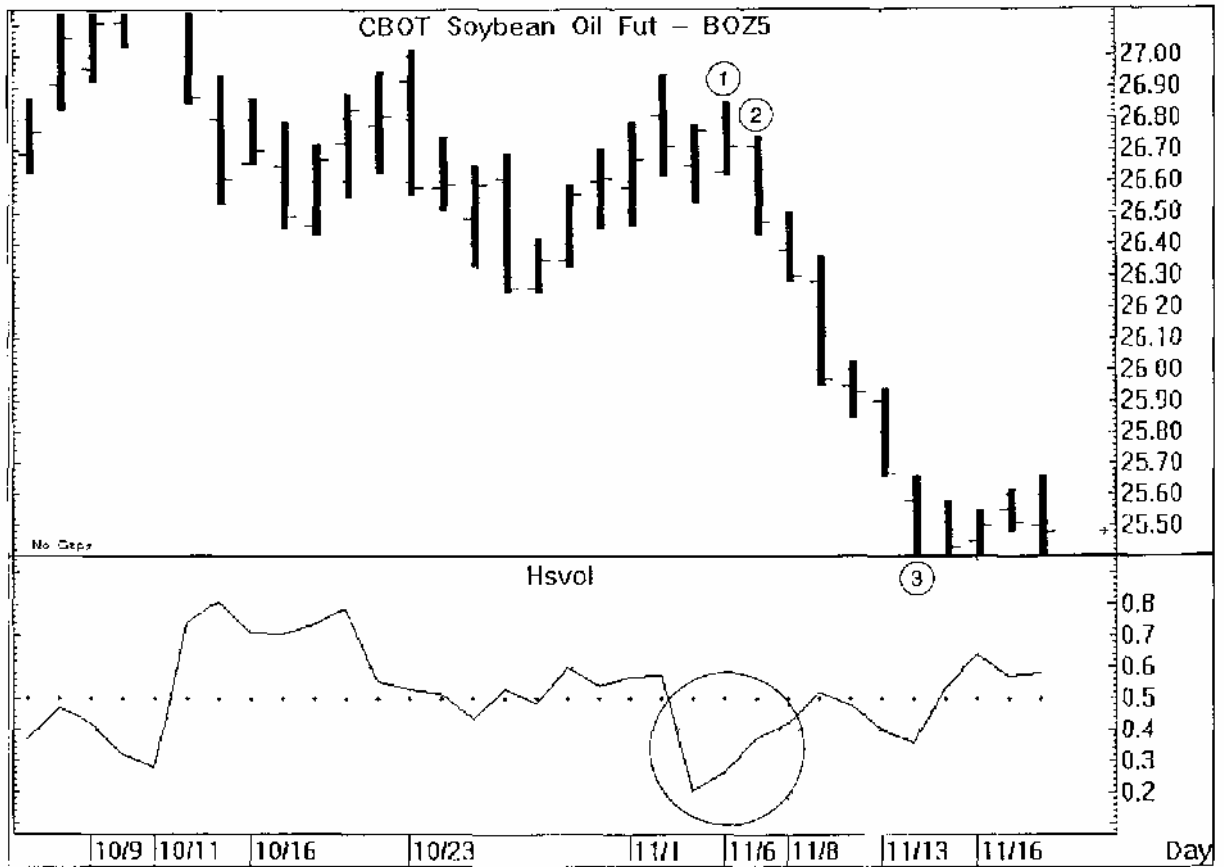
6/100

50

2.

3.

50



1. NR4 6/100 50
 26,85 26,62.
 2. 26,86
 3. 100
 :
 :
 : ()
 : ()
 :
 : 6/100?
 : 10/100
 : 6/100 , 10-100
 :
 : ?
 :

21

: , S&P

Barron 's — « 1980- » (Smart Money Index) —

« » (, « » ())
» ()
« »

1. 1 4985, 4980, +5. -1 -5.
2. 1. 3:00 4990 -6 -5,
4984 (4:00), -11.
3. ()

	Чистое изменение 1 часа	x	(-1)	+	Измене- ние пос- леднего часа	=	Сумма	Всего
День 1	10		-10	+	-2	=	-12	-12
День 2	-5		5	+	-5	=	0	-12
День 3	-20		20	+	10	=	30	18
День 4	5		-5	+	20	=	15	33
День 5	15		-15	+	-12	=	-27	6

20,
20,

S&P,

(TICK INDICATOR)

S&P.

S&P.

S&P,

1. S&P

(350).

2. S&P

90

.(

100

3.

50

-350

4.

S&P

5

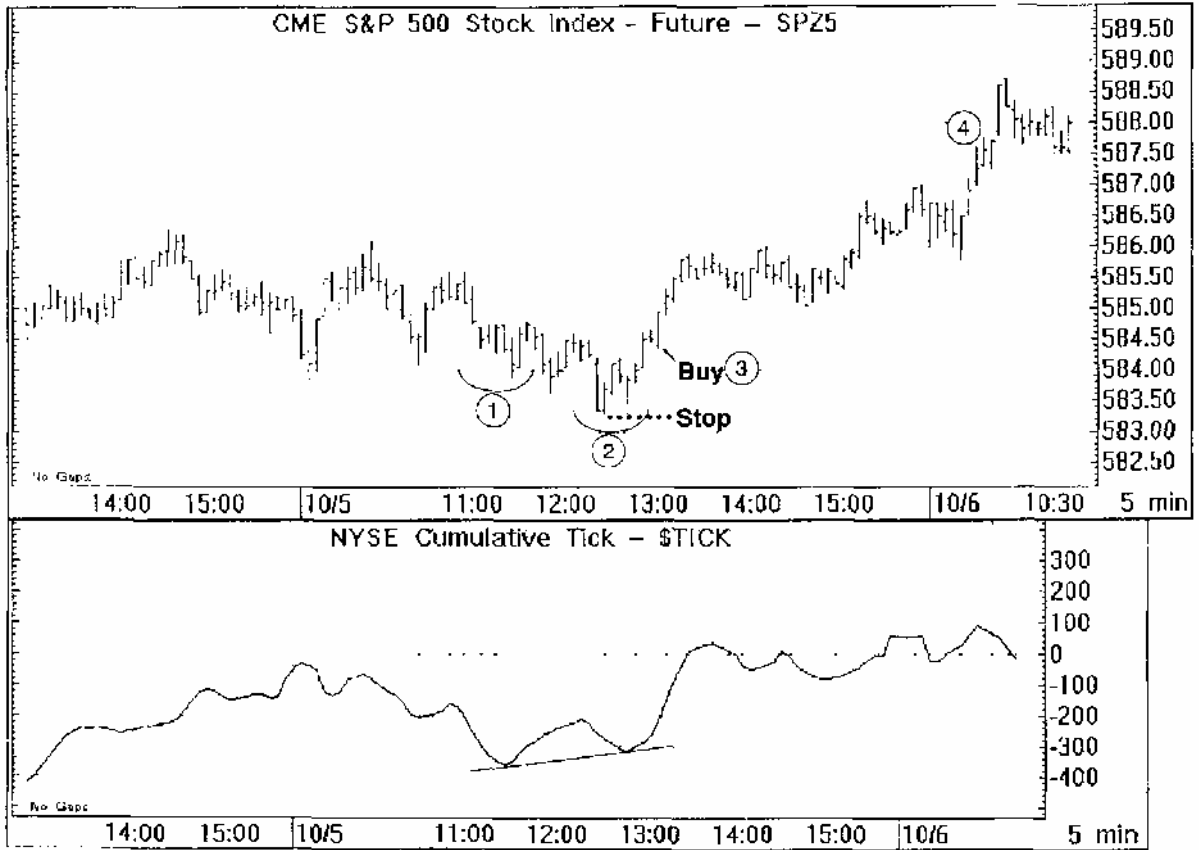
S&P

100,

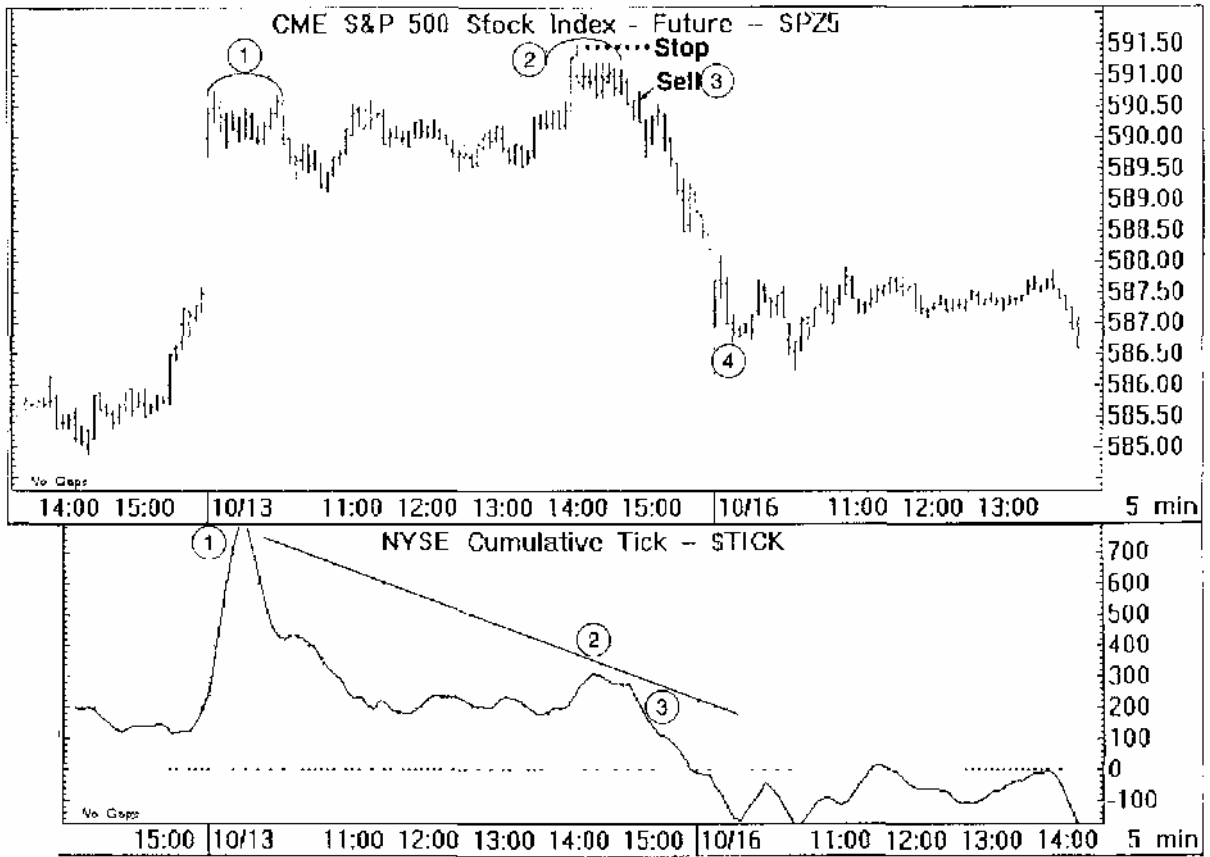
S&P

4

21.1. S&P — 5-



21.2. S&P - 5-



100, S&P () S&P

400, 400, ?

-400, S&P

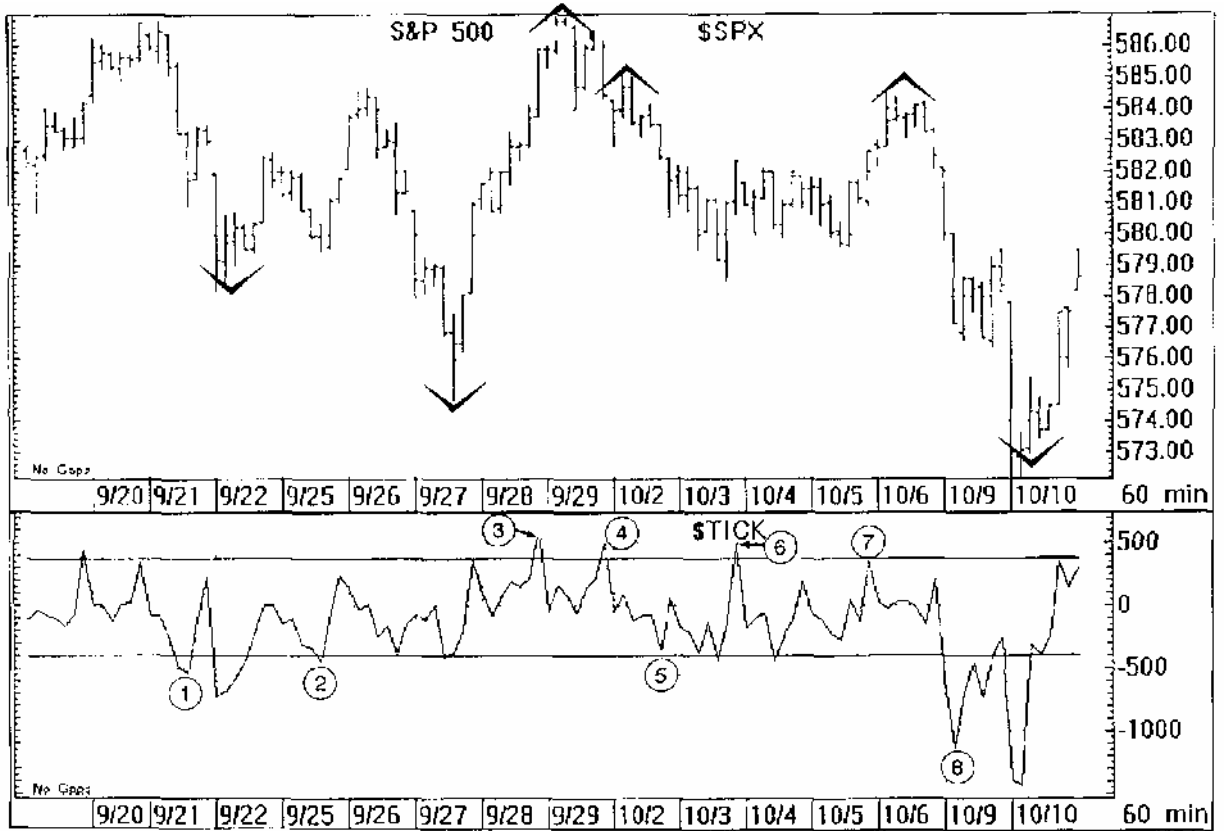
1995,

+/-400

S&P

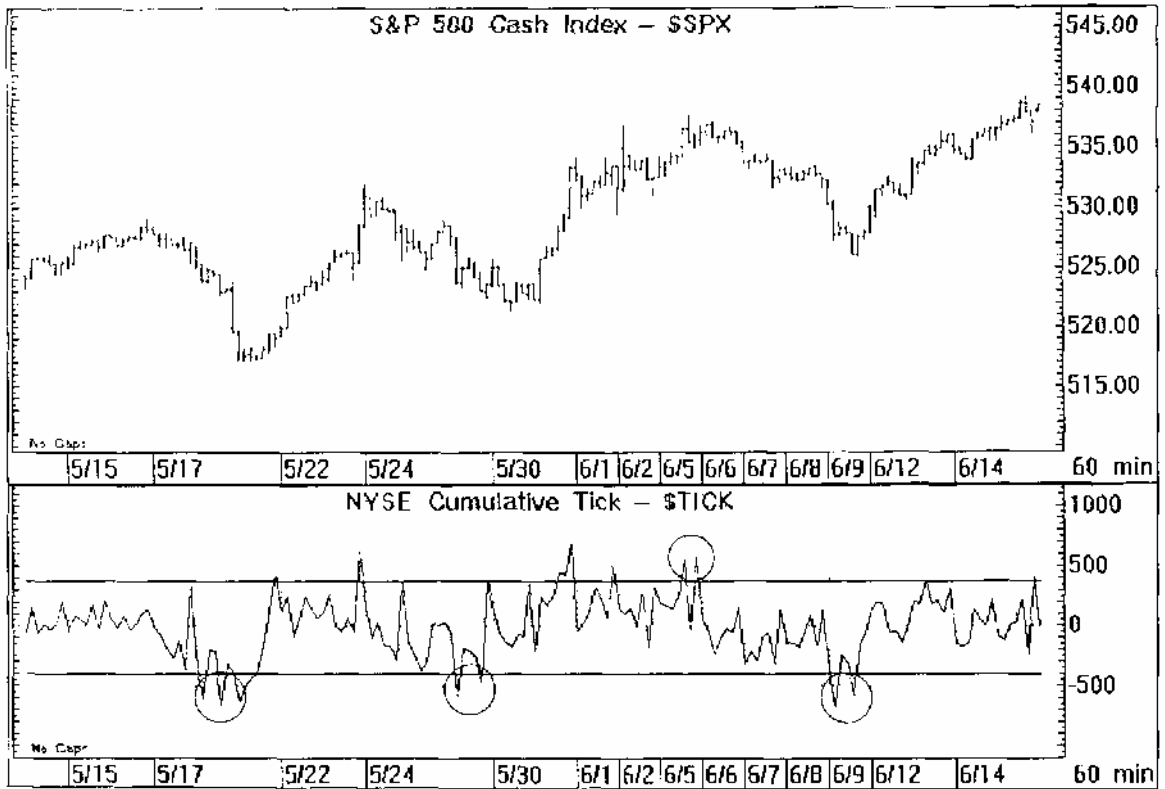
5- 30- « »

21.3. \$SPX - 60-



400 -400,

21.4. \$SPX



400 -400

TRIN, (Trading Index), (Arms Index),

1,20 0,80

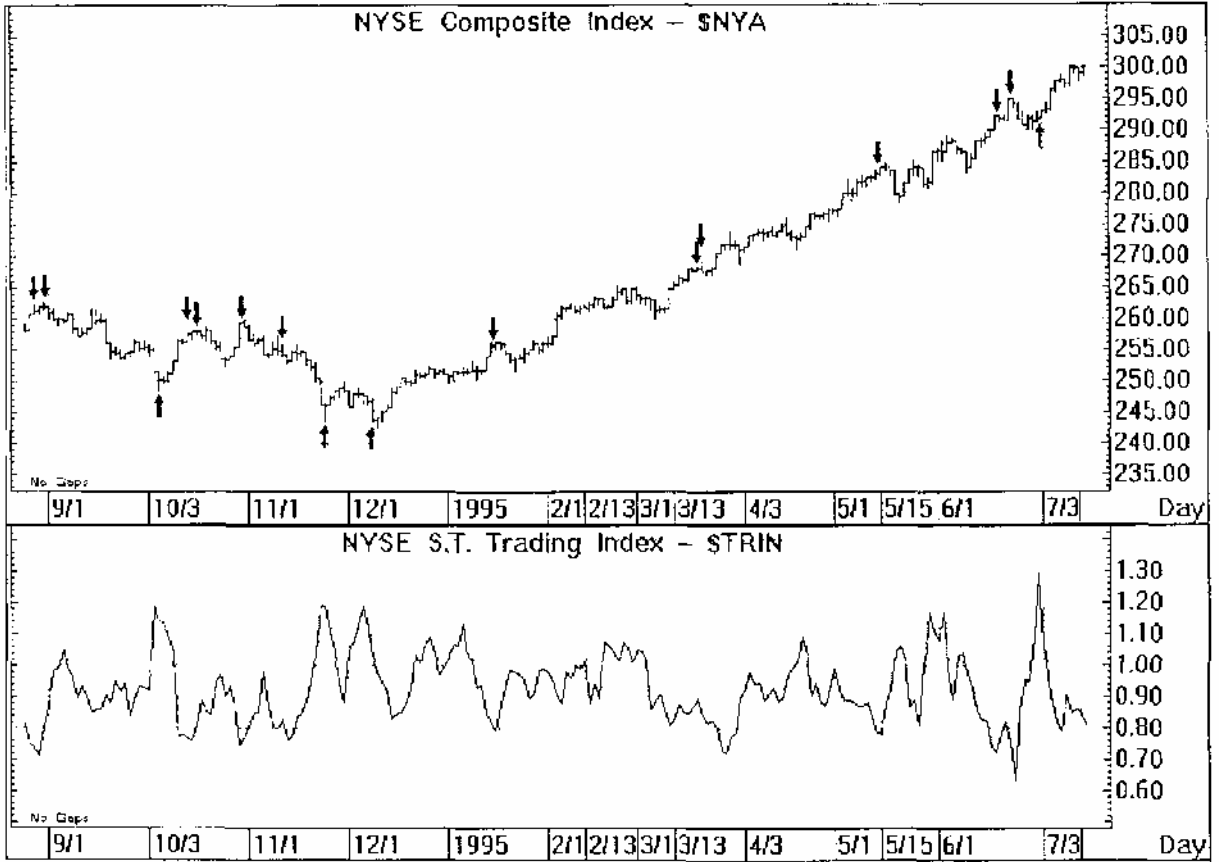
TM, (QT

15 .) (

5- 10-

21.5. TRIN.

1,20 () , 0,80 () . TRIN



—
().
— !
!
— !
« » !
!
()
?
:

! : — K.I.S.S (Keep It Simple, Stupid —
) :
: , — ,
: . !
: « ?*
: — ,
: , !

23

!

! —
! ! —
? ?
—
(, !).

BART

1978

...

9

(...),

«...»,

?...

;

1

:« — ... ».

(«...».)

—

:

?

1

:

?

S&P.

Bloomberg. TradeStation

:

?

100

:

—

...

?

1988

...

24

Trading Advisors,)

(Commodity
:

1974—1995 .² , 925

« » (Market Wizards), 925

1974 1995 ., 490 ; 925 435

Barclay Trading Group.

(1995), Survival and Return Distribution Characteristics, working paper, Syracuse University. ' Diz, Fernando

10,36 — 6,04

319 0,8

24 12 0,5.

« ».

() ()

25.1. 25.1 48

25.1. « »

« »		
, %	1,35%	0,91%
, %	30,80	34,70
	15,91	9,89

61

25.2.

25.2,


	8,09%	9,
	15,30%	17,80%
	19	22
-	6	7

	0,32	0,41
--	------	------

25.2

$$x_i = \ln (P_i / P_{i-1}),$$

где P_i — цена базового контракта в конце интервал времени i .
 P_i / P_{i-1} иногда называется *относительной ценой*.

Неделя	Базовая цена	$\ln (P_i / P_{i-1})$	Среднее	Отклонение от среднего	Квадратное отклонение
0	101,35		 +0,001167		
1	102,26	+0,008939		0,007771	0,000060
2	99,07	-0,031692		-0,032859	0,001080
3	100,39	+0,013236		0,012069	0,000146
4	100,76	+0,003679		0,002512	0,000006
5	103,59	+0,027699		0,026532	0,000704
6	99,26	-0,042698		-0,043865	0,001924
7	98,28	-0,009922		-0,011089	0,000123
8	99,98	+0,017150		0,015982	0,000255
9	103,78	+0,037303		0,036136	0,001306
10	102,54	-0,012020		-0,013188	0,000174
		+0,011674		0,005778	

Сначала мы вычисляем стандартное отклонение логарифмических изменений цены:

$$\begin{aligned}\text{стандартное отклонение} &= \sqrt{(0.005778/9)} \\ &= \sqrt{0.000642} \\ &= 0.025338.\end{aligned}$$

Затем мы вычисляем годовую волатильность, умножая стандартное отклонение на квадратный корень интервала времени между изменениями цены. Поскольку мы следили за изменениями цены каждую неделю, интервал времени равен 365/7:

$$\begin{aligned}\text{годовая волатильность} &= 0.025338 \times \sqrt{365/7} \\ &= 0.025338 \times \sqrt{52.14} \\ &= 0.025338 \times 7.22 \\ &= 0.1829 \text{ (18.29\%).}\end{aligned}$$

Перепечатано из: Nathanberg, Sheldon. *Option Volatility & Pricing, Advanced Trading Strategies and Techniques*, 2d ed., (Chicago: Probus Publishing, 1994), Appendix B.

MOORE RESEARCH CENTER -

«

».

Moore Research Center (. . .)

(. . .)

10 25 . . . «

».

, 48(60%) , 48
« / » 60%. $48/0,6 = 80$

6.

80—20,

90%».

10

17

48

2436

S&P,

50

85

2.00

20

S&P

20

42-

10

S&P

WR7,

WR7

WR7

60

80—20.

(
WR7

.1.

90%.

[Redacted]							

SP	86 -95	2436	408(17%)	194(48%)	348(85%)	2.00	196(48%)
YX	86 -95	2436	458(19%)	196(43%)	377(82%)	1.14	215(47%)
USAM	86 -95	2431	418(17%)	218(52%)	336(80%)	0.58	207(50%)
ED	86 -95	2439	192(8%)	86(45%)	145(76%)	0.05	83(43%)
SF	86 -95	2439	263(11%)	111(42%)	175(67%)	0.52	125(48%)
DM	86 -95	2439	277(11%)	143(52%)	208(75%)	0.35	143(52%)
	86 -95	2439	255(10%)	117(46%)	173(68%)	0.94	119(47%)
JY	86 -95	2438	318(13%)	149(47%)	215(68%)	0.49	164(52%)
GC	86G-95M	2443	253(10%)	119(47%)	191(75%)	2.67	93(37%)
SI	86H-95N	2458	237(10%)	103(43%)	192(81%)	8.72	105(44%)
HG	86H-95N	2458	394(16%)	202(51%)	291(74%)	1.54	198(50%)
CL	86G-95N	2496	402(16%)	217(54%)	352(88%)	0.27	191(48%)
	86G-95N	2495	305(12%)	162(53%)	251(82%)	1.07	162(53%)
NG	92G-95V	984	123(12%)	77(63%)	108(88%)	0.036	59(48%)
	86H-95U	2493	336(13%)	173(51%)	279(83%)	2.30	152(45%)
	86H-95U	2490	252(10%)	110(44%)	199(79%)	18	105(42%)
SB	86H-95V	2548	444(17%)	167(38%)	324(73%)	0.17	179(40%)
JO	86F-95U	2525	415(16%)	207(50%)	311(75%)	1.79	197(47%)
W	86H-95U	2509	395(16%)	201(51%)	326(83%)	3.62	205(52%)
	86H-95U	2509	342(14%)	171(50%)	270(79%)	2.70	149(44%)
S	86F-95U	2552	341(13%)	162(48%)	266(78%)	6.44	149(44%)
	86H-95V	2519	489(19%)	269(55%)	408(83%)	0.92	252(52%)
LC	86G-95V	2549	377(15%)	186(49%)	319(85%)	0.48	200(53%)
	86G-96G	2640	398(15%)	247(62%)	336(84%)	1.08	207(52%)
LH	86G-95V	2557	308(12%)	150(49%)	243(79%)	0.55	156(51%)

.2.

80%.

J W LBR		80%					
Moore							
<small> ^ TRADING INC</small>							
SP	86H-95M	2436	720(30%)	354(49%)	577(80%)	2.06	357(50%)
YX	86H-95M	2436	746(31%)	317(42%)	579(78%)	1.14	351(47%)
USAM	86H-95M	2431	698(29%)	376(54%)	554(79%)	0.54	352(50%)
ED	86H-95M	2439	457(19%)	227(50%)	336(74%)	0.06	211(46%)

SF	86H-95M	2439	575(24%)	255(44%)	383(67%)	0.48	275(48%)
DM	86H-95M	2439	589(24%)	283(48%)	403(68%)	0.35	289(49%)
BP	86H-95M	2439	580(24%)	273(47%)	381(66%)	0.96	279(48%)
JY	86H-95M	2438	606(25%)	273(45%)	375(62%)	0.49	282(47%)
GC	86G-95M	2443	509(21%)	247(49%)	357(70%)	2.66	206(40%)
SI	86H-95N	2458	470(19%)	203(43%)	349(74%)	7.92	197(42%)
HG	86H-95N	2458	641(26%)	316(49%)	452(71%)	1.34	301(47%)
CL	86G-95N	2496	697(28%)	370(53%)	579(83%)	0.27	337(48%)
HO	86G-95N	2495	616(25%)	336(55%)	481(78%)	0.90	312(51%)
NG	92G-95V	^ 984	234(24%)	138(59%)	191(82%)	0035	116(50%)
	86H-95U	2493	613(25%)	310(51%)	478(78%)	2.11	279(46%)
CC	86H-95U	2490	533(21%)	222(42%)	390(73%)	18	235(44%)
SB	86H-95V	2548	711(28%)	263(37%)	478(67%)	0.17	279(39%)
JO	86F-95U	2525	679(27%)	337(50%)	500(74%)	1.68	336(49%)
W	86H-95U	2509	685(27%)	338(49%)	536(78%)	3.53	342(50%)
	86H-95U	2509	675(27%)	326(48%)	506(75%)	2.40	320(47%)
S	86F-95U	2552	635(25%)	297(47%)	465(73%)	5.89	281(44%)
CT	86H-95V	2519	738(29%)	386(52%)	578(78%)	0.85	366(50%)
LC	86G-95V	2549	685(27%)	330(48%)	547(80%)	0.44	360(53%)
PB	86G-96G	2640	622(24%)	345(55%)	497(80%)	0.98	306(49%)
LH	86G-95V	2557	633(25%)	292(46%)	480(76%)	0.49	311(49%)

..

10%.

				BHHJ			
SP	86 -95	2436	215(9%)	88(41%)	190(88%)	3.05	93(43%)
YX	86 -95	2436	212(9%)	106(50%)	174(82%)	1.74	88(42%)
USAM	86 -95	2431	271(11%)	118(44%)	215(79%)	0.55	116(43%)
ED	86 -95	2439	180(7%)	66(37%)	134(74%)	0.05	70(39%)
SF	86 -95	2439	211(9%)	100(47%)	144(68%)	0.49	97(46%)
DM	86 -95	2439	208(9%)	99(48%)	146(70%)	0.36	92(44%)
	86 -95	2439	184(8%)	87(47%)	119(65%)	1.23	82(45%)

JY	86 -95	2438	256(11%)	122(48%)	166(65%)	0.45	114(45%)
GC	86G-95M	2443	187(8%)	100(53%)	144(77%)	3.12	81(43%)
SI	86H-95N	2458	243(10%)	134(55%)	185(76%)	9.12	112(46%)
	86H-95N	2458	381(16%)	186(49%)	257(67%)	1.34	167(44%)
CL	86G-95N	2496	343(14%)	193(56%)	292(85%)	0.34	179(52%)
	86G-95N	2495	339(14%)	178(53%)	268(79%)	0.96	160(47%)
NG	92G-95V	984	126(13%)	99(79%)	108(86%)	0.033	63(50%)
	86H-95U	2493	357(14%)	226(63%)	291(82%)	2.29	186(52%)
	86H-95U	2490	335(13%)	179(53%)	249(74%)	21	176(53%)
SB	86H-95V	2548	340(13%)	173(51%)	249(73%)	0.16	120(35%)
JO	86F-95U	2525	356(14%)	208(58%)	295(83%)	1.86	174(49%)
W	86H-95U	2509	343(14%)	219(64%)	292(85%)	3.68	178(52%)
	86H-95U	2509	298(12%)	191(64%)	259(87%)	2.67	158(53%)
S	86F-95U	2552	426(17%)	237(56%)	351(82%)	6.10	187(44%)
	86H-95V	2519	383(15%)	241(63%)	334(87%)	0.91	207(54%)
LC	86G-95V	2549	315(12%)	148(47%)	266(84%)	0.45	139(44%)
	86G-96G	2640	439(17%)	249(57%)	391(89%)	1.02	243(55%)
LH	86G-95V	2557	275(11%)	156(57%)	226(82%)	0.55	130(47%)

.4.

20%.

		Bcei					
SP	86 -95	2436	375(15%)	176(47%)	312(83%)	2.79	156(42%)
YX	86 -95	2436	402(17%)	194(48%)	310(77%)	1.48	161(40%)
USAM	86 -95	2431	533(22%)	243(46%)	395(74%)	0.52	234(44%)
ED	86 -95	2439	427(18%)	193(45%)	315(74%)	0.05	183(43%)
SF	86 -95	2439	498(20%)	240(48%)	323(65%)	0.44	223(45%)
DM	86 -95	2439	489(20%)	236(48%)	328(67%)	0.34	213(44%)
	86 -95	2439	438(18%)	209(48%)	278(63%)	1 08	186(42%)
JY	86 -95	2438	560(23%)	259(46%)	339(61%)	0.41	252(45%)
GC	86G-95M	2443	426(17%)	235(55%)	296(69%)	2.73	172(40%)
S1	86H-95N	2458	539(22%)	291(54%)	391(73%)	7.65	234(43%)
HG	86H-95N	2458	626(25%)	306(49%)	415(66%)	1.25	273(44%)
CL	86G-95N	2496	640(26%)	358(56%)	513(80%)	0.32	326(51%)

	86G-95N	2495	665(27%)	362(54%)	508(76%)	0.88	329(49%)
NG	92G-95V	984	243(25%)	178(73%)	196(81%)	0.033	123(51%)
	86H-95U	2493	626(25%)	393(63%)	495(79%)	2.31	321(51%)
	86H-95U	2490	654(26%)	358(55%)	467(71%)	19	322(49%)
SB	86H-95V	2548	626(25%)	314(50%)	442(71%)	0.16	240(38%)
JO	86F-95U	2525	584(23%)	327(56%)	445(76%)	1.74	276(47%)
W	S6H-95U	2509	628(25%)	404(64%)	514(82%)	3.55	326(52%)
	86H-95U	2509	702(28%)	439(63%)	587(84%)	2.31	378(54%)
S	86F-95U	2552	711(28%)	364(51%)	538(76%)	593	316(44%)
	86H-95V	2519	614(24%)	369(60%)	502(82%)	0.84	317(52%)
LC	86G-95V	2549	586(23%)	279(48%)	465(79%)	0.46	278(47%)
	86G-96G	2641	707(27%)	364(51%)	582(82%)	0.91	369(52%)
LH	86G-95V	2557	528(21%)	280(53%)	406(77%)	0.51	245(46%)

.5.

WR7

SP	86 -95	2436	143(6%)	69(48%)	106(74%)	2.05	77(54%)
YX	86 -95	2436	142(6%)	60(42%)	98(69%)	1.11	69(49%)
USAM	86 -95	2431	174(7%)	83(48%)	111(64%)	0.47	80(46%)
ED	86 -95	2439	185(8%)	93(50%)	97(52%)	0.08	85(46%)
SF	86 -95	2439	190(8%)	92(48%)	110(58%)	0.55	101(53%)
DM	86 -95	2439	182(7%)	88(48%)	107(59%)	0.38	95(52%)
	86 -95	2439	164(7%)	80(49%)	92(56%)	1.02	83(51%)
JY	86 -95	2438	174(7%)	78(45%)	81(47%)	0.45	79(45%)
GC	86G-95M	2443	167(7%)	74(44%)	79(47%)	3.23	63(38%)
SI	86H-95N	2458	161(7%)	59(37%)	80(50%)	7.58	60(37%)
HG	86H-95N	2458	184(7%)	94(51%)	123(67%)	1.29	88(48%)
CL	86G-95N	2496	199(8%)	103(52%)	140(70%)	0.35	100(50%)
	86G-95N	2495	199(8%)	109(55%)	135(68%)	0.93	104(52%)
NG	92G-95V	984	85(9%)	42(49%)	60(71%)	0.037	42(49%)
	86H-95U	2493	168(7%)	81(48%)	108(64%)	2.16	80(48%)
	86H-95U	2490	171(7%)	74(43%)	102(60%)	19	80(47%)
SB	86H-95V	2548	189(7%)	62(33%)	102(54%)	0.19	75(40%)

JO	86F-95U	2525	177(7%)	77(44%)	92(52%)	1.92	82(46%)
W	86H-95U	2509	172(7%)	79(46%)	114(66%)	4.01	85(49%)
	86H-95U	2509	178(7%)	71(40%)	92(52%)	2.41	85(48%)
S	86F-95U	2552	175(7%)	69(39%)	89(51%)	5.58	67(38%)
	86H-95V	2519	194(8%)	92(47%)	125(64%)	0.74	96(49%)
LC	86G-95V	2549	156(6%)	64(41%)	98(63%)	0.40	70(45%)
	86G-96G	2641	190(7%)	93(49%)	110(58%)	0.95	87(46%)
LH	86G-95V	2557	164(6%)	72(44%)	104(63%)	0.41	71(43%)

.6.

WR7

SP	86 -95	2436	174(7%)	78(45%)	119(68%)	3.32	79(45%)
YX	86 -95	2436	180(7%)	83(46%)	115(64%)	1.89	79(44%)
USAM	86 -95	2431	136(6%)	60(44%)	95(70%)	0.55	62(46%)
ED	86 -95	2439	126(5%)	66(52%)	82(65%)	0.05	68(54%)
SF	86 -95	2439	157(6%)	82(52%)	93(59%)	0.40	70(45%)
DM	86 -95	2439	162(7%)	80(49%)	97(60%)	0.34	75(46%)
	86 -95	2439	158(6%)	87(55%)	84(53%)	1.12	76(48%)
JY	86 -95	2438	158(6%)	70(44%)	65(41%)	0.54	56(35%)
GC	86G-95M	2443	171(7%)	87(51%)	67(39%)	2.60	70(41%)
S1	86H-95N	2458	152(6%)	90(59%)	90(59%)	11.04	80(53%)
HG	86H-95N	2458	140(6%)	74(53%)	87(62%)	1.38	64(46%)
CL	86G-95N	2496	186(7%)	91(49%)	139(75%)	0.29	96(52%)
	86G-95N	2495	164(7%)	71(43%)	104(63%)	0.83	69(42%)
NG	92G-95V	984	70(7%)	54(77%)	46(66%)	0.037	31(44%)
	86H-95U	2493	192(8%)	97(51%)	119(62%)	2.32	95(49%)
	86H-95U	2490	155(6%)	81(52%)	96(62%)	20	79(51%)
SB	86H-95V	2548	165(6%)	72(44%)	77(47%)	0.20	68(41%)
JO	86F-95U	2525	170(7%)	94(55%)	108(64%)	1.55	77(45%)
W	86H-95U	2509	153(6%)	87(57%)	99(65%)	3.79	80(52%)
	86H-95U	2509	149(6%)	88(59%)	99(66%)	2.58	81(54%)
S	86F-95U	2552	160(6%)	67(42%)	101(63%)	4.33	76(48%)
	86H-95V	2519	181(7%)	101(56%)	119(66%)	0.89	82(45%)

LC	86G-95V	2549	183(7%)	78(43%)	120(66%)	0.45	83(45%)
	86G-96G	2641	171(6%)	86(50%)	137(80%)	0.80	88(51%)
LH	86G-95V	2557	164(6%)	83(51%)	116(71%)	0.51	81(49%)

ROC

».

70,

30,

RSI

ROC/RSI

A.7

ROCRSI —

<i>d^LBR Moore</i> TRADING INC			<i>ROCRSI — (70, 30)</i>							
:										
			<<>				(%)			
SP	86H-95U	2500	140(52%)	148	1311	-1095	143(53%)	211	1793	-1556
YX	86H-95U	2499	138(54%)		738	-631	145(57%)	142	948	-920
USAM	86H-95U	2495	137(51%)	46	521	-455	129(48%)	-3	650	-614
ED	86H-95U	2503	135(55%)	9	119	-123	131(53%)	0	149	-169
SF	86 -95 U	2503	135(58%)	67	580	-647	135(58%)	81	712	-797
DM	86H-95U	2503	136(58%)	42	410	-474	122(52%)	23	543	-549
	K6H-95U	2503	156(61%)	118	612	-653	148(58%)	86	745	-818
JY	86H-95U	2502	132(57%)	98	563	-528	137(60%)	100	614	-657
GC	86G-95V	2528	143(63%)	28	197	-257	126(55%)	13	271	-305
S1	86H-95U	2501	150(58%)	22	307	-367	147(57%)	5	358	-454
	86H-95U	2501	146(61%)	69	307	-308	151(63%)	95	353	-352
CL	86G-95V	2562	160(61%)	56	267	-271	149(57%)	77	388	-330
	86G-95V	2560	129(51%)	-30	309	-376	132(52%)	-21	433	-507

NG	92G-95V	984	65(62%)	134	417	-339	63(61%)	205	597	-397
	86H-95U	2493	171(65%)	240	760	-111	151(57%)	267	1120	-883
	86H-95U	2490	143(54%)	1	176	-207	151(57%)	37	234	-229
SB	86H-95V	2548	144(60%)	41	191	-183	158(66%)	49	215	-268
JO	86F-95U	2525	135(53%)	30	282	-250	144(56%)	45	357	-352
W	86H-95U	2509	161(56%)	9	161	-187	150(52%)	30	248	-211
	86 -95 U	2509	148(56%)	0	104	-130	148(56%)	-1	133	-168
S	86F-95U	2552	155(60%)	32	266	-313	142(55%)	24	347	-364
	8GH-95V	2519	144(55%)	73	462	-40!	150(57%)	126	595	-501
LC	86G-95V	2549	151(58%)	32	178	-169	147(56%)	44	249	-221
	86G-96G	2639	128(53%)	12	318	-332	122(50%)	6	417	-411
LH	86G-95V	2557	151(61%)	38	177	-182	149(60%)	53	224	-206

.8. ROCRSI —

^ &		ROCRSI - (70, 30)								
:										
			(%)	.pej-		()				
SP	86H-95U	2500	124(49%)	-123	973	-1177	105(42%)	-269	1391	-1446
YX	S6H-95U	2499	138(53%)	5	494	-553	110(42%)	-100	708	-696
USAM	S6H-95U	2495	120(48%)	33	538	-440	109(44%)	-41	651	-583
ED	86H-95U	2503	151(57%)	9	106	-123	141(54%)	9	141	-143
SF	86H-95U	2503	146(58%)		541	-506	139(55%)	48	596	-633
DM	86H-95U	2503	136(55%)	46	422	-407	119(48%)	-2	510	-470
	86H-95U	2503	115(53%)	69	614	-497	113(50%)	34	691	-624
JY	86H-95U	2502	140(57%)	67	544	-558	128(52%)	-1	591	-638
GC	86G-95V	2528	159(65%)	60	207	-211	136(56%)	22	236	-243
SI	86H-95U	2501	141(63%)	47	300	-383	116(52%)	-10	385	-434
HG	86H-95U	2501	133(53%)	4	284	-317	117(47%)	-6	371	-341
CL	86G-95V	2562	150(60%)	53	323	-343	135(54%)	35	377	-361
	86G-95V	2560	158(56%)	-11	392	-533	141(50%)	-55	473	-590
NG	92G-95V	984	63(55%)	117	466	-314	55(48%)	28	501	-414
	86H-95U	2493	148(61%)	178	820	-821	119(49%)	60	1055	-895

	86H-95U	2490	163(62%)	33	178	-208	156(60%)	40	235	-250
SB	86H-95V	2548	160(63%)	44	168	-170	141(56%)	-1	189	-240
JO	86F-95U	2525	143(52%)	21	245	-225	158(58%)	11	278	-356
W	86H-95U	2509	156(54%)	11	187	-195	135(47%)	6	259	-215
	86H-95U	2509	179(61%)	25	118	-120	169(57%)	28	147	-132
S	86F-95U	2552	126(56%)	46	278	-247	115(51%)	43	395	-322
	86H-95V	2519	148(54%)	29	370	-371	146(53%)	18	459	-485
LC	86G-95V	2549	121(49%)	-4	177	-175	123(49%)	12	248	-219
	86G-96G	2639	161(58%)	66	401	-392	158(57%)	54	472	-492
LH	86G-95V	2557	141(56%)	30	202	-190	137(55%)	40	254	-217

2-

2-

«Fresh,

*

.9.

Fresh ROC —

			(%)				(%)			
SP	86H-95L	2500	339(57%)	83	475	-435	340(57%)	168	1135	-1117
YX	86H-95U	2499	309(51%)	19	280	-253	337(56%)	75	623	-616
U SAM	86 H- 95 U	2495	370(62%)	53	237	-246	326(55%)	47	495	-493
ED	86H-95U	2503	402(70%)	16	51	-67	369(64%)	16	92	-119
SF	86H-95U	2503	337(53%)	27	354	-337	339(53%)	39	540	-528
DM	86H-95U	2503	333(53%)	9	256	-269	335(53%)	31	415	-408
HP	86H-95U	2503	326(52%)	27	373	-352	333(53%)	51	557	-527
JY	86I1-95U	2502	331(54%)	49	384	-341	333(54%)	73	536	-472

GC	86G-95V	2528	326(51%)	-4	115	-126	304(47%)	-10	213	-211
SI	86H-95U	2501	329(51%)	1	139	-144	312(49%)	-13	273	-285
HG	86H-95U	2501	352(56%)	15	164	-176	316(50%)	35	332	-267
CL	B6G-95V	2562	377(61%)	30	142	-145	328(53%)	41	314	-268
HO	86G-95V	2560	339(53%)	35	208	-163	345(54%)	27	341	-348
NO	92G-95V	984	131(52%)	-31	130	-206	121(48%)	-16	368	-371
.	861I-95U	2493	311(50%)	-22	340	-378	318(51%)	-56	650	-781
CC	86H-95U	2490	300(49%)	-17	73	-101	316(51%)	-7	165	-187
SB	86H-95V	2548	342(53%)	2	77	-81	352(54%)	15	185	-185
JO	86F-95LI	2525	358(57%)	15	99	-98	335(54%)	33	236	-203
W	86H-95U	2509	368(62%)	17	63	-58	342(57%)	26	176	-176
	86H-95U	2509	357(60%)	11	51	-49	335(57%)	7	98	-111
S	I-95U	2552	343(54%)	19	137	-118	326(51%)	-6	245	-268
CT	86H-95V	2519	356(59%)	36	166	-151	336(56%)	73	381	-316
LC	86G-95V	2549	362(57%)	4	67	-77	346(54%)	13	179	-182
PB	86G-96G	2638	374(58%)	26	132	-121	320(50%)	7	357	-342
LH	86G-95V	2557	411(64%)	19	71	-75	363(57%)	31	179	-162

10. ROC — .

R —										
:										
			(%)	-[(%)	-		
SP	86H-95L	2500	325(54%)	42	408	-393	298(50%)	-66	1031	-1155
YX	S6II-95U	2499	350(58%)	53	253	-219	305(50%)	-51	545	-651
USAM	S6H-95U	2495	325(54%)	26	235	-224	293(49%)	16	498	449
ED	86H-95U	2503	383(66%)	15	55	-65	344(60%)	10	103	-126
SF	86H-95U	2503	369(59%)	59	321	-315	311(50%)	3	540	-524
DM	8611-95U	2503	355(57%)	52	265	-232	305(49%)	1	423	-406
	86H-95U	2503	336(54%)	47	365	-331	303(49%)	-14	538	-543
JY	86H-95U	2502	325(53%)	13	354	-369	316(51%)	5	493	-511
	86G-95V	2528	389(60%)	35	141	-123	332(51%)	11	235	-225 !
SI	861[-95U	2501	384(60%)	25	137	-145	309(49%)	-20	296	-319
HG	S6H-95U	2501	355(57%)	42	196	-164	325(52%)	18	303	-295

CL	86G-95V	2562	381(61%)	30	152	-161	319(51%)	19	301	-275
	86G-95V	2560	363(58%)	17	194	-227	316(50%)	1	341	-147
NG	92G-95V	984	179(69%)	87	192	-151	132(51%)	-18	309	-362
	86H-95U	2493	404(65%)	146	430	-376	323(52%)	50	746	-697
	S6H-95U	2490	365(59%)	28	105	-86	337(55%)	22	189	-181
SB	86 H - 95V	2548	411(63%)	24	82	-76	330(51%)	0	185	-191
JO	86F-95U	2525	387(63%)	39	117	-92	312(51%)	22	247	-207
W	86H-95U	2509	423(70%)	25	62	-61	325(54%)	18	171	-160
S	86H-95U	2509	408(69%)	13	44	-57	325(55%)	14	111	-104
	86F--95U	2552	381(60%)	23	117	-116	320(50%)	8	279	-264
	86H-95V	2519	365(61%)	80	214	-130	316(53%)	46	372	-120
LC	86G-95V	2549	369(58%)	4	65	-81	313(49%)	-5	179	-185
	86G-96G	2638	390(60%)	40	147	-123	337(52%)	39	366	-320
LH	86G-95V	2557	414(65%)	20	78	-89	341(54%)	9	186	-1%

14- ADX

ADX 30 39, 7
 ADX, 25.
 ADX 25
 ADX 17
 S&P
 « », ADX
 ADX 28
 ADX 30

A.11. 14- ADX —

Fresh R									
			(%)	0-9(%)	10-19(96)	20-29(95)	30-39(%)	40-49(56)	50
S&PSOO(CME)	86H-95U	2500	1135(45%)	52(2%)	1074(43%)	762(30%)	414(17%)	165(7%)	2
NYSE Composite(NYFE)	86H-95U	2643	1205(46%)	46(2%)	1085(41%)	811(31%)	503(19%)	165(6%)	2
30- ()	86H-95U	2674	1319(49%)	16(1%)	844(32%)	937(35%)	495(19%)	300(11%)	72
()	86H-95U	2671	1328(50%)	10(0%)	724(27%)	947(35%)	545(20%)	324(12%)	10
(IMM)	86H-95U	2658	1294(49%)	44(2%)	919(35%)	962(36%)	542(20%)	168(6%)	23
(IMM)	86H-95U	2671	1287(48%)	42(2%)	867(32%)	978(37%)	556(21%)	162(6%)	66

(IMM)	86H-95U	2665	1257(47%)	44(2%)	993(37%)	955(36%)	431(16%)	173(6%)	43
(IMM)	86H-95U	2649	1229(46%)	75(3%)	869(33%)	886(33%)	463(17%)	241(9%)	97
()	86G-95V	2707	1266(47%)	63(2%)	1102(41%)	936(35%)	396(15%)	145(5%)	56
()	86H-95U	2661	1219(46%)	83(3%)	1078(41%)	1025(39%)	337(13%)	84(3%)	45
()	86H-95U	2661	1260(47%)	18(1%)	893(34%)	1076(40%)	493(19%)	131(5%)	45
(NYM)	86G-95V	2773	1347(49%)	31(1%)	823(30%)	1118(40%)	550(20%)	222(8%)	29
(NYM)	86G-95V	2744	1306(48%)	2(0%)	1144(42%)	1023(37%)	422(15%)	108(4%)	38
(NYM)	92G-95V	1184	585(49%)	16(1%)	292(25%)	452(38%)	262(22%)	119(10%)	43
«C»(CSCE)	86H-95U	2646	1234(47%)	6(0%)	912(34%)	1012(38%)	436(16%)	210(8%)	66
(CSCE)	86H-95U	2641	1267(48%)	36(1%)	965(37%)	1102(42%)	387(15%)	146(6%)	50
fill(CSCE)	86H-95V	2680	1265(47%)	21(1%)	726(27%)	1073(40%)	568(21%)	204(8%)	88
(CTN)	86F-95U	2705	1246(46%)	43(2%)	736(27%)	926(34%)	547(20%)	276(10%)	11
{ }	86H-95U	2671	1305(49%)	12(0%)	934(35%)	894(33%)	597(22%)	207(8%)	27
()	86H-95U	2671	1301(49%)	42(2%)	942(35%)	974(36%)	421(16%)	223(8%)	57
()	86F-95U	2734	1236(45%)	15(1%)	1061(39%)	1130(41%)	395(14%)	77(3%)	35
(CTN)	86H-95V	2676	1302(49%)	24(1%)	901(34%)	984(37%)	459(17%)	226(8%)	76
()	86G-95V	2730	1370(50%)	18(1%)	1056(39%)	1057(39%)	379(14%)	145(5%)	35
()	86G-96G	2736	1344(49%)	3(0%)	949(35%)	1004(37%)	537(20%)	187(7%)	56
()	S6G-95V	2738	1310(48%)	10(0%)	856(31%)	1122(41%)	453(17%)	216(8%)	57

« »

« » («Oops»)

.(

.)

, ADX

30.

ADX

«

(

ADX)».

:

45

8

, 65

.)

ADX.

.12.

« », .

« », .															
:															
			()				(%)				(*)			1	(%)
SP	89H-95U	1732	69(70%)	354	1171	-1524	68(69%)	308	1343	-1961	55(56%)	229	1793	-1726	49(49%)
	89H-95U	1731	77(68%)	191	632	-753	72(64%)	159	690	-772	65(58%)	191	S99	-767	6 54%
L'SAM	S9H-95U	1724	85(63*)	87	360	-376	80(59%)	94	457	433	76(56%)	52	575	-622	83(61%)
ED	89H-95U	1731	63(61%)	29	91	-68	65(63%)	26	108	-112	60(58%)	35	151	-127	64(62%)
SF	89H-95U	173!	123(58%)	27	342	-403	115(54%)	55	540	-514	104(49%)	2	643	-610	101(47%)
DM	89H-95U	1731	126(56%)	24	287	-313	126(56%)	22	396	-458	125(56%)	-10	427	-562	115(51%)
BP	89H-95U	1731	109(51%)	49	378	-296	114(54%)	32	509	-517	107(50%)	-43	573	-665	116(54%)
JY	89H-95U	1730	104(46%)	-39	321	-341	120(53%)	-37	489	-621	115(50%)	-33	579	-655	115(50%)
GC	89G-95V	1757	126(56%)	15	124	-126	113(50%)	-3	172	-181	120(54%)	2	210	-239	121(54%)
SI	89H-95U	1732	133(62%)	53	215	-214	118(55%)	38	252	-226	118(55%)	43	319	-297	122(57%)
HG	89H-95U	1732	123(52%)	23	213	-184	115(49%)	1	273	-257	122(52%)	-5	284	-315	126(53%)
a	S9G-95V	1775	117(59%)	66	250	-205	120(61%)	49	277	-306	122(62%)	82	346	-349	117(59%)
HO	89G-95V	1771	124(53%)	16	287	-288	132(56%)	-5	301	-401	121(52%)	-32	375	-468	118(50%)
NG	920 - 95V	984	93(54%)	56	308	-243	81(47%)	-16	356	-352	88(51%)	52	503	-426	87(51%)
	89H-95U	1725	131(56%)	114	610	-516	127(54%)	86	651	-584	132(56%)	-14	659	-885	118(50%)
CC	89H-951'	1726	136(53%)	21	138	-109	126(49%)	4	161	-146	154(60%)	38	212	-220	138(53%)
SB	89 H - 95V	1734	142(63 56)	41	161	-160	130(57%)	33	191	-179	131(58%)	37	233	-2	143(63%)
	89F-95U	1753	114(57%)	48	207	-165	108(54%)	51	278	-219	113(57%)	70	364	-315	105(53%)
w	89 H - 95 U	1737	84(57%)	28	133	-112	85(58%)	36	161	-134	86(59%)	25	202	-226	81(55%)
	89H-95U	1737	94(56%)	15	83	-72	98(58%)	28	107	-82	106(63%)	4!	134	-118	103(61%)
S	89F-95U	1772	95(58%)	62	227	-161	92(56%)	49	284	-247	88(53%)	38	337	-44	90(55%)
CT	84 H - 95V	1749	127(56%)	80	325	-238	132(59%)	87	402	-360	142(63%)	124	495	-511	132(59%)
IC	S9G-95V	177>	69(52%)	14	145	-129	68(52%)	15	165	-143	76(58%)	^7	242	-195	75(57%)
PB	89G-96G	1ST;	97(56%)	40	255	-239	99(58%)	46	27S	-269	93(54%)	63	416	-353	94(55%)
LH	89G-95V	17SO	89(58%)	34	145	-118	8807%)	29	16	-156	97(63-?)	63	vii	-224	56%1

.13.

« », .

« »															
:															
			(%)				(%)				(%)			(%)	
SP	89H-95U	1732	85(52%)	51	922	-911	86(53%)	119	1083	-972	78(48%)	-2	1598	-148S	70(43%)
YX	89H-95U	1731	66(53%)	47	440	-400	72(58%)	138	549	-430	62(50%)	50	777	-676	55(44%)
USAM	S9H-95U	1724	99(51%)	-45	328	-430	100(51%)	-30	413	-497	91(47%)	-53	567	-596	94(48%)
ED	89H-95U	1731	60(50%)	0	71	-72	59(49%)	-15	90	-137	54(45%)	-25	133	-154	58(48%)
SF	89H-95U	1731	101(50%)	-42	381	-474	95(48%)	-3	535	-491	84(42%)	-109	718	-708	88(44%)
D.M	89H-95U	1731	104(49%)	-21	299	-333	106(50%)	-1	393	-399	96(45%)	-98	472	-575	99(47%)
	89H-95U	1731	100(50%)	-10	367	-379	98(49%)	40	589	-477	93(46%)	-73	661	-699	96(48%)
JY	89H-95U	1730	91(47%)	-2	342	-305	111(57%)	109	556	-490	108(56%)	99	627	-564	103(53%)
GC	89G-95V	1757	103(58%)	5	122	-157	100(56%)	45	213	-173	89(50%)	8	228	214	103(58%)
SI	89H-95U	1732	66(62%)	58	195	-169	73(69%)	98	239	-215	61(58%)	61	277	-231	58(55%)
	89H-95U	1732	99(68%)	69	181	-171	90(62%)	101	319	-255	85(59%)	21	360	461	72(50%)
CL	89G-95V	1775	115(62%)	68	2	-170	118(64%)	54	264	-314	95(51%)	-3	344	-368	88(48%)
	S9G-95V	1771	86(61%)	92	263	-180	90(64%)	82	326	-357	87(62%)	108	452	-458	79(56%)
NG	92G-95V	984	45(60%)	147	383	-207	46(61%)	201	495	-265	44(59%)	147	585	-475	44(59%)
	89H-95U	1725	96(68%)	249	579	-456	96(68%)	296	798	-776	86(61%)	195	963	-1008	88(62%)
	89H-95U	1726	78(67%)	54	145	-128	73(62%)	68	188	-130	79(68%)	80	219	-207	72(62%)
SB	89H-95V	1784	59(56%)	39	154	-104	65(61%)	55	192	-163	68(64%)	60	243	-267	57(54%)
JO	89F-95U	1753	81(49%)	-10	188	-203	94(57%)	15	230	-274	84(51%)	-2	283	-301	86(52%)
W	89H-95U	1737	72(53%)	1	120	-136	73(54%)	14	149	-145	72(53%)	11	189	-192	76(56%)
	89H-95U	1737	77(56%)	11	76	-70	82(59%)	27	108	-90	78(57%)	18	131	-129	78(57%)
S	89F-95U	1772	68(61%)	60	203	-161	65(58%)	82	275	-184	64(57%)	81	349	-278	59(53%)
	89H-95V	1749	95(57%)	43	308	-302	99(59%)	88	403	-363	90(54%)	86	579	-483	95(57%)
LC	89G-95V	1775	76(57%)	36	148	-112	70(52%)	22	150	-119	72(54%)	28	215	-190	68(51%)
	S9G-96G	1875	92(56%)	20	286	-315	98(59%)	19	320	-422	95(58%)	49	430	-467	100(61%)
LI1	89G-95V	1780	73(55%)	22	138	-122	77(58%)	37	165	-144	81(61%)	67	229	-191	82(62%)

.14. « » (ADX), .

• LBR INC	TRADING	« » (ADX),
:	;	: ADX(12)>30 ADX(28)

			%				()				%				»	
SP	89H-95U	1732	9(69%)	237	803	-1038	8(62%)	525	1534	-1090	7(54%)	310	1829	1463	6(46%)	4
YX	89H-95U	1731	12(60%)	-18	412	-663	11(55%)	19	539	-617	11(55%)	214		-617	11(55%)	4
USAM	89H-95U	1724	23(59%)	104	408	-332	24(62%)	137	488	-425	22(56%)	129	635	-526	21(54%)	1
ED	89H-95U	1731	19(51%)	29	101	-47	24(65%)	42	117	-95	24(65%)	70	145	-68	29(78%)	1
SF	89H-95U	1731	25(62%)	9	335	-534	23(57%)	68	603	-657	16(40%)	-142	773	-752	20(50%)	-
DM	S9H-95U	1731	25(52%)	-55	262	-399	25(52%)	-50	445	-588	24(50%)	-346	401	-692	20(42%)	-
	89H-95U	1731	20(53%)	71	404	-299	23(61%)	103	534	-555	20(53%)	13	701	-752	21(55%)	2
JY	89H-95U	1730	17(42%)	-163	427	-600	17(42%)	-224	673	487	16(40%)	-297	737	-986	16(40%)	-
GC	89G-95V	1757	21(64%)	10	117	-178	17(52%)	0	222	-236	18(55%)	-25	306	-423	18(55%)	2
SI	89H-95U	1732	17(63%)	73	241	-213	16(59%)	87	323	-257	14(52%)	-37	340	-443	16(59%)	4
	89H-95U	1732	24(57%)	39	23	-226	19(45%)	19	379	-278	25(60%)	-10	272	-426	26(62%)	1
CL	89G-95V	1775	30(67%)	116	327	-306	30(67%)	107	324	-326	33(73%)	258	441	-248	28(62%)	3
	89G-95V	1771	29(66%)	120	359	-343	29(66%)	23	353	-613	25(57%)	0	467	-615	25(57%)	1
NG	92G-95V	984	26(70%)	218	409	-234	25(68%)	198	485	-400	25(68%)	302	645	-413	24(65%)	3
	89H-95U	1725	21(55%)	-53	810	-1119	18(47%)	-102	971	-1068	18(47%)	-482	930	-1752	16(42%)	-
	89H-95U	1726	16(55%)	60	219	-135	16(55%)	53	220	-152	17(59%)	84	301	-222	16(55%)	4
SB	89H-95V	1784	31(62%)	63	193	-147	31(62%)	56	205	-186	27(54%)	61	281	-198	26(52%)	3
JO	89F-95U	1753	19(63%)	138	353	-234	20(67%)	171	418	-322	20(67%)	273	601	-382	21(70%)	3
W	89H-95U	1737	15(75%)	102	165	-85	15(75%)	122	199	-	11(55%)	39	288	-265	11(55%)	5
"	89H-95U	1737	15(62%)	55	116	-46	16(67%)	93	173	-67	20(83%)	138	190	-122	19(79%)	1
S	89F-95U	1772	7(70%)	152	252	-79	7(70%)	-64	291	-892	6(60%)	-251	238	-984	4(40%)	-
a	S9H-95V	1749	29(63%)	194	439	-224	29(63%)	207	556	-388	32(70%)	224	625	-690	31(67%)	2
LC	89G-95V	1775	18(55%)	31	140	-99	20(61%)	34	155	-153	23(70%)	117	252	-194	22(67%)	1
PB	89G-96G	1875	14(50%)	51	366	-265	15(54%)	31	367	-356	21(75%)	180	442	-607	18(64%)	6
LH	S9G-95V	1780	15(47%)	20	232	-167	19(59%)	9	215	-293	20(62%)	39	261	-332	19(59%)	9

.14. « » (ADX),

« » (ADX),																
: ; : ADX(12)>30 ADX(28)																
			»				%				%					
SP	89H-95U	1732		292		-895	8(50%)	408	1431	-616	9(56%)	378	1825	-1482	8(50%)	1

YX	89H-95U	1731	7(70%)	170	282	-92	5(50%)	280	675	-115	6(60%)	312	954	-650	5(50%)	1
USAM	89H-95U	1724	9(47%)	-89	295	-434	10(53%)	-20	397	-483	10(53%)	-12	394	-462	10(53%)	3
ED	89H-95U	1731	8(53%)	18	103	-8(1	9(60%)	18	96	-100	6(40%)	11	192	-110	9(60%)	-
SF	89H-95U	1731	11(48%)	-100	376	-536	14(61%)	-41	423	-764	13(57%)	-145	533	-1026	12(52%)	5
DM	89H-95U	1731	14(47%)	23	363	-275	19(63%)	190	578	-480	20(67%)	158	490	-506	19(63%)	5
	89H-95U	1731	18(58%)	121	539	-457	19(61%)	392	937	-472	18(58%)	176	874	-790	20(65%)	4
JY	89H-95U	1730	13(3836)	-104	375	-400	21(62%)	231	674	-486	20(59%)	173	702	-583	20(59%)	4
GC	89G-95V	1757	19(61%)	22	124	440	15(48%)	12	151	-119	12(39%)	-68	239	-262	14(45%)	-
SI	89H-95U	1732	10(77%)	107	194	-183	11(85%)	139	209	-243	8(62%)	132	291	-123	9(69%)	2
HG	89H-95U	1732	10(59%)	65	196	-121	12(71%)	108	223	-167	12(71%)	111	285	-308	11(65%)	8
CL	S9G-95V	1775	22(76%)	120	1S2	-76	20(69%)	127	256	-160	16(55%)	51	327	-285	18(62%)	1
	89G-95V	1771	6(60%)	86	239	-145	7(70%)	89	256	-298	8(80%)	98	227	-418	8(80%)	1
NG	92G-95V	984	8(73%)	177	353	-290	9(82%)	257	444	-585	7(64%)	103	576	-725	7(64%)	1
	89H-95U	1725	17(65%)	102	425	-509	14(54%)	213	745	-408	12(46%)	58	799	-578	14(54%)	4
	S9H-95U	1726	16(64%)	19	11)3	-130	15(60%)	29	153	-157	18(72%)	50	165	-244	15(60%)	8
SB	89H-95V	1784	9(50%)	-17	141	-175	10(56%)	-7	146	-197	11(61%)	-30	168	-341	10(56%)	-
JO	S9F-95U	1753	12(41%)	-98	173	-290	14(48%)	-73	266	-390	10(34%)	-103	248	-	16(55%)	-
W	89H-95U	1737	13(54%)	4	100	-	13(54%)	20	128	-107	13(54%)	-30	147	-240	15(62%)	-
	89H-95U	1737	9(36%)	-24	S2	-83	13(52%)	.7	103	-115	12(48%)	-17	131	-154	15(60%)	1
S	89F-95U	1772	10(53%)	62	270	-169	11(58%)	28	217	-231	11(58%)	-3	234	-328	6132%)	-
	S9H-95V	1749	9(56%)	109	349	-200	13(81%)	288	422	-288	12(75%)	429	750	-536	10(62%)	3
IX	89G-95V	1775	7(64%)	59	149	-98	6(55%)	70	207	-95	3(27%)	-30	541	-245	3(27%)	-
	S9G-96G	1875	15(60%)	35	276	-328	14(56%)	22	331	-371	14(56%)	32	307	-464	13(52%)	-
LH	89G-95V	17)	13(54%)	12	96	-87	13(54%)	37	158	-107	17(71%)	86	192	-171	13(54%)	2

.15. « » (ADX),

« » (ADX),																
; ; : ADX(12)>30 ADX(28)																
			(%>				(%)				(%)	pej-				r
SP	89H-95U	1732	11(69%)	292	832	-S95	8(50%)	408	143!	-616	9(56%)	378	1825	-1482	8(50%)	1
YX	S9H-95U	1731	7(70%)	170	282	-92	5(50%)	280	675	-115	6(60%)	312	954	-650	5(50%)	1
L/SAM	89H-95U	1724	9(47%)	-89	295	-434	10(53%)	-20	397	-483	10(53%)	-12	394	-462	10(53%)	3
ED	89H-95U	1731	8(5396)	18	103	-80	9(60%)	18	96	-100	6(40%)	11	192	-	9(60%)	-
SF	89H-95U	1731	11(48%)	-100	376	-536	14(61%)	-41	423	-76-}	13(57%)	-145	533	-1026	12(52%)	5

DM	89H-95U	1731	14(47%)	23	363	-275	19(63%)	190	578	-480	20(67%)	158	490	-506	19(63%)	5
BP	B9EI-95U	1731	18(58%)	121	539	-457	19(61%)	392	937	-472	18(58%)	176	874	-790	20(65%)	4
JY	89H-95U	1730	13(38%)	-104	375	-400	21(62%)	231	674	-486	20(59%)	173	702	-583	20(59%)	4
GC	89G-95V	175?	19(61%)	22	124	-140	15(48%)	12	151	-119	12(39%)	-68	239	-262	14(45%)	-
SI	89H-95U	1732	10(77%)	107	194	-183	11(85%)	139	209	-243	8(62%)	132	291	-123	9(69%)	2
HG	89H-95U	1732	10(59%)	65	196	-121	12(71%)	108	223	-167	12(71%)	111	285	-308	11(65%)	8
CL	89G-95V	1775	22(76%)	120	182	-76	20(69%)	127	256	-160	16(55%)	53	327	-285	18(62%)	1
HO	89G-95V	1771	6(60%)	86	239	-145	7(70%)	89	256	-298	8(80%)	98	227	-418	8(80%)	1
NG	92G-95V	984	8(73%)	177	353	-290	9(82%)	257	444	-585	7(64%)	103	576	-725	7(64%)	1
	S9H-95U	1725	17(65%)	102	425	-509	14(54%)	213	745	-408	12(46%)	58	799	-578	14(54%)	4
CC	S9H-95U	1726	16(64%)	19	103	-130	15(60%)	29	153	-157	18(72%)	50	165	-244	15(60%)	8
SB	89H-95V	1784	9(50%)	-17	141	-175	10(56%)	-7	146	-197	11(61%)	-30	168	-341	10(56%)	-
JO	89F-95U	1753	12(41%)	-98	173	-290	14(48%)	-73	266	-390	10(34%)	-103	248	-288	16(55%)	-
w	89H-95U	1737	13(54%)	4	100	-	13(54%)	20	128	-107	13(54%)	-30	147	-240	15(62%)	-
.	89H-95U	1737	9(36%)	-24	82	-83	13(52%)	-2	103	-115	12(48%)	-17	131	-154	15(60%)	1
S	89F-95U	1772	10(53%)	62	270	-169	11(58%)	28	217	-231	11(58%)	-3	234	-328	6(32%)	-
CT	89H-95V	1749	9(56%)	109	349	-200	13(81%)	288	422	-288	12(75%)	429	750	-536	10(62%)	3
LC	89G-95V	1775	7(64%)	59	149	-98	6(55%)	70	207	-95	3(27%)	-30	541	-245	3(27%)	-
PB	89G-96G	1775	15(60%)	35	276	-328	14(56%)	22	331	-371	14(56%)	-32	307	-464	13(52%)	-
LH	R9G-95V	1780	13(54%)	12	96	-87	13(54%)	37	158	-107	17(71%)	86	192	-171	13(54%)	2

ADX

() , (),
 , ADX , 30

ADX

ADX.

Fresh ADX,																
							2-				3-				4	
			(%)				(%)				(%)			(%)		
SP	86H-95U	2500	30(49%)	110	1223	-968	31(51%)	48	1588	-1542	34(56%)	119	1501	-1620	37(61%)	3
YX	86H-95U	2499	28(55%)	52	563	-570	28(55%)	-10	763	-951	28(55%)	39	916	-1029	28(55%)	1
USAM	86H-95U	2498	52(50%)	-31	357	-426	60(58%)	95	627	-648	68(66%)	262	831	-845	67(65%)	3
ED	86H-95U	2503	48(74%)	45	108	-132	45(69%)	67	174	-174	44(68%)	102	250	-210	47(72%)	1
SF	86H-95U	2503	32(53%)	23	564	-596	29(48%)	121	951	-656	30(50%)	111	1075	-852	36(60%)	2
DM	86H-95U	2503	43(64%)	51	345	-477	39(58%)	152	584	-450	41(61%)	182	650	-556	35(52%)	1
	86H-95U	2503	28(56%)	126	629	-515	31(62%)	246	830	-706	29(58%)	250	934	-695	29(58%)	2
JY	86H-95U	2502	30(50%)	-146	461	-754	33(55%)	-19	675	-866	36(60%)	256	975	-823	41(68%)	6
GC	86G-95V	2528	28(60%)	40	329	-386	27(57%)	47	539	-617	24(51%)	96	793	-631	25(53%)	1
51	86H-95U	2501	18(50%)	-151	301	-603	16(44%)	-288	352	-800	16(44%)	-381	456	-1051	13(36%)	-
HG	86H-95U	2501	26(60%)	163	503	-357	28(65%)	273	686	-498	25(58%)	371	1012	-519	24(56%)	4
CL	86G-95V	2562	22(47%)	-121	251	-449	28(60%)	19	320	-425	24(51%)	-17	473	-528	31(66%)	1
	86G-9W	2554	17(71%)	-41	381	-1067	17(71%)	202	721	-1058	18(75%)	182	59	-1849	17(71%)	3
NG	92G-95V	984	12(63%)	118	461	-470	13(68%)	267	614	-485	13(68%)	339	847	-760	13(68%)	4
	86H-95U	2493	21(50%)	296	1724	-1132	19(45%)	387	2623	-1460	23(55%)	556	3249	-2703	22(52%)	7
	86H-95U	2490	17(46%)	-11	252	-234	19(51%)	-59	233	-367	17(46%)	2	415	-348	18(49%)	-
SB	86H-95V	2548	37(60%)	39	226	-237	39(63%)	76	344	-379	38(61%)	111	482	-478	38(61%)	8
JO	86F-95U	2525	41(65%)	191	412	-220	46(73%)	341	599	-357	43(68%)	358	692	-360	44(70%)	4
w	86H-95U	2509	34(55%)	43	236	-192	34(55%)	84	340	-225	28(45%)	-1	382	-316	33(53%)	4
~	86H-95U	2509	22(54%)	9	118	-116	20(49%)	-9	182	-191	23(56%)	-17	210	-308	25(61%)	2
S	86F-95U	2552	20(67%)	98	464	-634	16(53%)	94	704	-603	12(40%)	-77	1030	-815	12(40%)	-
	86H-95V	2519	27(51%)	60	355	-278	34(64%)	221	623	-498	32(60%)	278	852	-597	36(68%)	3
LC	86G-95V	2549	31(54%)	46	189	-126	35(61%)	71	247	-209	33(58%)	45	237	-219	29(51%)	6
	86G-96G	2637	22(49%)	44	561	-450	28(62%)	71	551	-719	26(58%)	89	695	-740	23(51%)	-
LH	86G-95V	2557	30(51%)	33	250	-192	31(53%)	67	347	-244	33(56%)	90	387	-288	32(54%)	4


. 17. Fresh ADX,

Fresh ADX,				
		2-		3-

			(%)				(%)				(%)			(%)	
SP	-	2500	15(44%)	-51	2277	-1889	17(50%)	10	2950	-2931	14(41%)	-18	1748	-2654	10(29%)
YX	86H-95U	2499	24(48%)	6	817	-742	21(42%)	-150	1162	-1 246	16(32%)	-205	1995	-1240	14(28%)
USAM	S6H-95U	2498	17(49%)	39	654	-542	17(49%)	113	857	-589	19(54%)	264	1036	-652	19(54%)
ED	86H-95U	2503	24(55%)	-85	125	-337	22(50%)	-94	193	-382	24(55%)	-78	243	-463	21(48%)
SF	86H-95U	2503	17(47%)	-82	363	-480	20(56%)	108	688	-616	18(50%)	276	1020	-467	23(64%)
DM	S6H-95U	2503	15(43%)	-51	327	-334	18(51%)	73	699	-590	19(54%)	209	843	-545	18(51%)
	86H-95U	2503	14(56%)	-37	684	-955	16(64%)	288	1121	-1194	14(56%)	284	1461	-1215	13(52%)
JY	86H-95U	2502	10(37%)	-162	436	-515	11(41%)	-173	530	-656	10(37%)	-115	856	-687	10(37%)
GC	86G-95V	2528	30(50%)	-14	206	-234	23(38%)	2	500	-307	20(33%)	-34	536	-318	24(40%)
S1	86H-95U	2501	16(39%)	-112	154	-252	16(39%)	-175	226	-432	15(37%)	-230	250	-507	15(37%)
HG	86H-95U	2501	29(60%)	25	183	-216	29(60%)	43	259	-288	24(50%)	45	418	-328	28(58%)
CL	86G-95V	2562	15(37%)	-74	335	-310	20(49%)	-124	353	-579	19(46%)	-54	386	-489	19(46%)
	86G-95V	2554	18(49%)	-68	356	-470	19(51%)	-51	481	-613	18(49%)	24	648	-567	23(62%)
NG	92G-95V	984	12(86%)	116	252	-700	9(64%)	222	571	-406	9(64%)	232	820	-826	9(64%)
	86H-95U	2493	39(51%)	-64	486	-643	37(49%)	-14	83^	-821	31(41%)	109	1623	-935	39(51%)
	86H-95U	2490	23(41%)	18	246	-140	29(52%)	52	270	-183	33(59%)	75	292	-238	31(55%)
SB	86H-95V	2548	32(52%)	15	180	-166	27(44%)	-15	238	-215	33(54%)	23	289	-292	32(52%)
JO	B6F-95U	2525	27(47%)	-24	230	-253	28(49%)	-9	168	-373	27(47%)	-54	454	-511	24(42%)
w	86H-95U	2509	22(49%)	-18	138	-167	23(51%)	-5	167	-185	21(47%)	-15	201	-204	20(44%)
	86H-95U	2509	28(51%)	-1	97	-103	32(58%)	19	152	-165	30(55%)	15	189	-194	29(53%)
S	86F-95U	2552	15(39%)	-69	223	-260	14(37%)	-198	224	-445	11(29%)	-264	170	-442	9(24%)
	S6H-95V	2519	24(56%)	36	369	-384	21(49%)	-16	659	-661	18(42%)	-22	963	-732	17(40%)
LC	86G-95V	2549	15(48%)	22	274	-214	14(45%)	-18	349	-320	11(35%)	-145	422	-456	11(35%)
	86G-96G	2637	31(55%)	50	279	-24	31(55%)	7	371	-444	30(54%)	14	480	-524	36(64%)
LH	S6G-95V	2557	15(41%)	-21	195	-169	19(51%)	-35	9	-26!	15(41%)	-104	245	-342	16(43%)


50 , (,) ,
 (,) ,
 « ».

ПРИМЕР А.18. Исторический отчет по неудавшимся разрывам, покупка на 50%.

			Исторический отчет «Упс», продажа			
Вход на закрытии						
Данные фьючерсов			Выход на следующем открытии			
Фьючерс	Контракты	Всего дней	Выгр. (%)	Ср. рез-т	Ср. прибыль	Ср. убыток
SP	86H-95U	2500	70(62%)	96	370	-349
YX	86H-95U	2499	69(54%)	12	234	-235
USAM	86H-95U	2458	109(64%)	69	262	-275
ED	86H-95U	2503	99(64%)	37	94	-65
SF	86H-95U	2503	125(54%)	71	367	-271
DM	86H-95U	2503	126(53%)	32	250	-231
BP	86H-95U	2503	123(53%)	11	306	-333
JY	86H-95U	2502	130(50%)	-1	347	-355
GC	86G-95V	2528	139(56%)	6	103	-115
SI	86H-95U	2501	110(52%)	-12	91	-126
HG	86H-95U	2501	113(55%)	-4	135	-172
CL	86G-95V	2562	135(63%)	23	137	-172
HO	86G-95V	2560	127(60%)	-3	162	-234
NG	92G-95V	984	53(50%)	-36	168	-184
KC	86H-95U	2493	112(52%)	-8	314	-356
CC	86H-95U	2490	96(44%)	-13	94	-96
SB	86H-95V	2548	90(43%)	-13	90	-92
JO	86F-95L	2525	110(62%)	24	108	-113
W	86H-95U	2509	91(78%)	31	63	43
C	86H-95L	2509	113(72%)	31	62	-47
S	86F-95U	2552	102(60%)	5	109	-149
CT	86H-95V	2519	125(62%)	30	157	-174
LC	86G-95V	2549	60(46%)	-2	77	-65
PB	86G-96G	2644	73(55%)	7	121	-122
LH	86G-95V	2557	87(55%)	4	64	-68

2-

ПРИМЕР А.19. Исторический отчет по разрывам, продажа на 50%.

			Исторический отчет по разрывам	
Вход на закрытии				
Данные фьючерсов			Выход на с.	
Фьючерс	Контракты	Всего дней	Выгр. (%)	С. ре.
SP	86H-95U	2500	72(62%)	8
YX	86H-95U	2499	73(61%)	6
USAM	86H-95U	2498	111(57%)	5
ED	86H-95U	2503	88(53%)	-1
SF	86H-95U	2503	114(54%)	3
DM	86H-95U	2503	110(52%)	3
BP	86H-95U	2503	108(53%)	4
JY	86H-95U	2502	125(53%)	3
GC	86G-95V	2528	126(62%)	3
SI	86H-95U	2501	80(63%)	7
HG	86H-95U	2501	90(54%)	2
CL	86G-95V	2562	139(61%)	2
HO	86G-95V	2560	115(57%)	-1
NG	92G-95V	984	55(67%)	6
KC	86H-95U	2493	98(61%)	5
CC	86H-95U	2490	80(56%)	1
SB	86H-95V	2548	79(63%)	4
JO	86F-95L	2525	89(64%)	4
W	86H-95U	2509	82(72%)	2
C	86H-95U	2509	112(71%)	1
S	86F-95U	2552	83(61%)	4
CT	86H-95V	2519	97(64%)	6
LC	86G-95V	2549	54(45%)	-1
PB	86G-96G	2651	79(57%)	-1
LH	86G-95V	2557	79(63%)	-1

2-

()

2-

.20.

(2-

/

).

				(%)			(%)			(%)	
SP	86H-95U	2500	351	151(43%)	\$256	354	125(35%)	\$-97	705	276(39%)	\$79
YX	86H-95U	2499	348	154(44%)	\$134	351	120(34%)	\$-48	699	274(39%)	\$43
USAM	86H-95U	2495	345	149(43%)	\$125	336	130(39%)	\$-46	681	279(41%)	\$40
ED	86H-95U	2503	304	134(44%)	\$76	303	118(39%)	\$16	607	252(42%)	\$46
SF	86H-95U	2503	351	143(41%)	\$59	352	122(35%)	\$-57	703	265(38%)	\$1
DM	86H-95U	2503	349	140(40%)	\$77	348	116(33%)	\$-33	697	256(37%)	\$22
I3P	86H-95U	2503	330	140(42%)	\$198	331	120(36%)	\$85	661	260(39%)	\$141
JY	86H-95U	2502	338	131(39%)	\$144	339	116(34%)	\$8	677	247(36%)	\$76
GC	86G-95V	2528	349	118(34%)	\$-27	351	141(40%)	\$27	700	259(37%)	\$0
SI	86H-95U	2501	334	102(31%)	\$7	346	132(38%)	\$82	680	234(34%)	\$45
HG	86H-95U	2501	353	156(44%)	\$93	344	123(36%)	\$-19	697	279(40%)	\$38
CL	S6G-95V	2562	387	148(38%)	\$10	375	125(33%)	\$-6	762	273(36%)	\$2
	86G-95V	2560	366	161(44%)	\$90	350	141(40%)	\$65	716	302(42%)	\$78
NO	92G-95V	984	134	63(47%)	\$85	129	52(40%)	\$88	263	115(44%)	\$86
	86H-95U	2493	355	123(35%)	\$-48	349	151(43%)	\$117	704	274(39%)	\$34
	86H-95U	2490	362	114(31%)	\$-43	361	143(40%)	\$37	723	257(36%)	\$-3
SB	86H-95V	2548	340	137(40%)	\$29	340	115(34%)	\$-!	680	252(37%)	\$14
JO	86F-95U	2525	353	136(39%)	\$27	353	124(35%)	\$11	706	260(37%)	\$19
W	S6H-95U	2509	340	139(41%)	\$18	351	129(37%)	\$0	691	268(39%)	\$9
	86H-95U	2509	317	124(39%)	\$29	323	154(48%)	\$57	640	278(43%)	\$43
S	86F-95U	2552	346	124(36%)	\$3	365	141(39%)	\$43	711	265(37%)	\$24
CT	86H-95V	2519	355	151(43%)	\$64	355	115(32%)	\$-74	710	266(37%)	t j>j
LC	86G-95V	2549	330	151(46%)	\$82	323	124(38%)	\$18	653	275(42%)	\$50
PB	86G-96G	2639	341	124(36%)	\$25	348	149(43%)	\$88	689	273(40%)	\$57
LH	86G-95V	2557	363	134(37%)	\$31	374	118(32%)	\$-32	737	252(34%)	! i